

INSTITUTUL POLITEHNIC "IAIAZ VULĂ" TIMIȘOARA

FACULTATEA DE ELECTROTEHNICA

Zag. FLORESCU

CONȚINUTUL TEORETIC SI EXPERIMENTAL LA STUDIUL
INTERIORULUI AL ALUMINIOARES PRIN INDUCȚIE ELECTROMAGNETICĂ
A ZARIIA DE METAL TOPIT

Test de doctorat

BIBLIOTECĂ CENTRALĂ
UNIVERSITATEA "POLITEHNICA"
TIMIȘOARA

Compozitor științific

Prof. univ. dr. ing. N. DRAGOVICI

Prof. univ. dr. docent ing. C. ȘERB

- 1980 -

INSTITUTUL POLITEHNIC TIMIȘOARA	
BIBLIOTECĂ	
N. GRALĂ	
Vol. Nr.	380.334
Dulap	229 U. F

C u p r i n s

Introducere

Cap.1. Unele realizări în domeniul instalațiilor de amestecare prin inducție electromagnetică	8
1.1. Tipuri constructive	9
1.2. Principali parametri constructivi	20
1.3. Sursa de alimentare în joasă frecvență	25
1.4. Instalații auxiliare	29
1.5. Eficiență economică	32
 Cap. 2. Contribuții teoretice cu privire la sistemele de amestecare prin inducție electromagnetică	34
2.1. Considerații generale	34
2.2. Determinarea aproximativă a cimpului electromagnetic în cazul agitatorului inductiv liniar	38
2.3. Distrubuția cimpului electromagnetic în întreier și baia metalică în cazul agitatorului inductiv liniar. .	46
2.4. Determinarea aproximativă a cimpului electromagnetic în cazul agitatorului inductiv cilindric	52
2.5. Distrubuția cimpului electromagnetic în întreier și baia metalică în cazul agitatorului inductiv cilindric..	59
 Cap. 3. Analiza rezultatelor teoretice și elemente de calcul a agitatoarelor inductive	67
3.1. Agitatoare inductive liniare	67
3.2. Agitatoare inductive cilindrice	79
3.3. Elemente de calcul a agitatoarelor inductive	86
 Cap. 4. Realizări și rezultate experimentale	91
4.1. Agitatoare inductive realizate	91
4.2. Migrările băii metalice amestecate prin inducție electromagnetică	96
4.3. Inducția magnetică în întreierul sistemului agitator - baie metalică	96

4.4. Forțele electromagnetice	100
4.5. Probe metalografice	111
Cap.5. Concluzii și contribuții personale	113
Bibliografie	116
Anexe :	
A 1. Organigrama pentru calcularea factorilor m_1 și m_2	
A 2. Organigrama pentru calcularea factorului de forță F_2'' (m_1 , m_2 , h)	
A 3. Tabel cu valorile calculate ale factorilor m_1 și m_2	
A 4. Valorile componentelor funcției Bessel de speță întâi ordinul unu cu argument imaginar	
$J_1 (\beta r e^{j\varphi}) = U_1 + j V_1 .$	

Introducere

In băile metalice ale cuptoarelor cu arc și de inducție se exercită forțe de natură electromagnetică care amestecă metalul topit. Această amestecare nu este însă suficientă pentru obținerea unei bune emogenizări a temperaturii băii sau a compozitiei chimice a metalului. În acest scop, metalurgiștii au elaborat o serie de metode mecanice, care sunt însă complicate construcțiv sau incomode în exploatare. Introducerea în anii 30 a amestecării prin inducție electromagnetică a băilor metalice a însemnat un mare cîștig pentru tehnica metalurgică.

Dr. L. Dreyfus, de la ASEA Suedia, a dovedit că se pot dezvolta forțe electromagnetice suficiente de mari pentru a se obține amestecarea băii de metal topit, cu ajutorul unui cîmp magnetic mobil. De asemenea, s-a arătat că este posibilă generarea cîmpului magnetic mobil utilizând o infășurare amplasată în afara mantalei cuptorului sau a oalei ce conține metalul topit.

De la primele instalații (1934 - 39), procedeul amestecării prin inducție electromagnetică a băilor de metal topit a cunoscut o dezvoltare permanentă în metalurgie, la elaborarea oțelurilor speciale în cuptoarele cu arc (1947), la degazarea sub vid, în oală, a oțelurilor înalt aliate (1965) și la turnarea continuă a oțelului (1969 - 1973). Introducerea în exploatare a acestui procedeu este însotită de ameliorarea calității produselor, de ușurarea condițiilor de lucru și de importante economii de timp și de energie, deosebit de apreciate în actuala conjură energetică.

Amestecarea prin inducție electromagnetică a băilor de metal topit este de actualitate și importantă și pentru industria noastră metalurgică ce cunoaște o dezvoltare impetuosă. Construirea noilor oțelării electrice din ultimii ani de la Galați, Tîrgoviște, Iași, Câlărași, Cluj-Napoca, Satu-Mare precum și a celor ce urmează a fi ridicate în următerii și impune cunoașterea fenomenelor specifice cîmpului electromagnetic în instalările de amestecare prin inducție electromagnetică, cu atât mai mult cu cît unele cuptoare cu arc de 50 t au fost prevăzute cu astfel de instalații importante. De asemenea, avantajele economice nete ce însoresc introducerea acestui procedeu în metalurgie face necesară căutarea de noi aplicații industriale, de perfecționare a celor existente și, în viitor, de producerea în țară a tipurilor de instalații fabricate actualmente în străinătate.

In lucrările menționate în bibliografie sunt prezentate aspecte disparate referitoare la instalațiile de amestecare prin inducție electromagnetică, întrucât acestea sunt, cu o singură excepție /43/, articole de revistă. Lucrările /4, 9, 19, 40, 43, 78/ analizează cimpul electromagnetic creat în aceste instalații; în lucrările /84, 85, 87, 88/ sunt studiate influențele ce le au unii parametrii constructivi (frecvența f , pasul polar δ , intreșterul Δ) asupra forțelor și cuplurilor electromagnetice dezvoltate în baia metalică; lucrările /13-18, 21-25, 72, 73, 77, 82/ prezintă tehnologia și eficiența economică iar lucrările /10, 26, 27, 31, 32, 38, 66, 72, 75/ - construcția și instalațiile auxiliare. Toate acestea se referă la instalațiile de amestecare la cuprindere cu arc sau la degazarea sub vid a otelului. Lucrări recente analizează instalațiile de amestecare utilizate în turnarea continuă a otelului /29, 36, 37, 70/.

Lucrările amintite tratează relativ incomplet problema cimpului electromagnetic al acestor instalații, dezvoltând mai mult cazuri particulare, cu neglijarea unor parametri semnificativi, cum ar fi însăși vîrteea de deplasare a metalului în baie /40, 78/, expunând principii generale și dând numai referiri cantitative /9, 41, 43/.

Avinde în vedere cele de mai sus, lucrarea de față își propune să expună unitară sistemele de amestecare prin inducție electromagnetică a băilor de metal topit, sistematizarea și dezvoltarea unor aspecte teoretice cu privire la pătrunderea cimpului electromagnetic în băile metalice și, pe această bază, a precizării unor elemente de calcul necesare dimensionării optime a instalațiilor, elemente de calcul care să se regăsească în indicațiile generale ale producătorilor de astfel de instalații.

După informațiile autorului este o primă lucrare unitară referitoare la sistemele de amestecare prin inducție electromagnetică a băilor de metal topit apărută în țară, fiind din acest punct de vedere o contribuție personală, originală.

Lucrarea se desfășoară în următoarele capitol:

- Capitolul I "Unele realizări în domeniul instalațiilor de amestecare prin inducție electromagnetică" expune tipurile constructive ale instalațiilor de amestecare, principali parametri construcțivi și funcționali, sursele de alimentare și instalațiile auxiliare și eficiența economică. Conținutul acestui capitol reprezintă o sinteză a lucrărilor menționate în bibliografie.

- Capitolul 2 " Contribuții teoretice cu privire la sistemele de amestecare prin inducție electromagnetică " cuprinde rezolvarea analitică a ecuațiilor cîmpului electromagnetic în băile de metal topit în două ipoteze de calcul și anume una simplificată, cînd nu se ia în considerare reacția curentilor induși în baie asupra cîmpului magnetic inductor și cea de a doua mai generală, cu luarea în considerare a acestei reacții.

Un obiectiv principal al rezolvării ecuațiilor cîmpului electromagnetic I-a constituit stabilirea relațiilor de calcul pentru forțele electromagnetice ce se exercită în baie metalică supusă amestecării.

- Capitolul 3 " Analiza rezultatelor teoretice și elemente de calcul al agitatoarelor inductive " conține o analiză a expresiilor matematice obținute, făcindu-se aprecieri cu privire la influențele diferenților parametri asupra forțelor electromagnetice exercitate în baie metalică, prezintându-se diagrame utile în calcule. Se dă recomandări cu privire la valorile optime ale unor parametri constructivi.

Se dă apoi unele referiri la calculul inductoarelor, pe baza analizei efectuate în prima parte. Se menționează regăsirea unor recomandări existente în literatură, respectiv în prospectele firmelor producătoare, realizându-se astfel o verificare indirectă a corectitudinii tratării teoretice.

- Capitolul 4 " Realizări și rezultate experimentale " cuprinde descrierea dispozitivelor realizate în laborator, instalațiile execute pentru verificarea experimentală a formulelor obținute pe cale teoretică și măsurările efectuate. Sunt prezentate diagramele de variație a forțelor electromagnetice cu diferenții parametri compnenți, constatându-se în mod direct veridicitatea rezultatelor teoretice expuse în capitolul 2.

Sunt expuse și probele metalografice referitoare la structura unui aliaj omogenizat prin amestecare prin inducție electromagnetică.

- Capitolul 5 " Concluzii și contribuții pînă la date " analizează rezultatele teoretice obținute în lucrare în comparație cu cele prezentate în literatura consultată și evidențiază contribuția autorului în domeniul amestecării inductive a băilor de metal topit.

- În anexă sunt date organigramele pentru calcularea unor parametri, un tabel cu valorile calculate ale acestor parametri și valoarea funcției Bessel de argument imaginar.

In încheiere, îmi exprim recunoștința celui ce a fost profesorul universitar emerit dr.ing.șv. Brașovan Mihai, care mi-a acordat sfidura și îndrumarea Domniei Sale în perioada de început a activității de elaborare a lucrării de doctorat și profesorului universitar dr.doc. ing. Sora Constantin care m-a sprijinit și îndrumat cu generozitate în finalizarea acestei lucrări.

**C A P. I. UNLEA REALIZĂRI ÎN DOMENIUL
INSTALAȚIILOR DE AMESTECARE PRIN INDUCTIE
ELECTROMAGNETICĂ.**

Instalațiile de amestecare prin inducție electromagnetică a băilor de metal topit care și-au găsit utilizare la scară industrială sunt destinate pentru :

- topirea otelului în cuptoarele electrice cu arc;
- degazarea sub vid a otelurilor final aliate;
- turnarea continuă a otelului.

Cimpul magnetic mobil este creat în exteriorul băii metalice de un inductor liniar sau cilindric, principalele modalități de aranjare a sistemului inductor - baie metalică fiind prezentate în figura 1.1 pentru cuptoare cu arc și creuzete cilindrice, respectiv în tabelul 1.3 pentru turnarea continuă a otelului.

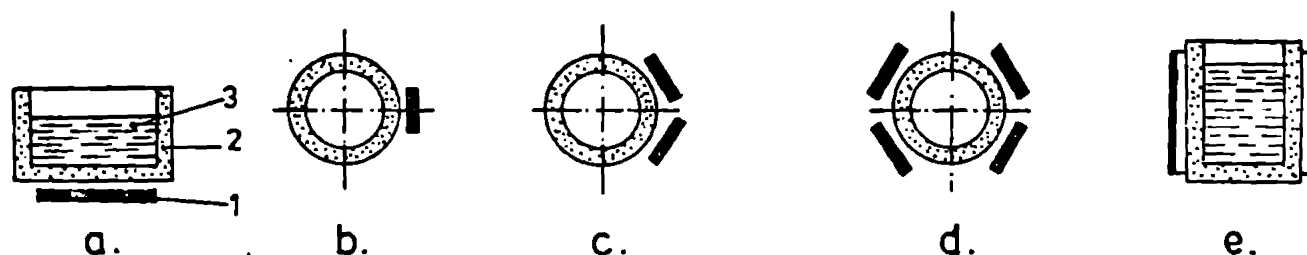


Fig.1.1 Modalități de aranjare a sistemului inductor - baie metalică în instalațiile de amestecare /50/;
a - cuptor cu arc; b... e creuzet cilindric; 1 - inductor;
2 - creuzet; 3 - baie metalică.

Interacțiunea dintre cimpul magnetic mobil creat în exteriorul băii metalice și curenții turbionari induși de către acesta în baia metalică dă naștere unor forțe electromagnetice care pun în mișcare baia de metal topit, în sensul de deplasare al cimpului.

În lucrările /10; 78/ se propune denumirea de "forțe repulsive" acelerării forțe electromagnetice care apar în baia metalică în timpul funcționării cuptorului electric și care sunt dirijate perpendicular pe suprafața băii metalice - suprafață liberă, înspre arcul electric la cuptorul cu arc, respectiv suprafața laterală, înspre inductor, la cuptorul de inducție cu creuzet. Forțele

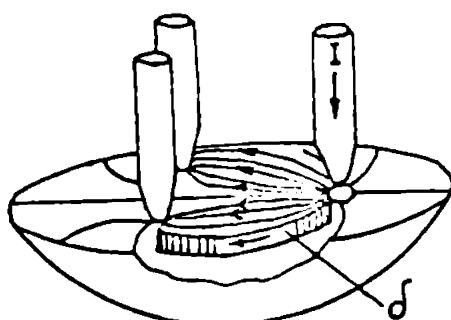
electromagneticice produse în baia metalică prin dispozitive speciale, exterioare cuptorului, dirijate tangențial pe suprafața băii metalice – suprafață de fund, înspre vatra cuptorului, la cuptorul cu arc, respectiv suprafață laterală, înspre inductor, la cuptorul de inducție cu creuzet, sunt denumite "ferfețe metăcate". Aceste dispozitive speciale care realizează amestecarea prin inducție electromagneticică a băii de metal tehit sint denumite în literatură "agitare inductive".

1.1 Tipuri constructive.

a. Agitare inductive pentru cuptoare cu arc

Curentul electric și cimpul magnetic în baia de etal tehit a unui cuptor cu arc sint restrinși, datorită efectului pelicular, într-un strat superficial, determinat de adâncimea de pătrundere δ . La un moment dat, curentul electric străbate baia metalică ca și în figura 1.2.

Fig.1.2 Cireculația curenților electrici în baia metalică a cuptorului electric cu arc /1a/.



Efectele electromagnetice care apar ca urmare a interacțiunii dintre cimpul magnetic al electrezilor și curenții ce parcurg baia metalică pe adâncimea δ se manifestă ca o presiune exercitată pe suprafața băii metalice, dirijată perpendicular spre interior. La cuptoarele cu arc ușoare, valoarea acestei presiuni este extrem de scăzută, de cca 200 N/m^2 /1a/. Valoarea scăzută și direcția de exercitare sint nefavorabile și insuficiente pentru amestecarea în profunzime a băii metalice. În casul unei presiuni exercitate în direcția verticală, ar trebui să fie orientate de jos în sus pentru a

fi favorabile, aducind metalul mai rece de la fundul cuptorului în zona arcului electric. În /10/ se prezintă datele unei încercări experimentale în acest sens.

Cea mai favorabilă deplasare a metalului în baie s-a dovedit să fi în stratul de fund, deoarece lungul cuptorului de la oță de încărcare spre jgheabul de evacuare sănă invers; această mișcare se obține ca urmare a exercitării unei forțe electromagneticice motoare.

În acest scop se amplasează sub fundul cuptorului un agitator inductiv, al cărui principiu de funcționare este asemănător motorului asincron cu rotor masiv. Cimpul magnetic mobil este creat de inductorul alimentat cu curent alternativ bifazat de joasă frecvență $f = 0,3 \dots 0,9$ Hz, conturul inductorului inscriindu-se în profilul mantalei cuptorului - figura 1.3,a. Direcția de deplasare a metalului se poate modifica după dorință, fie de la fereastra

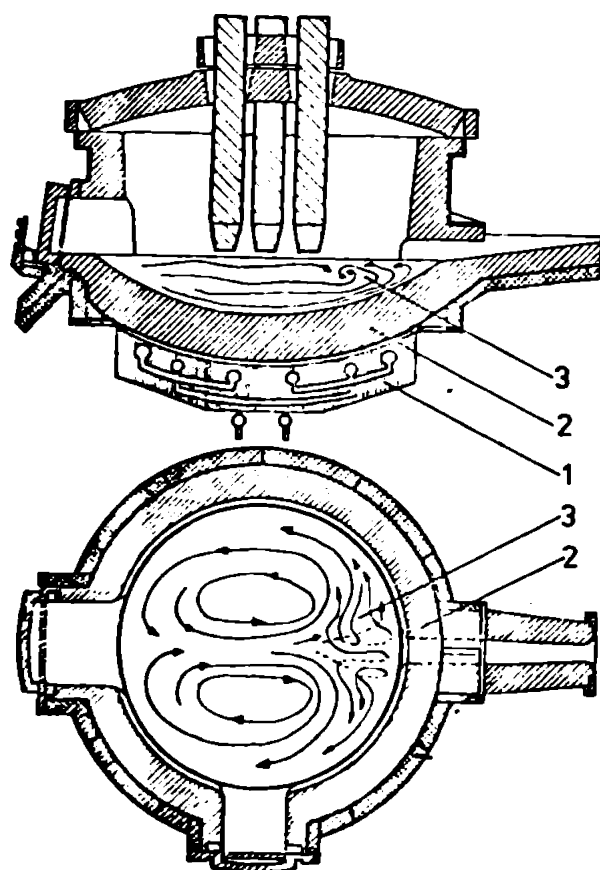


Fig.1.3 Agitatorul inductiv al cuptorului cu arc /91/.

a - amplasarea agitatorului și mișcarea metalului topit în baie; b - mișcarea metalului topit la suprafață și la.
1 - agitator; 2 - căpușa cuptorului;
3 - baie metalică.

de lucru a cuptorului spre interior - pentru introducerea elementelor de aliere (ca în figură), fie înspre această fereastră - pentru colirea zărulei, fie din spate marginii către centrul băii sau invers - pentru realizarea unei amestecări energice /43/.

Agitatoarele inductive sunt astfel construite încât să poată fi montate la cuptoarele existente, în funcțiune, cu respectarea

unei distanțe minime față de fundul cuptorului.

Manta metalică a cuptorului sau cel puțin porțiunea aflată deasupra agitatorului se execută din oțel nemagnetic.

Conturul curbiliniu al miezului magnetic este compus din porțiuni plane, ca în figura 1.4. Încovoierea capetelor agitatorului prezintă avantajul asigurării direcției forței electromagnetice în hale astfel încît să imprime metalul mișcarea de rotație (de joc în casă) în plan vertical; în caz contrar, zgura aflată la suprafața băii nu ar putea fi antrenată și dirijată în direcția dorită.

Îmfășurarea este executată din țeavă profilată de cupru. Capetele de bobină sunt mari și puternic solicitate de forțe electrodinamice (cca. 40 kN, cupă /27/, astfel că trebuie să fie bine fixate. Structura metalică de susținere se realizează din oțel

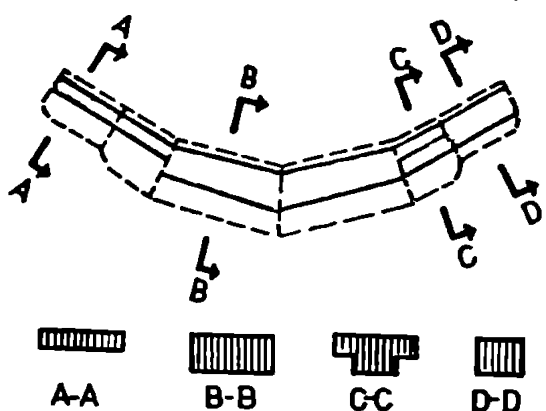


Fig.1.4. Miezul magnetic
al agitatorului inductiv
/43/

nemagnetic. Bobinele îmfășurării sunt fixate într-o masă de răsină termoreactivă, rezistentă la temperaturile ridicate la care ajunge peretele cuvei cuptorului deasupra agitatorului, de $300-400^{\circ}\text{C}$ /24/.

Îmfășurarea se realizează astfel: faza I se secționează în două bobine legate în serie și amplasate la capetele miezului magnetic, iar faza II nesecționată, se amplasează la mijlocul circuitului magnetic, acoperind parțial prin suprapunere bobinile fazei I /43; 78; 91/.

În acest mod sunt posibile patru sensuri de deplasare a cimpului magnetic mobil și, implicit, a băii metalice, în funcție de modul de conectare a îmfășurării - figura 1.5. În /43/ se propune pentru cimpul magnetic obținut în cazurile a și b denumirea de "cimp alergător" în cazul c - "cimp convergent", iar în cazul d - "cimp divergent".

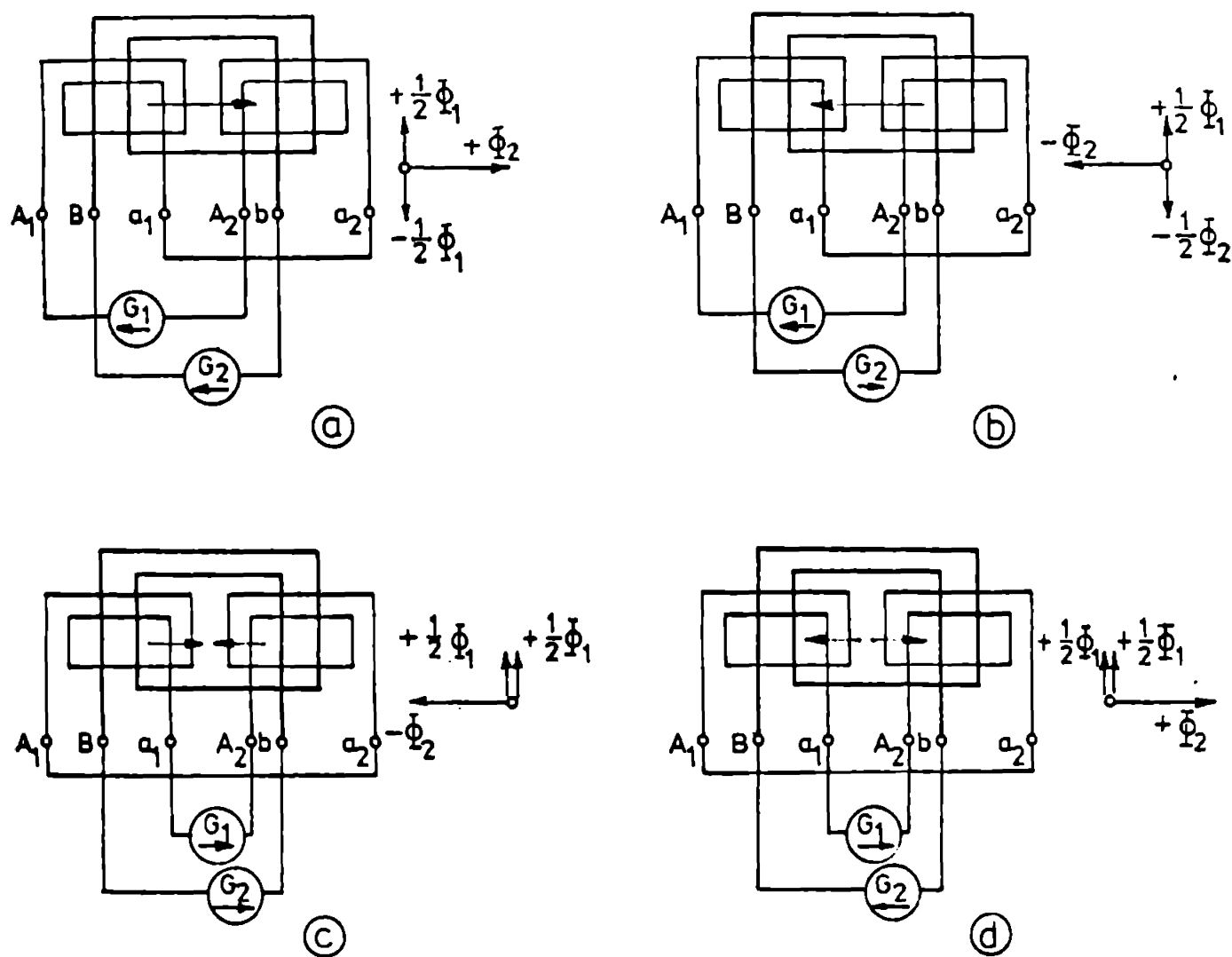


Fig.1.5. posibilități de conectare a fazelor infășurării agitatorului inductiv /43/.

O reprezentare sugestivă a cîmpului magnetic mobil "alerător" se obține din variația amplitudinii intensității cîmpului magnetic la suprafață agitatorului în patru momente succeseive ($A = \omega t_1 = 0$; $B = \omega t_2 = \pi/2$; $C = \omega t_3 = \pi$; $D = \omega t_4 = 3\pi/2$) - figura 1.6.

BUPT

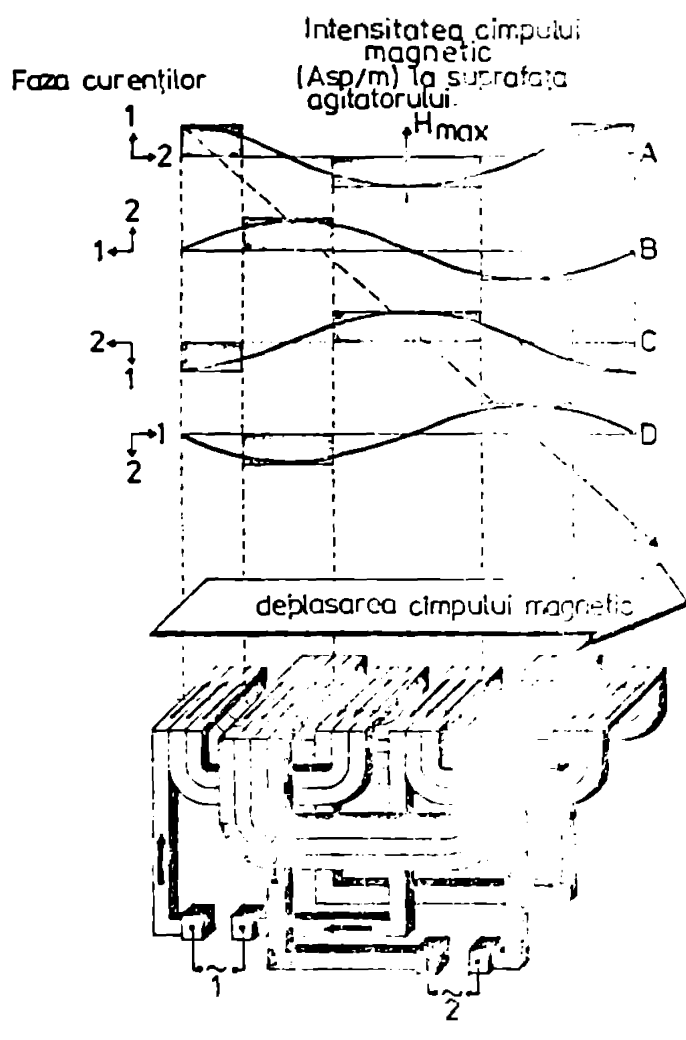


Fig.1.6. Obținerea cimpului magnetic "alergător" la agitatorul inductiv al cuporului cu arc electric /91/.

Principalii parametri electrici ai agitatoarelor inductive fabricate în Suedia - AS&A sunt date în tabelul 1.1., iar pentru agitatoarele inductive fabricate în UESS - în tabelul 1.2.

In figura 1.7 este prezentată construcția unui agitator inductiv. Se observă că suprafața superioară a agitatorului este acoperită de un strat de material ceramic care constituie izolația termică față de cuva cuporului și protejează, de asemenea agitatorul în cazul străpungerii sau scurgerii etanșului lichid.

Tabelul 1.1 /91/

Capacitatea cupor. G, t	15-18	25-30	40-50	55-65	75-85	90-120	150-200
Tipul: OKB	37	43	50	54	58	65	73
Puterea aparentă S, kVA	330	350	335	320	320	385	500
Tensiunea U, V	220	220	220	210	200	240	315
Curentul I, A	750	600	800	800	800	500	300

Tabelul 1.2 /1/

Capacitatea cupor. μ , t	25	50(40)	100(80)	200(160)	300
Tipul	ЧЭП 1-25	ЧЭП 1-400 400-100	ЧЭП 1-400 400-160 -2	ЧЭП 1-600 160-280	ЧЭП 1-50
Puterea aparentă S, kVA	600	468	560	1100	950
Curentul I, A	2600	2000	2100	2400	2200
Frecvența f, Hz	0,9	0,65	0,55	0,3/0,6	0,3



a



b

Fig.1.7 Construcție agitatorului inductiv pentru cupoarele electrice cu arc /27/; a - capetele de bobină; b - vedere exterioară.

In lucrările /30; 59; 62; 63; 64/ sunt prezentate o serie de procedee de lucru noi pentru elaborarea orelor și cupoare electrice cu arc, utilizând ~~metodica~~ pri- inductie electromagnetică a băii de metal topit.

b. Agitatoare inductive pentru creuzete cilindrice

Asupra băilor metalice aflate în cîmpul magnetic al inducătoarelor cilindrice alimentate în currenț alternativ monofazat (cum este cazul cuptoarelor de inducție cu creuzet) se exercită o presiune electromagnetică, orientată de la suprafața laterală a băii spre interiorul acesteia. Datorită neuniformității cîmpului magnetic la capetele inductorului, repartiția presiunilor va fi neuniformă, avind ca rezultat agitația metalului în baie, a cărui mișcare este schitată calitativ în figura 1.8.

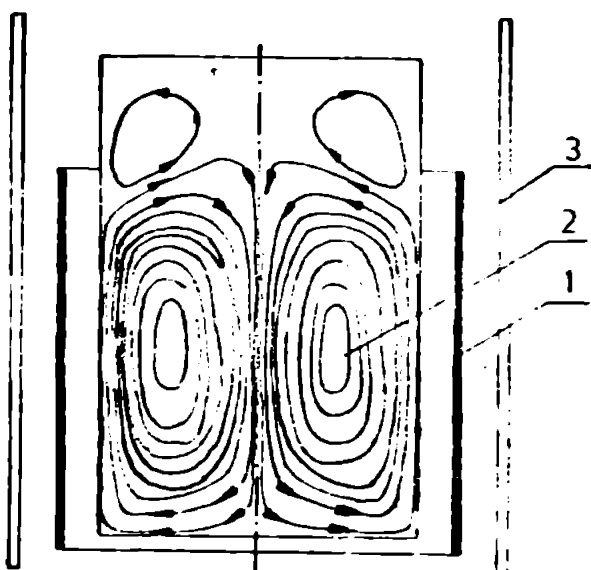


Fig.1.8 Mișcarea metalului topit în baie metalică a cuptorului electric de inducție cu creuzet /8/
1 - inductor; 2 - baie metalică; 3 - ecran magnetic.

Separarea băii metalice în două zone turbionare împiedecă omogenizarea și ajungerea la suprafața băii a întregii cantități de metal, fapt ce constituie un dezavantaj în cazul degazării sub vid.

In practica industrială, amestecarea prin inducție electromagnetică a băilor de metal topit în creuzete cilindrice și-a găsit utilizarea în elaborarea otelurilor finalt aliata și a elementelor de mare poritate (nickel, cobalt) degazate sub vid în oală, cristalizându-se următoarele procedee de lucru /22, 77/:

Procedeul ASB& - SKI. este o metodă de afinare a otelului care a fost mai întîi topit sănătătos într-un alt cuptor; degazarea are loc sub vid iar reîncălzirea otelului se face în aer sau în gaz protector special la presiune atmosferică. În acest timp baia metalică este supusă unei amestecări prin inducție electromagnetică. Toate operațiile se efectuează într-un cuptor tip oală, de construcție specială, care servește ca oală de afinare, de degazare sub vid,

de topire (sau reîncălzire) și de turnare.

Instalația poate fi realizată în două moduri constructive /75/ :

- cu oală și agitator inductiv staționar, capacul cuptorului și mantaua exterioară etansă pentru vidare fiind pivotante - figura 1.9,a;

- cu oală și agitator inductiv plasate pe un cărucior care se deplasează între două stații, de degazare respectiv de încălzire - figura 1.9,b.

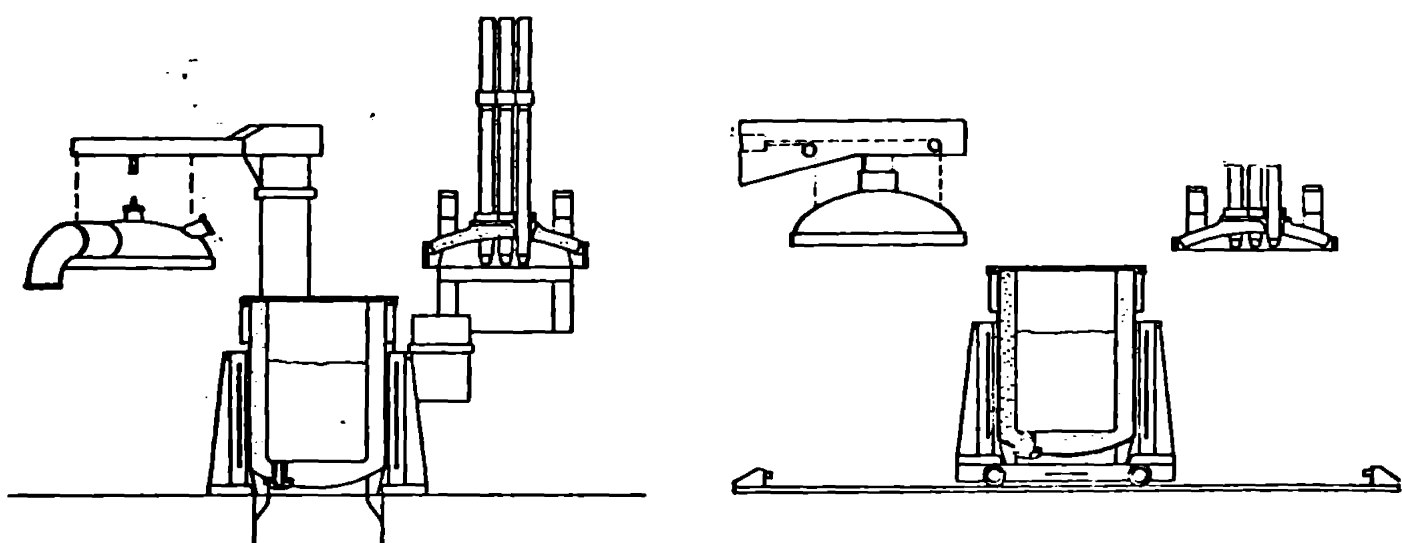


Fig.1.9 Instalație de degazare sub vid prin procedeul ASEB- SMR /75/ a - cu oală și agitator inductiv staționar; b - cu oală și agitator inductiv plasate pe un cărucior; 1- agitator inductiv; 2- oală; 3-capac pentru degazare.

În momentul turnării otelului din cuptorul de topire în oală, pînă la încheierea degazării sub vid se produce o cădere de temperatură de cca $70\text{--}80^{\circ}\text{C}$, fiind necesară reîncălzirea otelului în vederea turnării. Încălzirea suplimentară se face prin arc electric iar amestecarea metalului - cu un agitator inductiv cilindric dispus în jurul oalei. Acesta poate fi plasat în interiorul spațiului vidat sau în atmosferă liberă, caz în care numai oala este vidată.

Configurarea agitatorului inductiv cilindric este divizată în bobine parțiale alimentate cu curent alternativ bi-sau trifazat -figura 1.10.Cimpul magnetic mobil care ia naștere induce în baie curenți turbionari și se obține antrenarea metalului în sensul de deplasare al cimpului inductor, circulație metalului în baie avînd configurație din figura 1.11. Metalul se deplasează în

sus de-a lungul peretelui cilindric și cobează în centrul salei, sub electrozi, astfel încât omogenizarea termică și chimică se efectuează în mod favorabil. De asemenea, acțiunea corozivă a gazei asupra căptușelii salei este minimă.

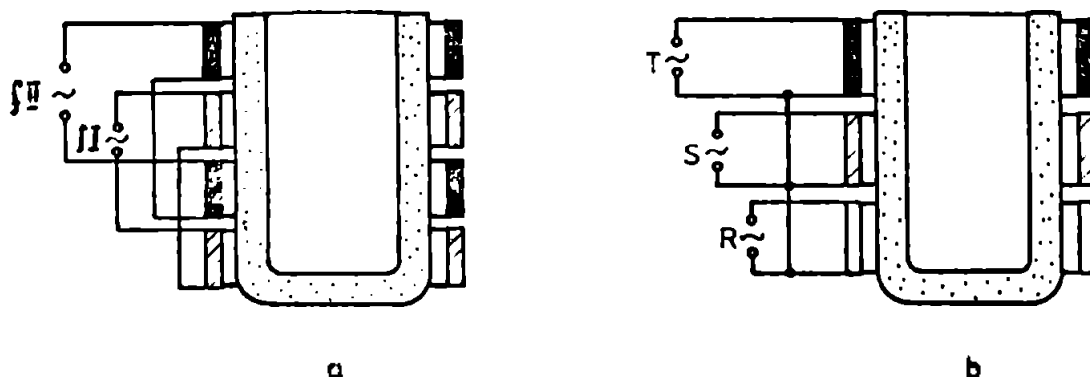


Fig.1.10 Agitator inductiv cilindric /22/; a - cu înfășurare bifazată; b - cu înfășurare trifazată.

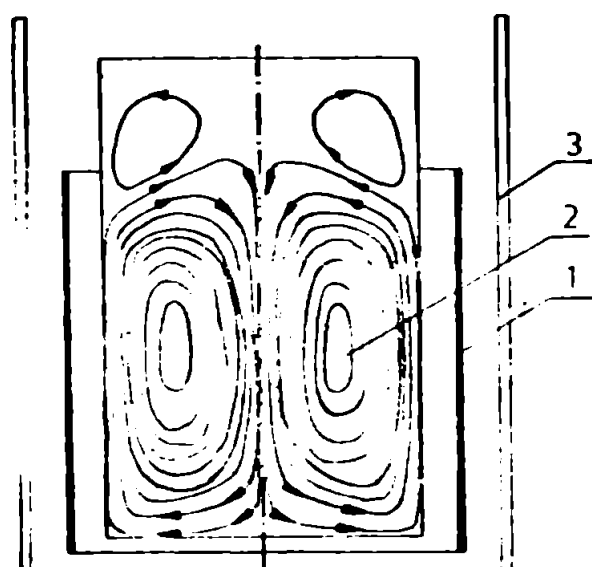


Fig.1.11 Mișcarea metalului topit sub acțiunea agitatorului inductiv cilindric /8/ 1 - inductor; 2 - baia metalică; 3 - ecran magnetic

Frecvență folosită pentru alimentare este joasă, de 1...2 Hz. Randamentul electric este mai mare de 80%.

Parametrii electrici ai unei instalații de degazare sub vid la o caldă de 30 °C șiț /75/:

- inductorul are patru bobine parțiale;
- puterea aparentă a inductorului $S = 575 \text{ kVA}$;
- tensiunea de alimentare $U = 300 \text{ V}$;
- intensitatea curentului $I = 360 \text{ A}$;
- frecvență $f = 1,75 \text{ Hz}$.

J80.334
299 F

Procedeu ASKA - ULF, în care atât încălzirea suplimentară cât și amestecarea se face prin inducție electromagnetică. Inductorul se găsește în aer, la presiune atmosferică. Bobina inductorului este acționată în bobine parțiale, alimentată de la alternator monofazat. În timpul încăzirii, tensiunile de alimentare sunt în fază, iar în perioada de amestecare sunt defazate între ele, cind naștere unui cimp magnetic mobil. Frevenția aleasă pentru încălzire, de 1,25 ... 6 Hz convine și amestecării, obținându-se o rotație completă a metalului în baie în timp de cca un minut, la o viteză a metalului pe lungă perete de 0,5 m/s. Rendamentul electric este scăzut, de 60%.

Procedeu ASKA - LFR, în care încălzirea suplimentară se efectuează printr-un inductor de tipul celor de la cupoarele de inducție cu canal; se obține o bună amestecare a metalului datorită forțelor electromagnetice din canal; dacă, totuși, amestecarea este insuficientă, se poate intensifica prin insuflarea unui gaz inert sau utilizând un agitator inductiv independent. Rendamentul electric este mai mare de 80%.

Agitatoarele inductive pentru creuzete cilindrice sunt asemănătoare construcțiv celor de la cupoarele de inducție cu creuzet. Sunt alcătuite dintr-o bobină cilindrică din țeavă profilată de cupru sau aluminiu, prevăzută la exterior cu un ecran magnetic din țelă de transformator pentru limitarea fluxului de dispersie. Sprijnul, bobina este protejată contra radiatiei termice de la creuzet printr-un ecran (blindaj) ceramic. Pentru a permite coborârea creuzetului în interiorul inductorului, în ecranul ceramic sunt zidite piezi de ghidare; acestea protejează, de asemenea, inductorul

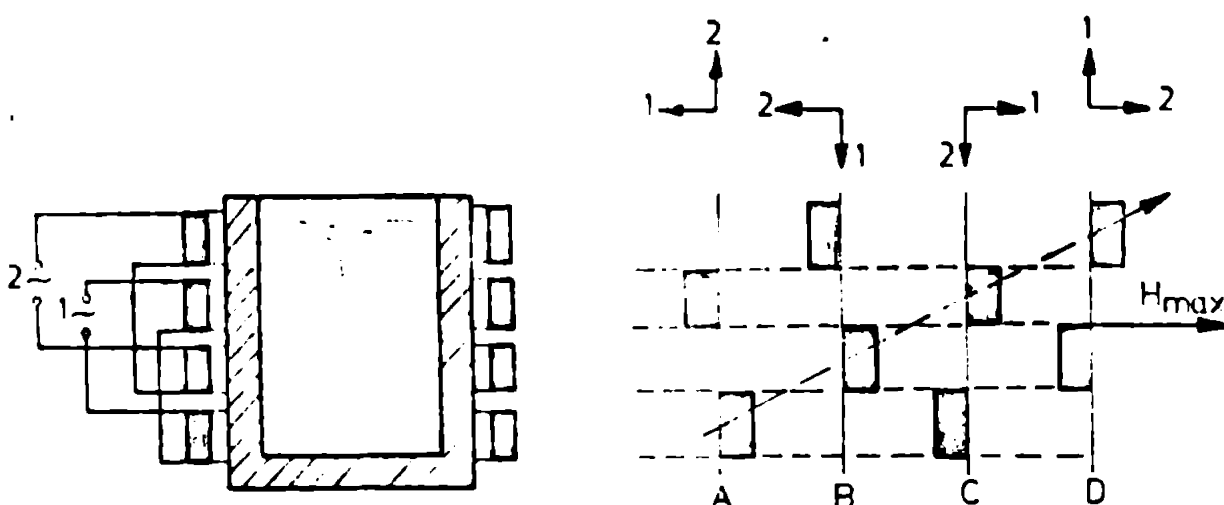


Fig.1.12 Obținerea cimpului magnetic mobil la agitatorul inductiv cilindric /78/.

contra loviturilor mecanice.

Conexiunea bobinelor parțiale ale înfășurării bifazate (fig.1.10,a) este astfel realizată încit să se obțină sensul de deplasare a cîmpului magnetic dorit. Reprezentarea calitativă a variației amplitudinii intensității cîmpului magnetic la suprafața agitatorului inductiv în patru momente successive dă și în acest caz o imagine sugestivă a cîmpului magnetic mobil ce se deplasează în lungul inductorului și implicit, al băii metalice de jos însus - figura 1.14.

În figura 1.15 este prezentată construcția unui agitator inductiv cilindric.

În practică se utilizează și agitatoare inductive liniare pentru creuzete cilindrice, în special în aranjamentul "c" din figura 1.1. Suprafața agitatorului urmărește profilul creuzetului, miezul magnetic avind formă unui V. Nucăr inductor este alimentat din cursă proprie. Datorită refractorului mai subțire al creuzetului, pericolul de străpungere este mai mare. Astfel, agitatorul inductiv liniar este mai avantajos din acest punct de vedere

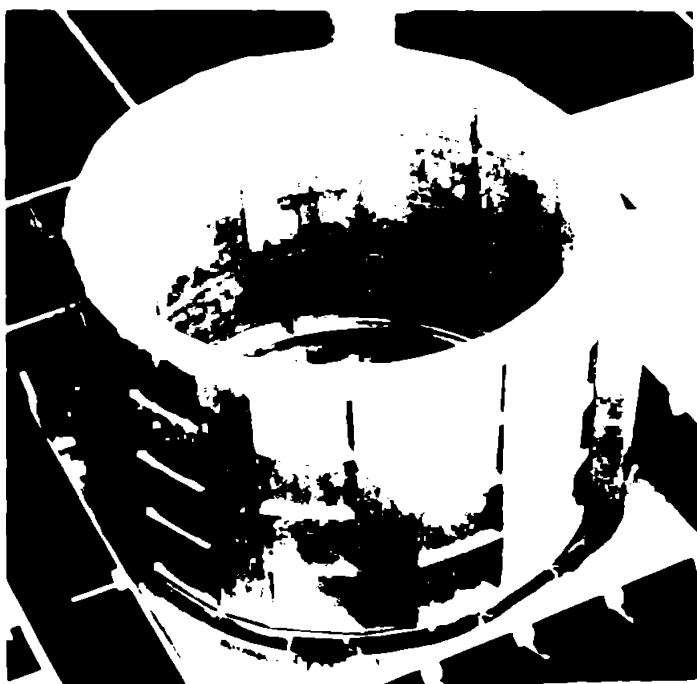


Fig.1.15. Construcția agitatorului inductiv cilindric /27/

decât cel cilindric, întrucât se poate îndepărta ușor și rapid de creuzet în cazul deteriorării căptușelii.

În lucrările /44; 76; 81/ sunt prezentate câteva procedee de lucru originale ce utilizează creșterea prir inductie electro-magnetică bătută din metal copiat în casă creuzetelor cilindrice.

c. Agitatoare inductive utilizate în turnarea continuă a otelului

Instalația de turnare continuă a otelului cu conducere orizontală - figura 1.14 - se compune din oala de turnare, pâlnia intermedieră 1, prevăzută cu un orificiu de turnare, cristalizatorul 2 răcit intens cu apă și care are profilul produsului turnat, rolele 3 de antrenare, ghidare și îndreptare; la capătul instalației se găsește stația de debitare. Agitatorul inductiv 4 este alcătuit dintr-o succesiune de bobine dispuse și alimentate astfel încât să

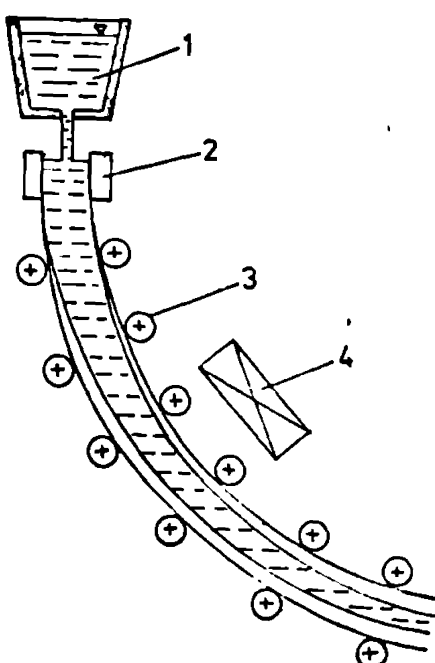


Fig.1.14 Instalația de turnare continuă a otelului cu conducere orizontală /91/

ia naștere un cîmp magnetic ce se deplacează în sens invers curgerii metalului. Rolele ce se găsesc sub agitatorul inductiv vor fi executate din otel nemagnetic.

Diferitele modalități de realizare a agitatorului inductiv, ca și mișcările obținute în metal sunt prezentate în tabelul 1.3.

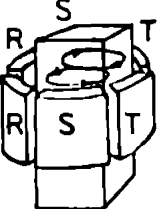
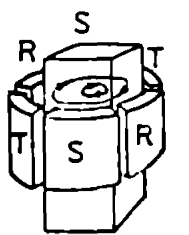
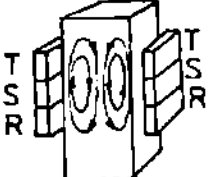
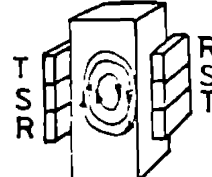
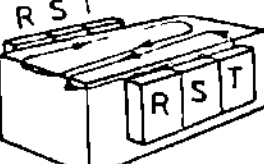
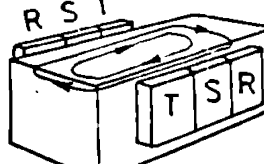
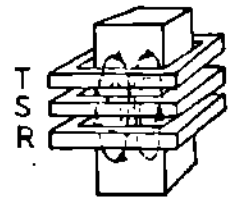
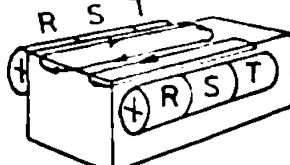
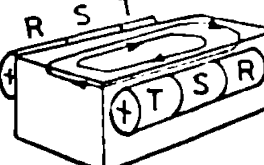
In lucrarea /5/ se propune utilizarea amestecării prin inducție electromagnetică și la turnarea continuă a aluminiului.

1.2. Principaliii parametrii constructivi

Înășurarea agitatorului inductiv se execută bifazat ($n = 2$) și bipolar ($p = 1$), din considerente legate de micșorarea atenuării cîmpului magnetic în întrejur, respectiv a reducerii curentului de

magnetizare. Pentru obținerea cimpului magnetic mobil bifazat,

Tabelul 1.3 /37/

Tipul agitatorului	Mișcarea (utilizare)	Caracterul mișcării (3 faze R-S-T)	
		Conexiune simetrică	Conexiune în opozitie
Circular	Circulară (lingouri, blumuri)		
Liniar	Verticală (blumuri, țagle)		
Liniar	Orizontală (țagle)		
Tubular	Verticală (lingouri, blumuri)		
Tubular	Orizontală (țagle)		

bobinile celor două faze sunt decalcate la perioada iridusului cu $\pi/2$, unde π este pasul polar și sunt limitate cu curenti simetria și difazați între ei cu $\pi/2$. Repartiția inducției magnetice în întreier, la suprafața agitatorului inductiv are cunoscute variații sinusoidale de:

$$B = B_{\max} \sin \left[p\alpha - \left(\omega_1 t + \frac{\pi}{2} \right) \right] = B_{\max} \cos \left(\omega_1 t - \frac{\pi}{4} y \right) \quad (1.1)$$

Frecvența tensiunii de alimentare f se alege suficient de scăzută, pentru reducerea pierderilor prin curenți turbionari în elementele metalice constructive (mantaua metalică și fundului cuporului sau a creuzetului cilindric, structura de rezistență etc.), dar în același timp destul de ridicată pentru obținerea unor forțe electromagnetice motoare suficiente pentru amestecarea optimă a întregii băi metalice /10/. În lucrarea /49/ sunt prezentate concluzii extrase din literatură referitoare la interdependența dintre frecvență și o serie de parametri, precum : obținerea unui moment maxim de deplasare a metalului, respectiv unei viteze maxime, penetrarea forței de amestecare pînă la o anumită adâncime în baia metalică și.a.

În figura 1.15 sunt prezentate valorile frecvenței în funcție de capacitatea cupoarelor cu arc (curba 1, după datele din /43/ - URSS; curba 2, după datele din /15/ - ASEA), iar figura 1.16

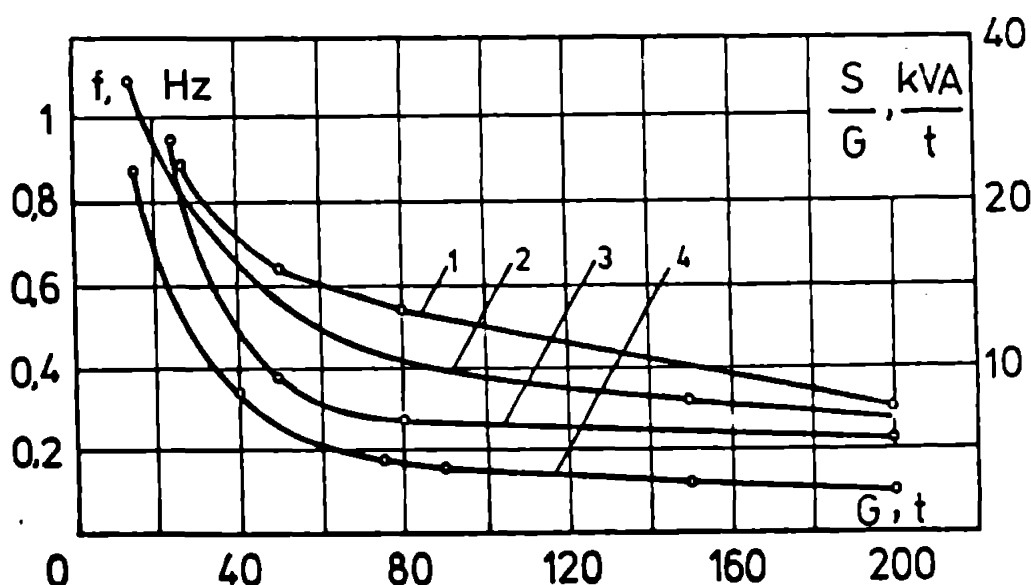


Fig. 1.15 Dependența frecvenței (curbele 1-2) și a puterii aparente specifice (curbele 3-4) de capacitatea cuporului cu arc /15; 43/

- pentru creuzele cilindrice utilizate în degazarea otelului sub vid (curba 1, după datele din /77/ - ASEA).

Intensitatea cimpului magnetic H_{max} la suprafața agitatorului inductiv este cuprinsă între limitele 120.000 ... 200.000 A/m /43; 91/.

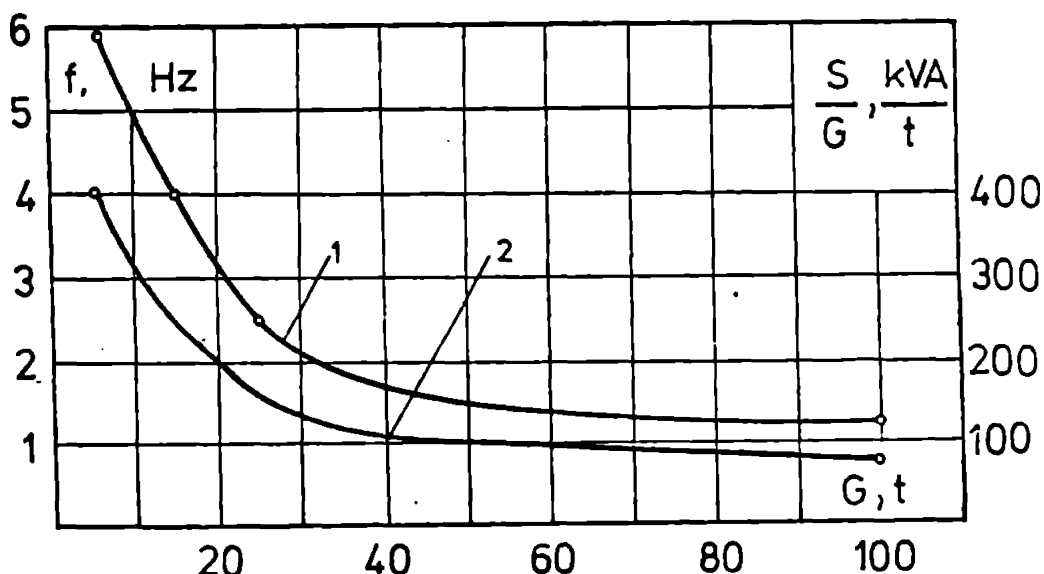


Fig.1.16 Dependența frecvenței (curba 1) și a puterii aparente specifice (curba 2) de capacitatea creuzetului cilindric /77/

Puțere aparentă S absorbită de agitatorul inductiv este dependentă de capacitatea cuptorului G . În figura 1.15 sunt prezentate valurile puterii aparente specifice S/G în funcție de capacitatea cuptoarelor cu arc (curba 3, după datele din /43/ - UKSS ; curba 4, după datele din /15/ - ASKA), iar în figura 1.16 - pentru creuzete cilindrice (curba 2, după datele din /77/ - ASKA).

Întrefierul agitator inductiv-baie metalică, prin mărimea sa deosebită la cuptoarele cu arc constituie o caracteristică principală. Mărimea întrefierului este /43/:

$$\Delta = \Delta_1 + \Delta_2 + \Delta_3 = 375 \dots 1000 \text{ mm}, \quad (1.2)$$

în funcție de capacitatea cuptorului, în care $\Delta_1 = 50 \dots 70 \text{ mm}$ este distanța de la suprafața înfășurării agitatorului pînă la fundul cuptorului, $\Delta_2 = 25 \dots 30 \text{ mm}$ - grosimea mantalei din oțel ne-magnetic a fundului cuptorului; $\Delta_3 = (0,7 \dots 0,75) h_m = 500 \dots 900 \text{ mm}$ - grosimea căptușelii vetroi cuptorului, unde h_m este adâncimea maximă a metalului în baie.

Lungimea agitatorului se ia din considerente constructive, astfel încît miezul magnetic să acopere lungimea fundului băii, avind valori cuprinse între 2...6 m /87/. Valoarea de calcul indicată în /43/ în funcție de întrefierul Δ este

$$l_1 = (5...6) \Delta \quad (1.3)$$

și corespunde unei atenuări admisibile a inducției magnetice la fundul băii metalice.

Lățimea agitatorului are valori cuprinse în limitele 0,7 ... 2 m /87/, fiind determinată în raport cu următoarele mărimi /43/:

- lungimea agitatorului

$$b_1 = (0,2 ... 0,25) l_1 ; \quad (1.4, a)$$

- diametrul inferior al băii metalice

$$b_1 = (0,4 ... 0,5) D_{inf.} ; \quad (1.4, b)$$

- întrefierul agitator - baie

$$b_1 = (1 ... 1,2) \Delta . \quad (1.4, c)$$

Miezul magnetic se poate executa fără dinți, întrucât influența acestora asupra cîmpului magnetic din baie nu se resimte în mod practic /87/. Grosimea miezului magnetic se alege astfel încît inducția magnetică în miez să nu depășească 1...1,2 Wb/m² /43/, pentru limitarea pierдерilor prin histerezis și curenți turbionari. Întrucât inducția magnetică în partea de mijloc a miezului este mai mare decât spre capete, înălțimea și forma acțiunii miezului magnetic vor fi variabile în lungul agitatorului inductiv, ca în figura 1.4 /43/.

Numerul de spire al bobinelor celor două fâns ale înășurării agitatorului inductiv al cupoarelor cu arc satisfac condiția

$$N_I = \frac{4}{3} N_{II} . \quad (1.5)$$

unde N_I este numărul de spire al bobinelor sectionate, marginale iar N_{II} – numărul de spire al bobinei de mijloc, nesecționată (vezi fig.1.5 și 1.6), care are ca scop o micșorare mai puțin pronunțată a cîmpului magnetic spre capetele agitatorului /43/.

In cazul agitatoarelor inductive pentru creuzete cilindrice, dimensiunile agitatorului sint strins legate de cele ale creuzetului pe care urmeaza sa fie montat.

Inaltimea agitatorului este asociata diametrului baii metalice, in lucrarea /27/ mentionindu-se ca valoare optimă din punct de vedere al forței electromagnetice ce se exercită asupra baii metalice valoarea:

$$\frac{D_m}{h_1} \leq 1, \quad (1.6)$$

unde D_m este diametrul baii metalice iar h_1 - inaltimea agitatorului.

1.3. Sursale de alimentare in joasă frecvență

Sursale de joasă frecvență utilizate in practică pentru alimentarea agitatoarelor inductive sint /11; 31; 75; 91/:

- grup convertizor cu mașini cu colector;
- convertizor ionic cu redresare cu mercur;
- convertizor static cu tiristori,

analizate comparativ in /48/.

a. Grup convertizor cu mașini cu colector

Alimentarea agitatoarelor inductive pentru cupoare cu arc construite in URSS este realizată prin instalatii convertizare cu șapte mașini, după schema din figura 1.17 : două generatoare monofazate cu colector (1,2) ale căror înfășurări de excitație sint alimentate cu curenti defazați cu 90° , la frecvența dorită agitatorului inductiv, de la un convertizor

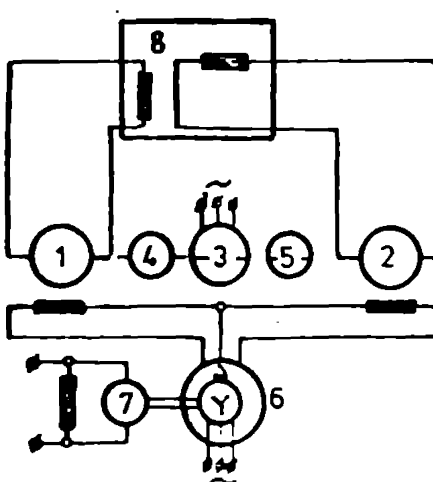


Fig.1.17 Instalația convertizare cu 7 mașini, realizată in URSS /10/.

de frecvență cu colector trifazat (6); generatearele sunt alimentate de motorul simeron (3) care are ca mașini auxiliare excitate tricea (4) și motorul de c.c. (5) pentru pornire, iar convertizorul de frecvență este antrenat de motorul de c.c. (7). Generatearele monofazate alimentează cele două faze (8) ale agitatorului inductiv.

In tabelul 1.4 sunt date parametrii generatearelor cu colector monofazate, iar in tabelul 1.5 - puterile necesare convertizorului de frecvență cu colector.

Tabelul 1.4 /11/

Caracteristici	Frecvență, Hz		
	0,5	1	2
Curentul, A	850	850	850
Tensiunea, V	245	475	94
Puterea activă kW	415	800	1600
Factorul de putere $\cos \phi$	0,523	0,214	0,181

Tabelul 1.5 /10/

Capacitatea cupitorului, t	Puterea generateurului, kVA	Puterea convertizorului, kVA
10...15	100	5
20...30	250	8
40...60	400	12
80...100	550	20
180...200	1000	30

Agitatoarele inductive construite de firma ASEA sunt alimentate după schema principală din figura 1.18: generateare-traductori de joasă frecvență de mică putere (1,2) sunt antrenate de motor de c.c. (3) printr-un reductor de turăție (13) cu o turăție de cca 1 rot/min. Semnalul este amplificat în amplificatoarele magnetice (4,5) și introdus la excitatricele (6,7) generatearelor de joasă frecvență monofazate (9,10) ce alimentează cele două faze (12) ale agitatorului inductiv; excitări-

cele și generatearele monofazate sunt antrenate de motoare asincrone (8,11). Caracteristicile generatorului monofazat pentru alimentarea agitatorului inductiv la un cupor cu arc

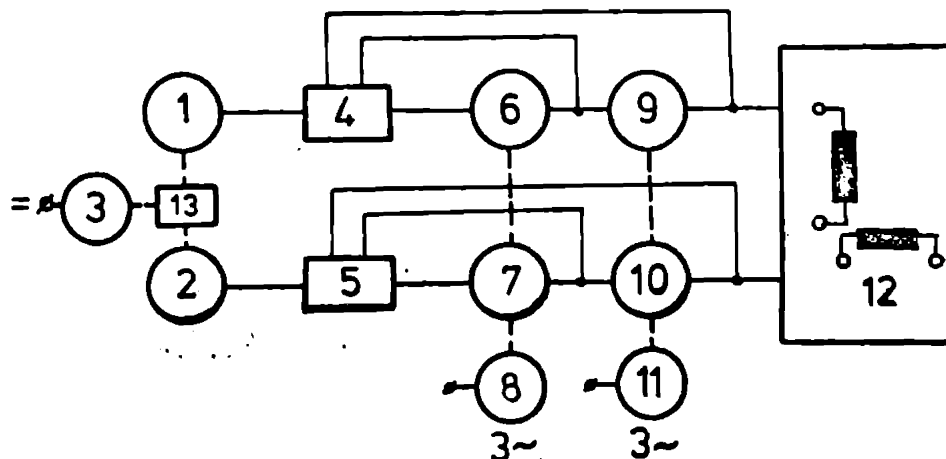


Fig.1.18 Schema de principiu a instalației de alimentare a agitatoarelor inductive construite de firma RIA /91/

de 25 t și înălțimea de $S = 175 \text{ kVA}$, $I = 800 \text{ A}$, $U = 220 \text{ V}$, $f = 0,95 \text{ Hz}$; $P_{\text{m}} = 350 \text{ kW} / 21/$.

Pentru alimentarea inductorului de încălzire și de amestecare după procedeul ASEA - ULF, excitatricele (5,7) ale generatorelor de joasă frecvență (9,10) sunt prevăzute cu două înfășurări de excitație alimentate în mod alternativ, o dată pentru încălzire (cind inductorul este conectat monofazat) și pe urmă pentru amestecare (inductorul fiind conectat bifazat), după /77/.

b. Convertizer ionic cu redresare cu mercur

Schema principală a convertizorului ionic de joasă frecvență, redată în figura 1.19, conține redresoarele cu mercur împărțite în două grupe (1,2), conectate în schema puncte trifazatî în contratimp, alimentate de la un transformator de putere (3). Fiecare grupă, comandat prin regulatorul de fază (5), alimentează cîte o fază (9) a agitatorului inductiv.

Tensiunea sinusoidală "semnal" de joasă frecvență se obține de la generatorul-traductor reacstatic (8), acționat de motorul de c.c.(4). Reglarea frecvenței generatorului-traductor

se realizează prin modificarea turării motorului său de acționare.

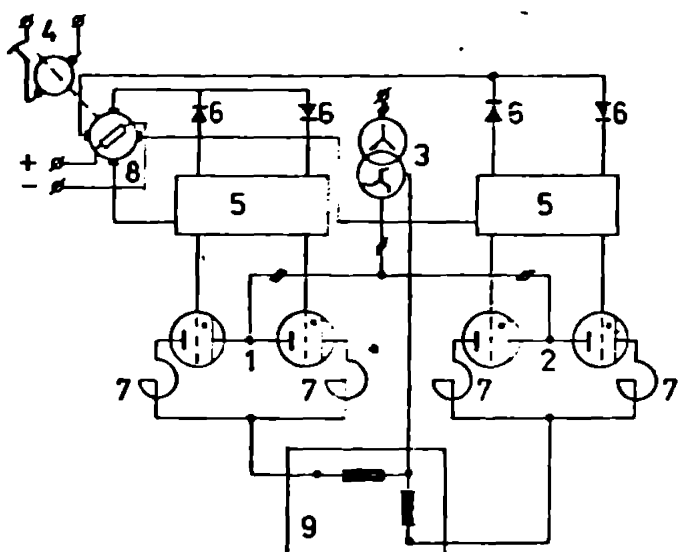


Fig.1.19 Schema de principiu a convertorului ioniz cu redresare cu mercur /11/.

Cu această schema s-a obținut un curent de 2000 A, cu o frecvență de 0,5-2 Hz, la tensiuni pînă la 400 V /11/.

c. Convertor static cu tiristeri

Convertizoarele statice cu tiristeri sunt realizate cu circuit intermediar de curent continuu: la ieșirea unui redresor cu comutare de la rețea alimentat la tensiune alternativă trifazată a rețelei se cuplează în inverter cu comutare proprie ce furnizează o tensiune monofazată cu frecvență acăzută; cu un astfel de convertor de frecvență se pot modifica simultan amplitudinea și frecvența tensiunii de ieșire.

Schimbul de principiu - figura 1..o conține un transformator de putere (1), redresorul trifazat în puncte (2) la ieșirea căruia sunt cuplate două inverteare - generatoare de joasă frecvență (3,4) ce alimentează fazele (5) agitatorului inductiv. Blocul de comandă (6) primește un semnal de referință de frecvență joasă dorită, de exemplu de la un generator-traducător deosebitic și comandă cele două inverteare-generatoare (3,4) astfel încât tensiunile de alimentare a fazelor înfășurării agitatorului să fie defasate cu $\pi/2$.

Convertorul static cu tiristeri ce alimentează agitatorul inductiv pentru o valoare de 30 t în procedeul ASKA - SKP prezintă următoarele caracteristici pentru o fază a înfășurării (o pareche de bobini parțiale): $U_{\text{cc}} = 500 \text{ V}$, $I_{\text{cc}} = 750 \text{ A}$, $U_{\text{ca}} = 300 \text{ V}$, $I_{\text{ca}} = 860 \text{ A}$, $f = 1,75 \text{ Hz}$, puterea aparentă totală

a agitatorului fiind $C = 515 \text{ kVA} /75/.$

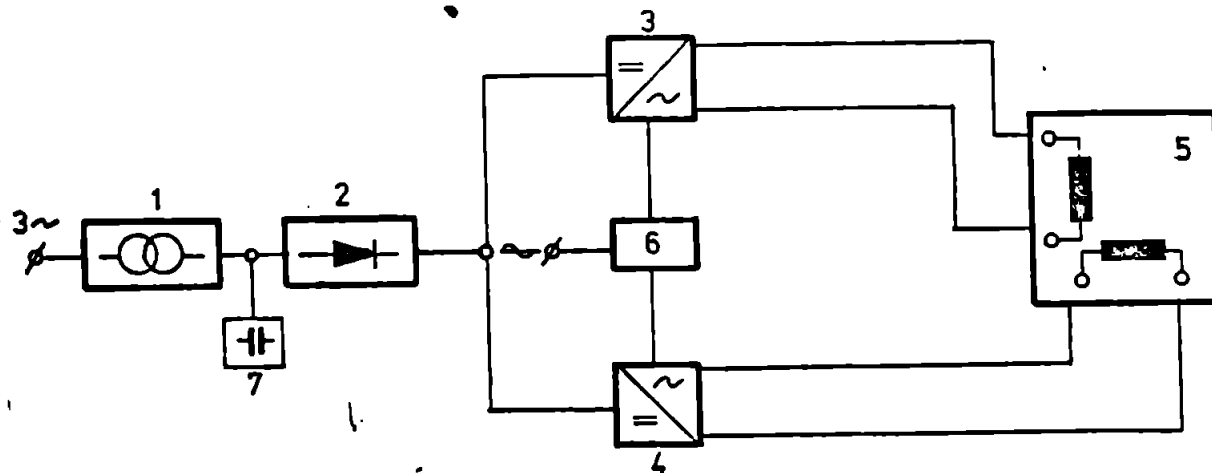


Fig.1.20 Schema de principiu a convertorului static cu tiristori /75/.

In lucrarea /55/ se propune adoptarea unei scheme prezentate in /68/, pentru alimentarea agitatoarelor inductive cu tensiuni de frecvență variabilă, mai mică de 50 Hz, prezentându-se datele de dimensionare necesare.

1.4. Instalații auxiliare

a. Instalația de răcire a agitatorului

Înălțarea agitatorului este parcursă de un curent intens. Scăderile termice prin efect Joule și fluxul termic transmis prin radiație dinspre cupor spre exterior conduc la încălzirea puternică a agitatorului (niez magnetic și infășurare).

Procedeele de răcire a agitatorului utilizate în prezent sunt: răcire cu aer prin ventilație forțată și răcirea cu apă.

Sistemul de răcire cu aer este realizat în circuit închis: aerul încălzit este trecut printr-un schimbător de căldură montat la fundul agitatorului și răcit, este recirculat printre înălțările agitatorului de la care preia căldura.

această soluție este posibilă datorită structurii constructive compacte a inductorului (v.fig.1.7,b). Schimbătorul de căldură este astfel realizat încit să poate fi deschis pentru curățire,

în caz de nevoie.

Răcire cu apă necesită debite mari, de cca 10.000 m^3/h /17/.

Răcirea cu apă circulată prin conductorul de cupru tip ţeavă al înfăşurării inductorului prezintă avantajul utilizării unei densități de curent mari, de 70-75 A/mm². Se impune însă o atenție sporită controlului stării căptușelii refractare pentru a se evita posibilitatea străpunerii vetrăi și a scurgerii otelului topit peste agitator; acest lucru prezintă pericol de explozie.

Consumul de apă este de 200-400 l/minut, în raport cu capacitatea cuptorului /91/.

În /75/ se menționează că răcirea agitatorului instalației ASUA-SGF, plasat în exteriorul calei vidate, se face cu apă în circuit închis, căldura fiind evacuată printr-un schimătător de căldură exterior.

b. Instalația de control a stării de uzură a căptușelii refractare

În scopul prevenirii perforării vetrăi cuptoarelor cu arc se controlează continuu variația temperaturii în zidăria vetrăi cu termocopluri /64/ sau pe peretele exterior al căptușelii cu termoresistențe /24, 27/. Numărul punctelor în care se aplică aceste termoresistențe este de 12...16, în funcție de mărimea cuptorului. Dacă refractorul este erodat într-un punct, temperatura în acel punct crește și, în caz critic, intră în funcționare semnalizarea optică și acustică. Este de remarcat că valoarea gradientului de temperatură în timp este mai importantă decât valoarea absolută a temperaturii măsurată în punctul respectiv, întrucât indică viteză de erozare, progresia uzurii căptușelii în acel punct. În acest scop, variația temperaturii în punctele de măsurare este înregistrată pe diagrame /24/.

Introducerea termocoplurilor în zidăria vetrăi cuptorului întâmpină unele dificultăți, legate de temperatura înaltă, eroziunea continuă a căptușelii refractare, solicitări mecanice, acțiuni corozive. În /26/ se recomandă utilizarea unor plăcuțe ceramice de formă dreptunghiulară, subțiri, în masă cărora sunt îngropate sîrmele unor termocopluri Pt/PtRh ce formează cinci puncte de joncțiune aranjate longitudinal la diferite distanțe de capăt. Plăcuțele se execută atît de subțiri încît se pot

introduce în rosturile dintre cărămizi, astfel încât măsurările indică gradientul de temperatură în gresimea căptușelii refractare.

În cazul inductoarelor cilindrice pentru oale, procedeul tehnologic A.L.A.-S.U imprimă particularități instalației de control a stării de uzură a refractorului. Faptul că în acest procedeu creuzetul cilindric este deplasat mereu, fiind în mod repetat introdus și scos din interiorul agitatorului cilindric, conduce spre următoarele metode de control /27/:

- utilizarea unui dispozitiv cu infraroșii (cameră de termoviziune) cu care se explorează peretii creuzetului după fiecare golire. Diagrama termică obținută pe această cale poate să dea cele mai bune informații în cazul deteriorării refractorului;

- utilizarea unor traductori de "contact". Aceștia urmează să pătrundă în lăcașurile corespunzătoare practicate în refractorul creuzetului, prin apăsare, atunci cind creuzetul este poziționat în inducer.

În cazul în care agitatorul formează cu creuzetul un ansamblu staționar, pot fi utilizate procedeele de control a stării creuzetului de la cupoarele de inducție cu creuzet /1/.

c. Instalația de ameliorare a factorului de putere

Factorul de putere al agitatorului inductiv are valori scăzute, de 0,55...0,35, motiv pentru care generatearele instalației de amestecare au puteri spărente foarte mari, de 500..1200 kVA. În /32/ se analizează posibilitatea utilizării unor surse de putere reactivă în circuitul de joasă frecvență (0,3...2 Hz), ceea ce ar permite ca generatearele să fie construite pentru puteri mai mici, egale cu puterile active necesare agitatoarelor inductive.

Pe baza unor considerații tehnico-economice, se recomandă pentru anumite domenii de frecvență și tensiuni următoarele surse de putere reactivă:

- pentru frecvențe între 0,3...0,3 Hz, tensiunea de 100..210 V și curenti de lucru de 1500...2500 A este ratională utilizarea mașinilor compensatoare de c.c. (motor de c.c. cu excitare independentă alimentat la indus cu tensiunea sinusoidală de joasă frecvență);

- pentru intregul cromeniu de frecvențe, tensiunea de 15...20 V și curenți de lucru de 1000...2000 A este posibilă utilizarea compensatoarelor de fază tip Leblanc-Scherbius sau a condensatoarelor statice electrolitice;

- pentru frecvențe de 0,9...2 Hz la tensiunea de 100...250 V și curenți de lucru pînă la 100 A este rațională utilizarea condensatoarelor statice electrolitice.

Dă reținut însă că în instalațiile industriale actuale nu se realizează ameliorarea factorului de putere în instalația de joasă frecvență.

1.5. Eficiență economică

Rezultatele cercetărilor experimentale privind îmbunătățirile obținute prin utilizarea amestecării prin inducție electromagneticică a băilor de metal topit sunt prezentate pe larg în lucrările /12; 13; 14; 16; 18; 33; 73; 83/ pentru topirea oțelului în cuptoarele electrice cu arc, în lucrările /15; 77; 82/ pentru degazarea sub vid a oțelurilor final aliate și în lucrările /29; 36; 37; 70; 74/ pentru turnarea continuă a oțelurilor. În lucrarea /56/ sunt analizate principalele avantaje ce decurg din utilizarea amestecării prin inducție electromagneticică în locul altor procedee de amestecare.

- elaborarea oțelului în cupterul electric cu arc se face după procedeul bazic. Tehnologia de elaborare expusă în /64/ are următoarele etape principale: topirea, afinarea (fierberea), dezoxidarea, desulfurarea, alierea și turnarea. Amestecarea băii metalice se face pentru accelerarea și ușurarea tragerii zgurilor, uniformizarea temperaturii și compoziției chimice a metalelui, intensificarea proceselor de dezoxidare și aliere.

În general, agitatorul inductiv se conectează, cu mici intreruperi, începînd cu circa 30 min. înainte de sfîrșitul topirii, pînă la turnare, folosindu-se avantajele nete în fiecare perioadă caracteristică procesului de elaborare.

Consumul de energie electrică al agitatorului inductiv este de 10...20 kWh/t, adică numai 3% din cheltuielile pentru topirea oțelului.

Economia de timp realizată este asociată cu o economie de energie electrică prin scurtarea duratei unei serje și, implicit, reducerea pierderilor termice, asigurînd amortisarea

cheltuielilor de instalare a agitatoarelor inductive într-un timp deosebit de scurt, de 1,5...3 ani.

Degazarea sub vid a oțelurilor final eliste utilizând agitatoare inductive pentru amestecarea metalului în baie se efectuează în principal după metoda ASEA-SKF. Avantajele utilizării agitatorului inductiv sunt legate de îmbunătățirea calității oțelurilor și mărimea producției; complicitând un cuptor electric cu arc cu o cală pentru degazare sub vid se obține o creștere a producției de circa 50 %, degazarea, afinarea și finisarea unei șarje, care se efectuează în cală putindu-se face în același timp cu topirea șarjei următoare în cuptorul cu arc.

În funcție de turnarea continuă a oțelului, utilizarea agitatorului inductiv este încotroită de îmbunătățiri calitative: ameliorarea structurii interne prin reducerea segregării și porosității, creșterea puritatei oțelului, îmbunătățirea calității suprafeței și a stratului imediat următor.

C A P. 2. CONTRIBUȚII TEORETICE CU PRIVIRE
LA SISTEMUL DE AMESTECARE
PRIN INDUCTIE ELECTROMAGNETICA

2.1. Considerații generale

Mișcarea fluidelor conductoare în cimp magnetic este descrisă de sistemul de ecuații al magnetohidrodinamicii, care cuprinde atât ecuațiile cimpului electromagnetic cât și ecuațiile hidrodinamice /9; 34; 41; 43/.

Ecuatiile cimpului electromagnetic, respectiv ecuațiile lui Maxwell sunt /71/:

$$\text{rot } \vec{H} = \vec{J} ; \quad (2.1)$$

$$\text{rot } \vec{E} = - \frac{\partial \vec{B}}{\partial t} ; \quad (2.2)$$

$$\text{div } \vec{B} = 0 ; \quad (2.3)$$

$$\text{div } \vec{E} = 0 ; \quad (2.4)$$

la care se adaugă relațiile:

$$\vec{B} = \mu \vec{H} ; \quad (2.5)$$

$$\vec{J} = \sigma [\vec{E} + (\vec{v} \times \vec{B})] , \quad (2.6)$$

în care \vec{v} este vitesa fluidului în raport cu sistemul de coordonate fix, iar μ - permeabilitatea magnetică a lichidului presupusă constantă.

In cazul fluidelor conductoare, incompresibile și viscoase, ecuațiile hidrodinamice se simplifică /34/. Ecuatia continuității devine

$$\text{div } \vec{v} = 0 , \quad (2.7)$$

iar ecuația mișcării fluidului (ecuația Navier-Stokes) este

$$\frac{d\vec{v}}{dt} = - \text{grad } p + \rho \vec{g} + \vec{F} + \eta \nabla^2 \vec{v} + \vec{J} \times \vec{B} , \quad (2.8)$$

în care ρ este masa specifică a fluidului, g - acceleratia gravitațională, η - coeficientul de viscozitate dinamică a fluidului, $\vec{J} \times \vec{B}$ - forță de natură electromagnetică ce acționează asupra fluidului din unitatea de volum, \vec{F} - forță de altă natură care acție-

neasă asupra fluidului din unitatea de volum (dacă singura forță exterioară este gravitatea, atunci $\bar{F} = 0$).

La aceste ecuații se mai adaugă ecuația conservării energiei /41/:

$$\operatorname{div} \left[(H_1 + \frac{1}{2} v^2) \rho \bar{v} \right] - (\bar{J} \times \bar{B}) \cdot \bar{v} - \frac{1}{\sigma} J^2 = 0 ; \quad (2.9)$$

în care H_1 este entalpia fluidului. Ecuația este scrisă în ipoteza că apare căldură numai datorită transformării ireversibile prin efect Joule și că există numai forțe de natură electromagnetică.

Ecuația (2.9) se utilizează în cazul în care interesează în mod special distribuția temperaturii în fluid și influența și asupra mișcării fluidului. O astfel de problemă pentru cuptoarele de inducție cu creuzet este tratată în /7/.

Intrucât în ecuația (2.6) intră și viteza de mișcare a fluidului, este evident că în mod riguros nu se poate determina cimpul electromagnetic independent de mișcare, astfel că sistemul ecuațiilor (2.1)...(2.9) trebuie considerat în ansamblu. Expresia matematică a interacțiunii magnetohidrodinamice rezidă în ecuația (2.6) /9/. În particular, dacă fluidul este în repaus, atunci cele două sisteme de ecuații – sistemul clasic al hidrodinamicii și sistemul electrodinamicii – se separă. Se determină cimpul electromagnetic din sistemul electrodinamicii, astfel că expresia densității de forță electromagnetică din ecuația (2.8) devine cunoscută, ajungându-se în acest mod la problema clasică a hidrostaticii cu o forță suplimentară /9/.

Răsolvarea analitică simultană a sistemului ecuațiilor (2.1)...(2.9), cu lărgire în considerare a variațiilor reale ale măriniilor componente (viteza metalului în baie \bar{v} , de exemplu) în cazul agitărilor inductive, este practic imposibilă. Pentru a se putea obține însă soluții care să ilustreze interdependența dintre fenomenele magnetice și hidrodinamice, se va lua în considerare o situație simplificată a sistemului agitator inductiv – baie metalică. Date fiind valoarea scăzută a vitezei metalului lichid în băile amestecate prin inducție electromagnetică ($v = 0,2 \dots 1,0 \text{ m/s}$), în vederea studierii cimpului electromagnetic cele două sisteme de ecuații se vor separa, ca și în cazul particular al fluidului în repaus, dar fără a neglija termenul ce conține viteza din ecuația (2.6). Se determină întii cimpul electromagnetic considerind o valoare medie V_{med} a vitezei de deplasare a metalului în baie și apoi, cunoscând variația cimpului electromagnetic și, implicit, variația forței electromagnetice în baie metalică, se poate determina variația vitezei de deplasare.

sare a metalului în baie.

Calculele vor fi efectuate considerind sistemul idealizat din figura 2.1.

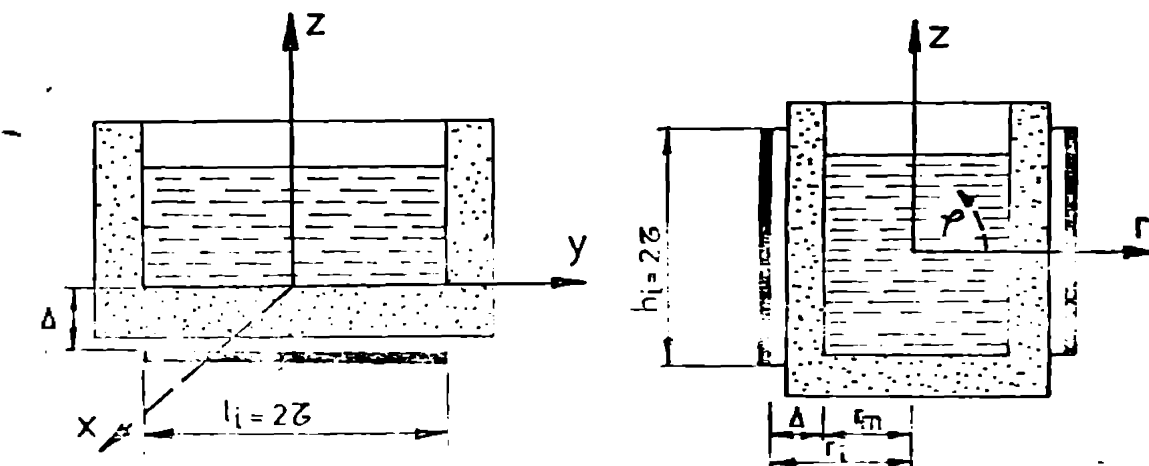


Fig. 2.1. Sistemul de referință pentru studiul distribuției cimpului electromagnetic în întreier și baie metalică. a - agitator inductiv liniar; b - agitator inductiv cilindric.

După cum s-a patut observa din cele expuse în capitolul 1, instalațiile de amestecare prin inducție electromagnetică sunt prevăzute cu două tipuri constructive de agitare inductivă: liniar, similar unui motor asincron liniar și cilindric, similar unui inductor de topire de la cuporul de inducție cu creuzet.

In figura 2.1., a este considerat sistemul agitator inductiv liniar - baie metalică, în care l_1 este lungimea agitatorului, Δ - întreierul sistemului. Sistemul de referință cartezian este astfel ales încit axa ey să fie în lungul fundului băii metalice, axa oz - orientată spre interiorul băii metalice, spre suprafața superioară, liberă, originea sistemului 0 - în centrul de simetrie al fundului băii metalice, direcția axei Ox rezultând ca în figură.

In figura 2.1.b este considerat sistemul agitator inductiv cilindric - baie metalică, în care h_1 este înălțimea agitatorului, Δ - întreierul sistemului, r_1 , r_m - raza agitatorului, respectiv băii metalice. Sistemul de referință cilindric este astfel ales încit originea să se afle în central de simetrie al băii metalice, axa oz să fie orientată vertical, spre suprafața liberă a băii metalice, direcția axei or și a coordonatei q rezultând ca în figură.

In calcule se va neglija influența măntalei nemagnetice a

cupțierului sau creuzetului asupra cîmpului magnetic. Se consideră o mișcare a metalului în sensul de deplasare a cîmpului electromagnetic inductor, constantă în orice punct din băie și egală cu o valoare medie V_{med} .

Înășurarea bifazată a agitatorului inductiv se ia în considerare prin amperapirele inductive (pătură de curent) ale undei fundamentale la suprafața agitatorului inductiv.

În cazul agitatorului liniar

$$a_{y_1} = A_{max_1} \cos \left(\frac{\pi}{\tau} y - \omega_1 t \right), \quad (2.10)$$

în care τ este pasul polar al înășurării agitatorului (în mod evident $\ell_1 = 2\tau$); ω_1 - pulsăția curentului inductor, iar în cazul agitatorului cilindric

$$a_{z_1} = A_{max_1} \cos \left(\frac{\pi}{\tau} z - \omega_1 t \right). \quad (2.11)$$

Se consideră pentru simplificare un cîmp plan - paralel respectiv plan-măridian, cu neglijarea efectelor de capăt și marginale.

Mărimele vectoriale ce intervin în studiu cîmpului electromagnetic, în condițiile de studiu simplificate considerate (în sistemul de referință din fig. 2.1) sunt:

- pentru agitatorul inductiv liniar:
 - intensitatea cîmpului magnetic, respectiv inducția magnetica

$$\vec{H} = \vec{j} H_y + \vec{k} H_z ;$$

$$\vec{B} = \vec{j} B_y + \vec{k} B_z .$$

- intensitatea cîmpului electric, respectiv densitatea curentilor induși

$$\vec{E} = \vec{i} E_x ;$$

$$\vec{j} = \vec{i} j_x .$$

- viteza metalului în băie

$$\vec{v} = \vec{j} v_y .$$

- forța electromagnetică specifică (forță electromagnetică ce acționează pe unitatea din volumul băii metaleice)

$$\vec{f}_{em} = \vec{j} \times \vec{B} = \vec{j} f_{emy} + \vec{k} f_{emz} .$$

- pentru agitatorul inductiv cilindric, mărimele menționate vor avea următoarele componente:

$$\begin{aligned}\bar{H} &= \bar{\epsilon}_r H_r + \bar{\epsilon}_z H_z ; \\ \bar{B} &= \bar{\epsilon}_r B_r + \bar{\epsilon}_z B_z ; \\ \bar{E} &= \bar{\epsilon}_\varphi E_\varphi ; \\ \bar{J} &= \bar{\epsilon}_\varphi J_\varphi ; \\ \bar{v} &= \bar{\epsilon}_z v_z ; \\ \bar{f}_{em} &= \bar{J} \times \bar{B} = \bar{\epsilon}_r f_{emr} + \bar{\epsilon}_z f_{emz} .\end{aligned}$$

Distribuția cimpului electromagnetic în întreier și baia metalică se studiază în două ipoteze de calcul:

- se neglijază, într-o primă aproximatie, influența curentilor induși în baia metalică asupra cimpului magnetic produs de inductor (nu se ia în considerare "reația" curentilor îndăși), ceea ce permite determinarea aproximativă a distribuției cimpului electromagnetic și apoi se determină forțele electromagnetice specifice ce acționează asupra metalului din baie, cu lăsarea în considerație a curentilor induși în baie;

- se ia în considerare influența curentilor induși în baia metalică asupra cimpului magnetic produs de inductor, ceea ce permite determinarea mai exactă a distribuției cimpului electromagnetic și a forțelor electromagnetice specifice.

2.2. Determinarea aproximativă a cimpului electromagnetic în casul agitatorului liniar.

Neglijarea influenței curentilor induși în baia metalică asupra cimpului magnetic inductor este echivalentă cu înlocuirea membrului drept al ecuației (2.1) cu zero; se procedează la determinarea intensității cimpului magnetic (2.1)-(2.5) și apoi a intensității cimpului electric (2.2)-(2.4). Cunoscând valorile aproximative ale cimpului electromagnetic (\bar{H} și \bar{B}), se determină densitatea curentilor induși în baia metalică (2.6) și apoi densitatea de volum a forței electromagnetice. Mărimele menționate se consideră orientate conform celor expuse anterior.

a. Intensitatea cîmpului magnetic.

In ipoteza de focute, intensitatea cîmpului magnetic verifică ecuațiile

$$\text{rot } \vec{H} = 0 , \quad (2.12)$$

$$\text{div } \vec{H} = 0 , \quad (2.13)$$

atât în intrefier cât și în baia metalică. În domeniul considerat cîmpul magnetic \vec{H} este deci un cîmp potențial, putind fi determinat din potențialul magnetic scalar φ_m

$$\vec{H} = - \text{grad } \varphi_m , \quad (2.14)$$

ce satisfac ecuația lui Laplace:

$$\Delta \varphi_m = 0 . \quad (2.15)$$

Condițiile pe frontieră sunt următoarele:

- intensitatea cîmpului magnetic la suprafața liberă a băii metalice este nulă, adincimea băii metalice considerindu-se suficient de mare (tinde spre infinit);

- intensitatea cîmpului magnetic la suprafața agitatorului inductiv (componentă H_y) este egală cu valoarea rezultată din pătură de curent (2.10). În acest sens, la suprafața de separație miez magnetic - intrefier, componenta tangențială a intensității cîmpului magnetic suferă un salt

$$H_{sy} - H_{miesy} = A , \quad (2.16)$$

egal cu densitatea liniară (pătură de curent) a curentului ce circulă pe suprafață respectivă. Avind în vedere valorile permeabilității magnetice a celor două medii,

$$H_{sy} \approx A , \quad (2.17)$$

adică valoarea intensității cîmpului magnetic la suprafața agitatorului inductiv (componentă sa după direcția Oy) este numeric egală cu pătură de curent;

- în ceea ce privește suprafețele laterale, acestea sunt luate în considerare prin alegerea originii sistemului de referință în centrul de simetrie al cîmpului magnetic, axa os fiind axă de simetrie; în acest fel, intensitatea cîmpului magnetic are aceeași valoare pe

cele două suprafețe laterale ($-l_1/2$; $l_1/2$).

Cum cimpul magnetic este un cimp plan - paralel, înseamnă că și potențialul acestui cimp va fi de forma $\varphi_B = \varphi_B(y, z)$, ecuația (2.15) devinând

$$\frac{\partial^2 \varphi_B}{\partial y^2} + \frac{\partial^2 \varphi_B}{\partial z^2} = 0 . \quad (2.18)$$

Razolvarea acestei ecuații prin metoda separării variabilelor conduce la soluția /2; 71/:

$$\begin{aligned} \varphi_B(y, z) &= (k_1 \cos \alpha y + k_2 \sin \alpha y) \cdot \\ &\cdot [k_3 e^{-\alpha(\Delta+z)} + k_4 e^{\alpha(\Delta+z)}] ; \end{aligned} \quad (2.19)$$

Avind în vedere condițiile pe frontieră la valoarea nulă a intensității cimpului magnetic pe suprafața liberă a căii metalice („entră și luind valori foarte mari”) și și la valorile egale ale intensității cimpului magnetic pe suprafețele laterale ale băii metalice (pentru $y = -l_1/2$ respectiv $y = l_1/2$), soluția (2.19) devine

$$\varphi_B(y, z) = k \sin \alpha y \cdot e^{-\alpha(\Delta+z)} ; \quad (2.20)$$

unde s-a notat: $k = k_2 \cdot k_3$.

Pentru ca să fie verificată și condiția pe frontieră la suprafața agitatorului inductiv (2.17), ca (2.10) și (2.14), soluția (2.20) conduce la expresiile componentelor intensității cimpului magnetic, respectiv

$$H_y = H_{\max} \cdot -\frac{\pi}{\tau} (\Delta+z) \cos \left(\frac{\pi}{\tau} y - \omega_1 t \right) ; \quad (2.21)$$

$$H_z = H_{\max} \cdot -\frac{\pi}{\tau} (\Delta+z) \sin \left(\frac{\pi}{\tau} y - \omega_1 t \right) ; \quad (2.22)$$

expresii regăsite și în /5; 78/.

Amplitudinile componentelor cimpului magnetic se atenuă în intervalul Δ la valorile ($z=0$)

$$\hat{H}_{J_0} = \hat{H}_{Z_0} = H_{\max} \cdot -\frac{\pi}{\tau} \Delta \quad . \quad (2.23)$$

Atenareea în baia metalică, în report cu (2.23) este

$$\frac{\hat{H}_Y}{\hat{H}_{J_0}} = \frac{\hat{H}_Z}{\hat{H}_{Z_0}} = e^{-\frac{\pi}{\tau} \Delta} \quad , \quad (2.24)$$

rezultind o variație exponențială descrescătoare cu z , reprezentată și în /43/.

Afînd intensitatea cîmpului magnetic, din (2.5) se poate exprima inducția magnetică.

b. Intensitatea cîmpului electric.

Distribuția intensității cîmpului electric în întregier și baia metalică se determină din sistemul ecuațiilor (2.2) - (2.4). Desvoltind rot \vec{E} :

$$\text{rot } \vec{E} = \begin{vmatrix} \vec{i} & \vec{j} & \vec{k} \\ \frac{\partial}{\partial x} & \frac{\partial}{\partial y} & \frac{\partial}{\partial z} \\ E_x & 0 & 0 \end{vmatrix} = j \frac{\partial E_x}{\partial z} - k \frac{\partial E_x}{\partial y} \quad .$$

se obține

$$j \frac{\partial E_x}{\partial z} - k \frac{\partial E_x}{\partial y} = - j \frac{\partial B_y}{\partial t} - k \frac{\partial B_z}{\partial t} \quad .$$

ecuația vectorială echivalentă cu ecuațiile scalare

$$\frac{\partial E_x}{\partial y} = \frac{\partial B_z}{\partial t} \quad . \quad (2.25)$$

$$\frac{\partial E_x}{\partial z} = - \frac{\partial B_y}{\partial t} \quad . \quad (2.26)$$

Introducînd derivata inițială magnetică în (2.25) se obține

$$\frac{\partial E_x}{\partial y} = \omega_1 A_{\max} \cdot -\frac{\pi}{\tau} (\Delta + z) \cos \left(\frac{\pi}{\tau} y - \omega_1 t \right) \quad ,$$

de unde, prin integrare rezultă

$$E_x = \omega_1 \frac{\tau}{\pi} B_{max} \cdot -\frac{\pi}{\tau} (\Delta + z) \sin \left(\frac{\pi}{\tau} y - \omega_1 t \right) + F(z).$$

Introducind apoi derivata inductiei magnetice in (2.26) se obtine

$$\frac{\partial E_x}{\partial z} = \omega_1 B_{max} \cdot -\frac{\pi}{\tau} (\Delta + z) \sin \left(\frac{\pi}{\tau} y - \omega_1 t \right)$$

de unde prin integrare rezulta

$$E_x = \omega_1 \frac{\tau}{\pi} B_{max} \cdot -\frac{\pi}{\tau} (\Delta + z) \sin \left(\frac{\pi}{\tau} y - \omega_1 t \right) + G(y).$$

Aceste doua expresii obtinute pentru E_x diferă în membrul drept prin constantele de integrare, funcțiile $F(z)$ și $G(y)$, ceea ce conduce cu necesitate la $F(z) \equiv G(y) \equiv 0$.

Astfel, intensitatea cimpului electric este

$$E_x = \omega_1 \frac{\tau}{\pi} B_{max} \cdot -\frac{\pi}{\tau} (\Delta + z) \sin \left(\frac{\pi}{\tau} y - \omega_1 t \right). \quad (2.27)$$

Luiind in considerare (2.21) se obtine

$$E_x = -\frac{\omega_1 \mu \tau}{\pi} H_z. \quad (2.28)$$

c. Densitatea curentilor induși

Densitatea de curent \bar{J} a curentilor turbiecarri indusi in baia metalica se determina din (2.6), ca (2.28), avindu succesiiv:

$$\bar{v} \times \bar{B} = \begin{vmatrix} \bar{i} & \bar{j} & \bar{k} \\ 0 & v_y & 0 \\ 0 & B_y & B_z \end{vmatrix} = \bar{i} v_y B_z$$

$$\bar{J} = \sigma (\bar{i} E_x + \bar{i} v_y B_z) = \bar{i} \sigma (E_x + v_y B_z)$$

$$J_x = \sigma (E_x + v_y B_z) = \sigma \left(-\frac{\omega_1 \mu \tau}{\pi} H_z + v_y \mu H_z \right) =$$

$$= -\mu \sigma \left(\frac{\tau \omega_1}{\pi} - v_y \right) H_z$$

$$J_x = - \frac{2 k_s^2 \tau}{\pi} B_s . \quad (2.29)$$

În relația (2.29) s-a introdus constanta k_s ,

$$k_s = \sqrt{\frac{\omega_1 \mu_0 S}{2}} , \quad (2.30)$$

în care ω_1 este "almenarea" băii de metal ce se deplasează cu viteză medie v_y față de cimpul magnetic ce se deplasează cu viteză

$$v_1 = 2 \tau f_1 = \frac{\tau \omega_1}{\pi} \quad (2.31)$$

$$\bullet = \frac{v_1 - v_y}{v_1} = \frac{\pi}{\tau \omega_1} \left(\frac{\tau \omega_1}{\pi} - v_y \right) . \quad (2.32)$$

d. Forța electromagnetică

Densitatea de volum a forței electromagnetice \bullet ce se exercită asupra băii metaleice are componentele date de produsul vectorial $J \times B$ astfel că se obține

$$\bar{f}_{em} = \begin{vmatrix} \bar{i} & \bar{j} & \bar{k} \\ J_x & 0 & 0 \\ 0 & B_y & B_z \end{vmatrix} = \bar{j} (-J_x B_z) + \bar{k} J_x B_y . \quad (2.33)$$

Componenta după direcția oy , dirijată tangențial la suprafața de pătrundere a cimpului electromagnetic în băie metalică, denumită "forță motoare" intrușit antrenată în mișcare metalul tezit din băie, este cea care interesează în instalațiile de amestecare prin inducție electromagnetică,

$$f_{emy} = - J_x B_z . \quad (2.34)$$

În (2.29) această forță este

$$f_{emy} = \frac{2 \mu_0 k_s^2 \tau}{\pi} B_z^2 . \quad (2.35)$$

Introducind în expresia (2.35) intensitatea cimpului magnetic (2.21) se obține variația densității de volum a forței electromag-

netice "motoare" în baia metalică

$$F_{\text{em}} = \frac{2 \mu k_0^2 \tau}{\pi} H_{\max}^2 \cdot -2 \frac{\pi}{\tau} (\Delta + s) \sin^2 \left(\frac{\pi}{\tau} y - \omega_1 t \right) \cdot N/m^3 \quad (2.36)$$

Integrind pe volumul V din baia metalică, aflat deasupra agitatorului de lățime $b_1 = 2b$, lungime $\ell_1 = 2\tau$ și înălțime $h \leq h_m$, unde h_m este înălțimea băii metalice, pentru

$$x \in [-b; b] \quad ; \quad y \in [-\tau; \tau] \quad ; \quad s \in [0; h] \quad ; \quad (2.37)$$

se obține valoarea forței electromagnetice rezultată

$$F_{\text{em,med}} = \iiint_{b-\tau_0}^{b+\tau+h} F_{\text{em}} dx dy ds , \quad ; \quad (2.38)$$

elementul de volum fiind $dV = dx dy ds$.

Desvoltind cele trei integrale parțiale

$$J_I = \int_{-b}^b dx = 2b \quad ; \quad (2.39)$$

$$J_{II} = \int_{-\tau}^{\tau} \sin^2 \left(\frac{\pi}{\tau} y - \omega_1 t \right) dy = \tau \quad ; \quad (2.40)$$

$$J_{III} = \int_0^h \left(1 - 2 \frac{\pi}{\tau} s \right) ds = \frac{\tau}{2\pi} \left(1 - e^{-2 \frac{\pi}{\tau} h} \right) \quad ; \quad (2.41)$$

se obține

$$F_{\text{em,med}} = \frac{2 \mu k_0^2 \tau}{\pi} H_{\max}^2 \cdot -2 \frac{\pi}{\tau} \Delta J_I J_{II} J_{III} \quad ; \quad (2.42)$$

respectiv

$$F_{\text{em,med}} = \frac{2 \mu k_0^2 \tau^3 b}{\pi^2} H_{\max}^2 \cdot -2 \frac{\pi}{\tau} \Delta \left(1 - e^{-2 \frac{\pi}{\tau} h} \right), N. \quad (2.43)$$

Efectuând integrala forței (2.36) după direcțiile ox și oy
se obține variația forței electromagnetice specifică cu mărimea

întrefierului Δ , necesită să e forță tangențială ce se exercează asupra băii metalice la suprafața sa de fund ($z = 0$):

$$F'_{\text{emy}_{\text{med}}} = \iint_{-b}^b f_{\text{emy}} dx dy = \frac{F_{\text{emy}_{\text{med}}}}{ds} \quad (2.44)$$

$$F'_{\text{emy}_{\text{med}}} = \frac{4 \mu k_s^2 \tau^2 b}{\pi} H_{\max}^2 \cdot -2 \frac{\pi}{\tau} \Delta \cdot N/m \quad (2.45)$$

2.3. Distribuția cimpului electromagnetic în întrefier și baia metalică în cazul agitatorului liniar.

Cimpul electromagnetic în baia metalică este definit de sistemul complet de ecuații (2.1) ... (2.6), luindu-se astfel în considerare modificarea cimpului magnetic sub influența curanților induși în baie.

a. Intensitatea cimpului magnetic.

În întrefierul Δ vor fi verificate ecuațiile (2.12), (2.13), intensitatea cimpului magnetic fiind dată de expresiile (2.21), (2.22), pentru $z \in [-\Delta, 0]$.

Pentru determinarea intensității cimpului magnetic în baie se pleacă de la ecuația (2.1), calculând vectorul

$$\text{rot rot } \bar{H} = \text{rot } \bar{J}$$

și se obține succesiiv, având în vedere (2.2), (2.3), (2.5) și (2.6):

$$\begin{aligned} -\Delta \bar{H} + \text{grad div } \bar{H} &= \text{rot } \left\{ \sigma \left[\bar{E} + (\bar{v} \times \bar{B}) \right] \right\}, \\ -\Delta \bar{H} &= \sigma \left[\text{rot } \bar{E} - \text{rot } (\bar{B} \times \bar{v}) \right], \\ \Delta \bar{H} &= \mu \sigma \left[\frac{\partial \bar{H}}{\partial t} + \text{rot } (\bar{H} \times \bar{v}) \right]. \end{aligned} \quad (2.46)$$

Produsul vectorial are expresia

$$\bar{H} \times \bar{v} = \begin{vmatrix} \bar{i} & \bar{j} & \bar{k} \\ 0 & H_y & H_z \\ 0 & v_y & 0 \end{vmatrix} = -\bar{i} H_z v_y ,$$

astfel că rotorul va fi

$$\text{rot}(\bar{H} \times \bar{v}) = \begin{vmatrix} \bar{i} & \bar{j} & \bar{k} \\ \frac{\partial}{\partial x} & \frac{\partial}{\partial y} & \frac{\partial}{\partial z} \\ -H_z v_y & 0 & 0 \end{vmatrix} = -\bar{j} \frac{\partial(H_z v_y)}{\partial z} + \bar{k} \frac{\partial(H_z v_y)}{\partial y} .$$

Ecuția vectorială (2.46) este echivalentă cu ecuațiile scalare

$$\frac{\partial^2 H_x}{\partial y^2} + \frac{\partial^2 H_x}{\partial z^2} = \mu_0 \left[\frac{\partial H_x}{\partial t} - \frac{\partial(H_z v_y)}{\partial z} \right] ; \quad (2.47)$$

$$\frac{\partial^2 H_z}{\partial y^2} + \frac{\partial^2 H_z}{\partial z^2} = \mu_0 \left[\frac{\partial H_z}{\partial t} - \frac{\partial(H_x v_y)}{\partial y} \right] . \quad (2.48)$$

Componența H_z se poate determina prin rezolvarea ecuației (2.48), după care, prin dezvoltarea expresiei (2.3) se determină și componența H_x .

Ecuțiile menționate se rezolvă mai ușor în complex. Intensitatea cimpului magnetic la suprafața de patrundere în baie se obține din (2.22), făcind $z = 0$:

$$H_{so} = -\hat{H}_{so} \sin\left(\frac{\pi}{\tau} y - \omega_1 t\right); \quad (2.49)$$

în care s-a introdus (2.23).

În complex

$$H_{so} = -\hat{H}_{so} \cdot j\left(\frac{\pi}{\tau} y - \omega_1 t\right) . \quad (2.50)$$

Derivatele în raport cu y și t ce intervin în ecuația (2.85) se vor înlocui cu mărimele cunoscute $\partial/\partial y \rightarrow j\pi/\tau$; $\partial^2/\partial y^2 \rightarrow$

$-(\pi/\tau)^2$, $\partial/\partial t \rightarrow j\omega_1$, ecuația (2.48) devine:

$$\frac{\partial^2 \underline{H}_B}{\partial z^2} - \left[(\frac{\pi}{\tau})^2 + j\mu\sigma (\frac{\pi}{\tau} v_y - \omega_1) \right] \underline{H}_B = 0 . \quad (2.51)$$

Avind în vedere (2.32),

$$\frac{\pi}{\tau} v_y - \omega_1 = -\omega_1 =$$

Se introduce mărimea (simbolul "l" - liniar):

$$(\gamma_l)^2 = (\frac{\pi}{\tau})^2 - j\omega_1\mu\sigma = , \quad (2.52)$$

$$\gamma_l = \sqrt{(\frac{\pi}{\tau})^2 - j\omega_1\mu\sigma} = n_1 - jn_2 , \quad (2.52)$$

în care

$$n_1 = \sqrt{\frac{(\frac{\pi}{\tau})^2}{2} + \frac{1}{2} \sqrt{(\frac{\pi}{\tau})^4 + 4k_B^4}} \quad ; \quad (2.53)$$

$$n_2 = \sqrt{-\frac{(\frac{\pi}{\tau})^2}{2} + \frac{1}{2} \sqrt{(\frac{\pi}{\tau})^4 + 4k_B^4}} \quad ; \quad (2.54)$$

Ecuația (2.51) devine

$$\frac{\partial^2 \underline{H}_B}{\partial z^2} - \gamma_l \underline{H}_B = 0 \quad ; \quad (2.55)$$

cu soluția generală /2/

$$\underline{H}_B = A e^{j\gamma_l z} + B e^{-j\gamma_l z} \quad ; \quad (2.56)$$

Pentru determinarea constantelor A și B se impune următoarele condiții pe frontiera

- pentru $z = 0$, intensitatea cimpului magnetic în baza are valoarea dată \underline{H}_{B0} (2.50):

$$\underline{H}_B \Big|_{z=0} = \underline{H}_{B0} \quad ;$$

- pentru $z = h$, intensitatea cimpului magnetic este nulă, deci

$$\underline{H}_z \Big|_{z=h} = 0.$$

Se constată în baia metalică o înălțime $h < h_m$, dar suficient de mare pentru ca intensitatea cimpului magnetic să devină practic nulă.

Din aceste condiții se obține sistemul de ecuații

$$\begin{aligned} \underline{A} + \underline{B} &= \underline{H}_{so} \\ A_0 \frac{\gamma_e h}{2} + B_0 e^{\frac{-\gamma_e h}{2}} &= 0 \end{aligned} \quad ; \quad (2.57)$$

a căruia soluție este

$$\begin{aligned} \underline{A} &= -\frac{\underline{H}_{so}}{2} \cdot \frac{e^{\frac{-\gamma_e h}{2}}}{\sin(\frac{\gamma_e h}{2})} \\ \underline{B} &= \frac{\underline{H}_{so}}{2} \cdot \frac{e^{\frac{-\gamma_e h}{2}}}{\sin(\frac{\gamma_e h}{2})} \end{aligned} \quad ; \quad (2.58)$$

Constantele \underline{A} și \underline{B} determinate, intensitatea cimpului magnetic în baia metalică este

$$\underline{H}_z = \frac{\underline{H}_{so}}{\sin(\frac{\gamma_e h}{2})} \sin[\frac{\gamma_e(h-s)}{2}] \quad ; \quad (2.59)$$

Pentru determinarea componentei \underline{H}_y se introduce (2.59) în expresia divergenței cimpului magnetic (2.3); se obține succesiv:

$$\frac{\partial \underline{H}_y}{\partial y} + \frac{\partial \underline{H}_z}{\partial s} = 0$$

$$\partial \underline{H}_y = - \frac{\partial \underline{H}_z}{\partial s} \cdot \partial y$$

$$d\underline{H}_y = \frac{\underline{H}_{so} \gamma_e}{\sin(\frac{\gamma_e h}{2})} \cdot \sin[\frac{\gamma_e(h-s)}{2}] dy$$

$$\underline{H}_y = - \frac{2}{\pi} \frac{\underline{H}_{so} \gamma_e}{\sin(\frac{\gamma_e h}{2})} \sin[\frac{\gamma_e(h-s)}{2}] \quad ; \quad (2.60)$$

Atenuarea amplitudinii componentei complexe H_s în baia metalică este dată de raportul

$$\frac{H_s}{H_{se}} = \frac{\sin [\gamma_\ell(h-s)]}{\sin (\gamma_\ell h)} . \quad (2.61)$$

Desvoltind funcțiile hiperbolice și având în vedere proprietățea

$$\left| \frac{a}{b} \right| = \sqrt{\frac{a \cdot a^*}{b \cdot b^*}}$$

se obține în final

$$\frac{\hat{H}_s}{\hat{H}_{se}} = \sqrt{\frac{\sin 2m_1(h-s) - \cos 2m_2(h-s)}{\sin 2m_1 h - \cos 2m_2 h}} . \quad (2.62)$$

Astfel, componenta H_s a intensității cimpului magnetic în baia metalică are expresia

$$H_s = -H_{max} \cdot e^{-\frac{\pi}{\tau} \Delta} \sqrt{\frac{\sin 2m_1(h-s) - \cos 2m_2(h-s)}{\sin 2m_1 h - \cos 2m_2 h}} \cdot \sin \left(\frac{\pi}{\tau} y - \omega_1 t \right) . \quad (2.63)$$

Având intensitatea cimpului magnetic, din (2.5) se poate exprima inducția magnetică.

b. Intensitatea cimpului electric.

Distribuția intensității cimpului electric în baia metalică se determină cu ajutorul relației (2.2), exprimată în complex. Se obțin ecuațiile (2.25) și (2.26) care devin

$$\frac{\partial E_x}{\partial y} = -j \omega_1 \mu \frac{H_{se}}{\sin (\gamma_\ell h)} \sin [\gamma_\ell(h-s)]$$

$$\frac{\partial E_x}{\partial s} = \frac{\omega_1 \mu \tau}{\pi} \frac{H_{se} \cdot \gamma_\ell}{\sin (\gamma_\ell h)} \sin [\gamma_\ell(h-s)]$$

Razolvarea acestor două ecuații conduce la soluțiile

$$\underline{E}_x = - \frac{\omega_1 \mu \tau}{\pi} \frac{\underline{H}_{z0}}{\operatorname{sh}(\underline{Y}_l h)} \operatorname{sh} [\underline{Y}_l (h-z)] + \underline{F}(z) \cdot$$

respectiv

$$\underline{E}_x = - \frac{\omega_1 \mu \tau}{\pi} \frac{\underline{H}_{z0}}{\operatorname{sh}(\underline{Y}_l h)} \operatorname{sh} [\underline{Y}_l (h-z)] + \underline{G}(y) \cdot$$

Prin identificarea celor două expresii pentru \underline{E}_x rezultă $\underline{F}(z) = \underline{G}(y) = 0$.

Având în vedere (2.59), se obține astfel pentru intensitatea cimpului electric în baza o expresie similară cu (2.28)

$$\underline{E}_x = - \frac{\omega_1 \mu \tau}{\pi} \underline{H}_s \quad \cdot \quad (2.64)$$

valabilă și în cazul în care mărimele sunt reale, prin revenirea de la scrierea în complex.

c. Densitatea curentilor induși.

Densitatea de curent \underline{J} a curentilor turbulenți induși în baza metalică se determină în mod similar ipotezei de calcul prezentate anterior (§ 2.2, d), astfel că, având în vedere (2.64), se obține

$$\underline{J}_x = - \frac{2 \mu^2 \tau}{\pi} \underline{H}_s \quad \cdot \quad (2.65)$$

egalitate valabilă și în cazul mărimilor reale.

d. Foță electromagnetică.

Introducind în expresia densității de volum a forței electromagnetice (2.55), intensitatea cimpului magnetic (2.63) și densitatea de curent (2.65), se obține

$$f_{\text{emg}} = \frac{4 \mu \mu^2 \tau}{\pi} H_{\max} \frac{2}{\operatorname{sh} 2m_1 h - \cos 2m_2 h} \left[\operatorname{sh} 2m_1 (h-z) - \cos 2m_2 (h-z) \right] \cdot \\ \cdot \sin^2 \left(\frac{\pi}{\tau} y - \omega_1 t \right), \text{ N/m}^3 \quad (2.66)$$

Efectuind integralea (2.38) și având în vedere integrala

$$J_{III} = \int_0^h [\sin 2m_1(h-z) - \cos 2m_2(h-z)] dz = \\ = \frac{1}{2} \left(\frac{1}{m_1} \sin 2m_1 h - \frac{1}{m_2} \sin 2m_2 h \right), \quad (2.67)$$

se obține forța electromagnetică rezultantă

$$F_{\text{emg med}} = \frac{2 \mu_0^2 \tau^2 b}{\pi} H_{\max}^2 \cdot 2 \frac{\pi}{\tau} \Delta \frac{\frac{1}{m_1} \sin 2m_1 h - \frac{1}{m_2} \sin 2m_2 h}{\sin 2m_1 h - \cos 2m_2 h}, \quad (2.68)$$

2.4. Determinarea aproximativă a cimpului electromagnetic în cazul agitatorului cilindric.

Determinarea aproximativă a cimpului electromagnetic în cazul agitatorului cilindric se face în aceeași ipoteză de calcul simplificatoare de la agitatorul liniar (§ 2.2). Mărurile menționate se consideră orientate conform celor expuse în § 2.1.

a. Intensitatea cimpului magnetic.

În ipotezele făcute, intensitatea cimpului magnetic verifică ecuațiile (2.24) și (2.25) atât în întregier cât și în baia metalică. Potențialul magnetic scalar ϕ_m se determină acest cimp satisfacând ecuația lui Laplace (2.27).

Condițiile pe frontieră impuse cimpului magnetic sunt

- intensitatea cimpului magnetic la suprafața agitatorului inductiv (componenta H_z) este egală cu valoarea rezultată din pătură de curent (2.11), (2.29);
- originea sistemului de referință se alege în centrul de simetrie al cimpului magnetic, axa Ox fiind axă de simetrie, astfel că intensitatea cimpului magnetic are aceeași valoare pe cele două suprafete laterale ($-h_1/2$; $h_1/2$); axa verticală Oz este axa geometrică a sistemului cilindric baie metalică - agitator inductiv;
- intensitatea cimpului magnetic în axa verticală a băii

are o valoare finită (fie ea nulă, pentru componenta radială H_r)

Cum cîmpul magnetic este un cîmp plan-meridian înseamnă că potențialul acestui cîmp va fi de formă $\varphi_m = \varphi_m(r, s)$, ecuația (2.15) devenind în coordonate cilindrice

$$\frac{\partial^2 \varphi_m}{\partial r^2} + \frac{1}{r} \frac{\partial \varphi_m}{\partial r} + \frac{\partial^2 \varphi_m}{\partial s^2} = 0 \quad (2.69)$$

Resolvarea acestei ecuații prin metoda separării variabilelor conduce la soluția /2; 71/

$$\begin{aligned} \varphi_m(r, s) &= (k_1 \cos \alpha s + k_2 \sin \alpha s) \cdot \\ &\cdot [k_3 J_0(j \alpha r) + k_4 Y_0(j \alpha r)] \end{aligned} \quad (2.70)$$

în care $J_0(j \alpha r)$, $Y_0(j \alpha r)$ sunt funcțiile Bessel (de spăță întîi), respectiv Neumann (de spăță a doua) de ordinul zero, de argument pur imaginär $j \alpha r$.

Avind în vedere condiția referitoare la valoarea finită (fie ea nulă) a cîmpului magnetic pentru $r \rightarrow \infty$ și la valorile egale ale intensității cîmpului magnetic pe suprafețele laterale ale băii metalice (pentru $s = -h_1/2$, respectiv $s = h_1/2$), soluția (2.70) devine

$$\varphi_m(r, s) = k \sin \alpha s \cdot J_0(j \alpha r) \quad (2.71)$$

unde s-a notat $k = k_2 \cdot k_3$

Pentru ca să fie verificată și condiția pe frontieră la suprafața agitatorului inductiv (relația 2.17 pentru $H_{ss} \sim A$), cu (2.11) și (2.14) și avind în vedere formulele de recurență /2/:

$$I_0(j \alpha r) = I_0(\alpha r) ; I_0'(\alpha r) = \alpha I_1(\alpha r) \quad (2.72)$$

soluția (2.71) conduce la expresiile componentelor intensității cîmpului magnetic, respectiv

$$H_r = H_{max} \frac{I_1\left(\frac{\pi}{\tau} r\right)}{I_0\left(\frac{\pi}{\tau} r_1\right)} \sin\left(\frac{\pi}{\tau} s - \omega_1 t\right) \quad (2.73)$$

$$H_z = H_{\max} \frac{I_0 \left(\frac{\pi}{\tau} r \right)}{I_0 \left(\frac{\pi}{\tau} r_1 \right)} \cos \left(\frac{\pi}{\tau} s - \omega_1 t \right) , \quad (2.74)$$

regăsind unele expresii cunoscute /78/.

Amplitudinile componentelor cimpului magnetic se atenuează în intrefierul Δ la valorile ($r = r_m = r_1 - \Delta$)

$$\hat{H}_{r_m} = H_{\max} \frac{I_1 \left(\frac{\pi}{\tau} r_m \right)}{I_0 \left(\frac{\pi}{\tau} r_1 \right)} = \hat{H}_{r_1} \frac{I_1 \left(\frac{\pi}{\tau} r_m \right)}{I_1 \left(\frac{\pi}{\tau} r_1 \right)} \quad ; \quad (2.75)$$

$$\hat{H}_{z_m} = z_{\max} \frac{I_0 \left(\frac{\pi}{\tau} r_m \right)}{I_0 \left(\frac{\pi}{\tau} r_1 \right)} \quad ; \quad (2.76)$$

Atenuarea în baia metalică, în raport cu (2.75), (2.76) este

$$\frac{\hat{H}_x}{\hat{H}_{r_m}} = \frac{I_1 \left(\frac{\pi}{\tau} r \right)}{I_1 \left(\frac{\pi}{\tau} r_m \right)} \quad ; \quad (2.77)$$

$$\frac{\hat{H}_z}{\hat{H}_{z_m}} = \frac{I_0 \left(\frac{\pi}{\tau} r \right)}{I_0 \left(\frac{\pi}{\tau} r_m \right)} \quad ; \quad (2.78)$$

Ajungând intensitatea cimpului magnetic, din (2.5) se poate exprima inducția magnetică.

b. Intensitatea cimpului electric.

Distribuția intensității cimpului electric în intrefier și baia metalică se determină din sistemul ecuațiilor (2.2) - (2.4). Desvoltând rot \vec{E} în coordonate cilindricice

$$\text{rot } \vec{E} = \begin{vmatrix} \vec{e}_r & \vec{e}_\varphi & \vec{e}_z \\ \frac{\partial}{\partial r} & \frac{\partial}{\partial \varphi} & \frac{\partial}{\partial z} \\ 0 & r \vec{e}_\varphi & 0 \end{vmatrix} = - \vec{e}_r \frac{\partial E_\varphi}{\partial z} + \vec{e}_z \left(\frac{E_\varphi}{r} + \frac{\partial E_\varphi}{\partial r} \right) ,$$

se obține

$$-\bar{e}_x \frac{\partial E_\phi}{\partial z} + \bar{e}_z (\frac{E_\phi}{r} + \frac{\partial E_\phi}{\partial r}) = -\bar{e}_x \frac{\partial B_z}{\partial t} - \bar{e}_z \frac{\partial B_x}{\partial t},$$

ecuație vectorială echivalentă cu ecuațiile scalare

$$\frac{\partial E_\phi}{\partial z} = \frac{\partial B_z}{\partial t}; \quad (2.79)$$

$$\frac{E_\phi}{r} + \frac{\partial E_\phi}{\partial r} = -\frac{\partial B_x}{\partial t}. \quad (2.80)$$

Introducind derivata inductiei magnetice în (2.79) se obtine

$$\frac{\partial E_\phi}{\partial z} = -\omega_1 B_{max} \frac{I_1(\frac{\pi}{\tau} r)}{I_0(\frac{\pi}{\tau} r_1)} \cos(\frac{\pi}{\tau} z - \omega_1 t),$$

de unde, prin integrare rezultă

$$E_\phi = -\omega_1 \frac{\tau}{\pi} B_{max} \frac{I_1(\frac{\pi}{\tau} r)}{I_0(\frac{\pi}{\tau} r)} \sin(\frac{\pi}{\tau} z - \omega_1 t) + F(r).$$

Pentru determinarea constantei de integrare $F(r)$ se pune condiția ca E_ϕ să verifice ecuația (2.80).

Formula de recurență pentru funcția Bessel / 2 /

$$z \frac{d}{dz} I_v(z) = -v I_{v-1}(z) + z I_{v+1}(z), \quad (2.81)$$

devine

$$\frac{\pi}{\tau} r \frac{d}{dr} I_1(\frac{\pi}{\tau} r) = -I_1(\frac{\pi}{\tau} r) + \frac{\pi}{\tau} r I_0(\frac{\pi}{\tau} r),$$

$$\frac{d}{dr} I_1(\frac{\pi}{\tau} r) = -\frac{1}{r} I_1(\frac{\pi}{\tau} r) + \frac{\pi}{\tau} I_0(\frac{\pi}{\tau} r). \quad (2.82)$$

Efectuind înlocuirea menționată rezultă ea necesară condiția $F(r) = 0$.

Astfel, intensitatea cimpului electric este

$$E_\varphi = -\omega_1 \frac{\tau}{\pi} B_{\max} \frac{I_1 (\frac{\pi}{\tau} r)}{I_0 (\frac{\pi}{\tau} r_1)} \sin \left(\frac{\pi}{\tau} z - \omega_1 t \right) . \quad (2.83)$$

Lăsând în considerare (2.73) se obține

$$E_\varphi = -\frac{\omega_1 \mu \tau}{\pi} H_x . \quad (2.84)$$

c. Densitatea curentilor induși

Densitatea de curent \bar{J} a curentilor turbionari induși în baia metalică se determină din (2.6) cu (2.84) având succesiv

$$\bar{v} \times \bar{B} = \begin{vmatrix} \bar{e}_x & \bar{e}_\varphi & \bar{e}_z \\ 0 & 0 & v_z \\ B_x & 0 & B_z \end{vmatrix} = \bar{e}_\varphi v_z B_x$$

$$\bar{J} = \sigma (\bar{e}_\varphi E_\varphi + \bar{e}_\varphi v_z B_x) = \bar{e}_\varphi \sigma (E_\varphi + v_z B_x) ;$$

$$J_\varphi = \sigma (E_\varphi + v_z B_x) = \sigma \left(-\frac{\omega_1 \mu \tau}{\pi} H_x + v_z H_x \right) =$$

$$= -\mu \sigma \left(\frac{\omega_1 \tau}{\pi} - v_z \right) H_x ;$$

$$J_\varphi = -\frac{2 k_s^2 \tau}{\pi} H_x . \quad (2.85)$$

În relația (2.85) s-a introdus constanta k_s dată de (2.30), în care, "alunecarea" s-a expresat

$$s = \frac{v_1 - v_2}{v_1} = \frac{\pi}{\tau \omega_1} \left(\frac{\tau \omega_1}{\pi} - v_z \right) . \quad (2.86)$$

d. sorță electrocINETICĂ

Densitatea de volum a forței electromagnetice ce se exercită asupra băii metalice are componentele date de produsul vectorial

$\vec{J} \times \vec{B}$, astfel că se obține

$$f_{em} = \begin{vmatrix} \vec{a}_x & \vec{a}_\varphi & \vec{a}_z \\ 0 & J_\varphi & 0 \\ B_x & 0 & B_z \end{vmatrix} = \vec{a}_x J_\varphi B_z + \vec{a}_z (-J_\varphi B_x) \quad . \quad (2.87)$$

Componenta după direcția a_z , dirijată tangențial la suprafața de pătrundere a cimpului electromagnetic în baia metalică, denumită "forță motoare" este

$$f_{em_3} = - J_\varphi B_x \quad . \quad (2.88)$$

Cu (2.87), aceasta forță este

$$f_{em_3} = \frac{2\mu k^2 \tau}{\pi} R_x^2 \quad . \quad (2.89)$$

Introducind în expresia (2.89) intensitatea cimpului magnetic (2.73) se obține variația densității de volum a forței electromagnetice "motoare" în baia metalică

$$f_{em_3} = \frac{2\mu k^2 \tau}{\pi} R_{max}^2 \left[\frac{I_1(\frac{\pi}{\tau} s)}{I_0(\frac{\pi}{\tau} s_1)} \right] \sin^2 (\frac{\pi}{\tau} s - \omega_1 t), \text{ N/m}^3 \quad . \quad (2.90)$$

Integrind pe volumul V din baia metalică, aflat în interiorul agitatorului de înălțime $h_1 = 2\tau$, pentru

$$x \in [0, r_m], \varphi \in [0, 2\pi], s \in [-\tau, \tau] \quad . \quad (2.91)$$

valoarea forței electromagnetice rezultante

$$F_{em_{total}} = \int_0^{r_m} \int_0^{2\pi} \int_{-\tau}^{\tau} f_{em_3} x \, dx \, d\varphi \, ds \quad . \quad (2.92)$$

elemental de volum în coordinate cilindrice fiind $dv = x \, dr \, d\varphi \, ds$.

Desvoltând cele trei integrale parțiale

$$J_1 = \int_0^{r_m} x I_1^2 \left(\frac{\pi}{\tau} s \right) \, dr \quad . \quad (2.93)$$

$$J_{II} = \int_0^{2\pi} d\varphi = 2\pi \quad , \quad (2.94)$$

$$J_{III} = \int_{-\tau}^{\tau} \sin^2 \left(\frac{\pi}{\tau} s - \omega_1 t \right) ds = \tau \quad , \quad (2.95)$$

se obtine

$$P_{em,med} = \frac{2 \mu k_1^2 \tau}{\pi} H_{max}^2 \cdot \frac{1}{r_0^2 \left(\frac{\pi}{\tau} r_1 \right)} J_I J_{II} J_{III} \quad , \quad (2.96)$$

Integrala J_I este de tip Lommel; formula de recurență ce permite efectuarea integralei, prezentată în / 2, 20/ este

$$\int_0^z z [J_\nu(kz)]^2 dz = \frac{1}{2} z^2 \left\{ [J'_2(kz)]^2 + \left[1 - \frac{\nu^2}{(kz)^2} \right] [J_\nu(kz)]^2 \right\} \quad , \quad (2.97)$$

în care

$$J'_\nu(kz) = - \frac{\nu}{kz} J_\nu(kz) + J_{\nu-1}(kz) \quad .$$

folosind formula de definiție a funcției Bessel de prima specie modificată (2.72):

$$I_\nu(z) = j^{-\nu} J(jz) \quad .$$

venea avea succesiiv

$$\begin{aligned} J_I &= \int_0^{r_m} r r_1^2 \left(\frac{\pi}{\tau} r \right) dr = \int_0^{r_m} r \left[- j J_1 \left(j \frac{\pi}{\tau} r \right) \right]^2 dr = \\ &= - \int_0^{r_m} r J_1^2 \left(j \frac{\pi}{\tau} r \right) dr \quad ; \\ \int_0^{r_m} r J_1^2 \left(j \frac{\pi}{\tau} r \right) dr &= \frac{1}{2} r_m^2 \left\{ [J'_2 \left(j \frac{\pi}{\tau} r_m \right)]^2 + \right. \\ &\quad \left. + \left[1 - \frac{1}{(j \frac{\pi}{\tau} r_m)^2} \right] \cdot J_1^2 \left(j \frac{\pi}{\tau} r_m \right) \right\} \quad . \end{aligned}$$

$$\begin{aligned}
 &= \frac{1}{2} r_n^2 \left[- \frac{2J_0(\frac{\pi}{2} r_n) \cdot J_1(\frac{\pi}{2} r_n)}{\frac{\pi}{2} r_n} + J_1^2(\frac{\pi}{2} r_n) + J_0^2(\frac{\pi}{2} r_n) \right] = \\
 &= \frac{1}{2} r_n^2 \left[- \frac{2I_0(\frac{\pi}{2} r_n) I_1(\frac{\pi}{2} r_n)}{\frac{\pi}{2} r_n} - I_1^2(\frac{\pi}{2} r_n) + I_0^2(\frac{\pi}{2} r_n) \right]. \\
 J_I &= \frac{1}{2} r_n^2 \left[\frac{2I_0(\frac{\pi}{2} r_n) I_1(\frac{\pi}{2} r_n)}{\frac{\pi}{2} r_n} + I_1^2(\frac{\pi}{2} r_n) - I_0^2(\frac{\pi}{2} r_n) \right]. \quad (2.98)
 \end{aligned}$$

Introducind valerile integralelor (2.94), (2.95) și (2.98) în expresia (2.96) se obține

$$\begin{aligned}
 F_{\text{med}} &= 2\mu k_B^2 Z^2 r_n^2 H_{\text{max}}^2 \left[\frac{I_1(\frac{\pi}{2} r_n)}{I_0(\frac{\pi}{2} r_n)} \right]^2 \cdot \\
 &\cdot \left\{ 1 + \frac{2}{\frac{\pi}{2} r_n} \cdot \frac{I_0(\frac{\pi}{2} r_n)}{I_1(\frac{\pi}{2} r_n)} - \left[\frac{I_1(\frac{\pi}{2} r_n)}{I_0(\frac{\pi}{2} r_n)} \right]^2 \right\}. \quad N \quad (2.99)
 \end{aligned}$$

Efectuând integrala forței (2.99) după direcțiile φ și z se obține variația forței electromagnetice specifică fizicii mărimii intrefierului Δ , această ca o forță tangențială ce se exercită asupra băii metalice la suprafața sa laterală ($r = r_n$):

$$F'_{\text{med}} = \int_0^{2\pi} \int_{-z}^z f_{\text{med}} r_n d\varphi dz = \frac{F_{\text{med}}}{dr} \quad (2.100)$$

$$F'_{\text{med}} = 4\mu k_B^2 Z^2 r_n H_{\text{max}}^2 \left[\frac{I_1(\frac{\pi}{2} r_n)}{I_0(\frac{\pi}{2} r_n)} \right] \cdot N/m \quad (2.101)$$

2.5. Distribuția cimpului electromagnetic în intrefier și băie metalică în cazul agitatorului cilindric.

Cimpul electromagnetic în băie metalică cilindric este

definit de sistemul complet de ecuații (2.1)...(2.6) luindu-se astfel în considerare modificarea cîmpului magnetic sub influența curentilor induși în baie.

a. Intensitatea cîmpului magnetic.

In intreierul Δ vor fi verificate ecuațiile (2.24) - (2.25), intensitatea cîmpului magnetic fiind dată de expresiile (2.73), (2.74), pentru $r \in [r_2, r_1]$.

Intensitatea cîmpului magnetic în baie se determină din ecuația (2.46).

Produsul vectorial are expresia

$$\vec{H} \times \vec{v} = \begin{vmatrix} \vec{e}_r & \vec{e}_\varphi & \vec{e}_z \\ H_r & 0 & H_z \\ 0 & 0 & v_z \end{vmatrix} = -\vec{e}_\varphi H_r v_z$$

astfel că roterul va fi

$$\text{rot}(\vec{H} \times \vec{v}) = \frac{1}{r} \begin{vmatrix} \vec{e}_r & \vec{e}_\varphi & \vec{e}_z \\ \frac{\partial}{\partial r} & \frac{\partial}{\partial \varphi} & \frac{\partial}{\partial z} \\ 0 & -rH_r v_z & 0 \end{vmatrix} =$$

$$= \vec{e}_r v_z \frac{\partial H_r}{\partial z} - \vec{e}_z \left(\frac{1}{r} v_z H_r + v_z \frac{\partial H_r}{\partial r} \right)$$

Ecuația vectorială (2.42) în coordonate cilindrice este echivalentă cu ecuațiile scalare

$$\frac{\partial^2 H_r}{\partial r^2} + \frac{1}{r} \frac{\partial H_r}{\partial r} + \frac{\partial^2 H_r}{\partial z^2} - \frac{H_r}{r} = \mu\sigma \left(\frac{\partial H_z}{\partial t} + v_z \frac{\partial H_r}{\partial z} \right) , \quad (2.102)$$

$$\frac{\partial^2 H_z}{\partial r^2} + \frac{1}{r} \frac{\partial H_z}{\partial r} + \frac{\partial^2 H_z}{\partial z^2} - \mu\sigma \left[\frac{\partial H_r}{\partial t} - v_z \left(\frac{1}{r} + \frac{\partial}{\partial r} \right) H_r \right] . \quad (2.103)$$

Componența H_z se poate determina prin rezolvarea ecuației (2.102), după care, prin dezvoltarea expresiei (2.5) se determină și componența H_r .

Ecuațiile menționate se rezolvă mai ușor în complex. Intensitatea cîmpului magnetic la suprafața de pătrundere în baie se obține din (2.73), făcind $r = r_2$:

$$H_{r_0} = \hat{H}_{r_0} \sin \left(\frac{\pi}{\tau} s - \omega_1 t \right) \quad . \quad (2.104)$$

în care s-a introdus (2.75).

În complex

$$\underline{H}_{r_0} = \hat{H}_{r_0} \cdot e^{j \left(\frac{\pi}{\tau} s - \omega_1 t \right)} \quad . \quad (2.105)$$

Derivatele în raport cu s și t ce intervin în ecuația (2.102) se vor înlocui cu mărimele cunoscute: $\partial / \partial s \rightarrow j \pi / \tau$, $\partial^2 / \partial s^2 \rightarrow - (\pi / \tau)^2$, $\partial / \partial t \rightarrow - j \omega_1$, ecuația (2.104) devenind

$$\frac{\partial^2 \underline{H}_r}{\partial r^2} + \frac{1}{r} \frac{\partial \underline{H}_r}{\partial r} + \left\{ \left[- (\frac{\pi}{\tau})^2 - j \mu \sigma \left(\frac{\pi}{\tau} v_s - \omega_1 \right) \right] + \frac{-1}{r^2} \right\} \underline{H}_r = 0 \quad . \quad (2.106)$$

Avind în vedere (2.86),

$$\frac{\pi}{\tau} v_s - \omega_1 = - \omega_1 s \quad .$$

Se introduce mărimea (simbolul "c" = cilindrie):

$$(\underline{\gamma}_c)^2 = - (\frac{\pi}{\tau})^2 + j \omega_1 \mu \sigma s = - (\underline{\gamma}_l)^2 \quad ,$$

$$\underline{\gamma}_c = j \sqrt{(\frac{\pi}{\tau})^2 - j(\omega_1 \mu \sigma s)} = \underline{m}_2 + j \underline{m}_1 \quad , \quad (2.107)$$

în care parametrii \underline{m}_1 , \underline{m}_2 au semnificațiiile (2.53), respectiv (2.54).

Ecuația (2.106) devine

$$\frac{\partial^2 \underline{H}_r}{\partial r^2} + \frac{1}{r} \frac{\partial \underline{H}_r}{\partial r} + \left(\underline{\gamma}_c + \frac{-1}{r^2} \right) \underline{H}_r = 0 \quad . \quad (2.108)$$

o ecuație diferențială de forma

$$y'' + \frac{a}{x} y' + (b x^n + \frac{c}{x^2}) y = 0 \quad , \quad (2.109)$$

ca soluția generală /2/

$$y = x^{\frac{1-a}{2}} z_v \left(\frac{-2\sqrt{b}}{n+2} x^{\frac{n+2}{2}} \right) . \quad (2.110)$$

în care

$$v = \frac{[(1-a)^2 - 4c]}{n+2} .$$

Ecuatia (2.108) are soluția generală

$$\underline{H}_r = Z_1(\underline{\gamma}_c r) = A J_1(\underline{\gamma}_c r) + B I_1(\underline{\gamma}_c r) , \quad (2.111)$$

în care $J_1(\underline{\gamma}_c r)$, $I_1(\underline{\gamma}_c r)$ sunt funcțiile Bessel, respectiv Neumann de ordinul unu, de argument complex $\underline{\gamma}_c r$.

Pentru determinarea constantelor A și B se impun următoarele condiții pe frontieră:

- pentru $r = r_m$, intensitatea cimpului magnetic în baie are valoarea H_{r_m} dată (2.105)

$$\underline{H}_r \Big|_{r=r_m} = \underline{H}_{r_m}$$

- pentru $r = 0$, intensitatea cimpului magnetic (componenta H_r) este nulă

$$\underline{H}_r \Big|_{r=0} = 0$$

Intrucît $\lim_{r \rightarrow 0} I_1(\underline{\gamma}_c r) = -\infty$ este necesar ca $B = 0$.

Din aceste condiții pe frontieră se obține

$$A = \frac{\underline{H}_{r_m}}{J_1(\underline{\gamma}_c r_m)}$$

Constantele A și B determinate, intensitatea cimpului magnetic în baie metalică este

$$\underline{H}_r = \underline{H}_{r_m} \frac{J_1(\underline{\gamma}_c r)}{J_1(\underline{\gamma}_c r_m)} . \quad (2.112)$$

Funcția Bessel de speță întâi, ordinul unu cu argument

complex se poate scrie ca sumă a doi termeni, unul real și celălalt imaginar

$$J_1(\rho r e^{j\varphi}) = U_1(\rho r, \varphi) + j V_1(\rho r, \varphi) \quad , \quad (2.113)$$

unde

$$\rho = |\underline{Y}_c| = \sqrt{m_1^2 + m_2^2} \quad ; \quad (2.114)$$

$$\varphi = \operatorname{arc} \operatorname{tg} \frac{m_1}{m_2} \quad . \quad (2.115)$$

Valorile celor doi termeni U_1 și V_1 sunt tabelate în /90/.

Componența \underline{H}_x se determină prin introducerea (2.112) în expresia divergenței cimpului magnetic (2.3); se obține succesiv:

$$\frac{1}{r} \frac{\partial}{\partial r} (r \underline{H}_r) + \frac{\partial \underline{H}_z}{\partial z} = 0 \quad .$$

$$r \frac{\partial \underline{H}_r}{\partial r} + \underline{H}_r = -j \frac{\pi}{\tau} r \underline{H}_z \quad .$$

Cu formulele de derivare și recurență ale funcțiilor Bessel /2/

$$\frac{d J_\nu (ks)}{ds} = k \frac{d J_\nu (ks)}{d(ks)} = k J'_\nu (ks) \quad ;$$

$$J'_\nu (ks) = - \frac{1}{k} J_{\nu-1}(ks) \quad , \quad (2.116)$$

rezultă

$$\underline{H}_z = j \frac{\tau}{\pi} \cdot \frac{\underline{H}_r \cdot \underline{Y}_c}{J_1(\underline{Y}_c r_m)} \cdot J_0(\underline{Y}_c r) \quad (2.117)$$

Asternarea amplitudinii componentei complexe \underline{H}_r în baza metalică este dată de raportul

$$\frac{\hat{\underline{H}}_r}{\underline{H}_{r_m}} = \frac{J_1(\underline{Y}_c r)}{J_1(\underline{Y}_c r_m)} \quad . \quad (2.118)$$

Desvoltând funcțiile Bessel (2.113) se obține

$$\frac{\hat{H}_r}{\hat{H}_{r_m}} = \sqrt{\frac{U_1^2(\rho r, \varphi) + V_1^2(\rho r, \varphi)}{U_1^2(\rho r_m, \varphi) + V_1^2(\rho r_m, \varphi)}} \quad . \quad (2.119)$$

Astfel, variația componentei H_r a intensității cimpului magnetic în baia metalică are forma instantaneă

$$H_r = H_{\max} \frac{J_1\left(\frac{\pi}{\tau} r_m\right)}{J_0\left(\frac{\pi}{\tau} r_1\right)} \quad .$$

$$\cdot \sqrt{\frac{U_1^2(\rho r, \varphi) + V_1^2(\rho r, \varphi)}{U_1^2(\rho r_m, \varphi) + V_1^2(\rho r_m, \varphi)}} \sin\left(\frac{\pi}{\tau} z - \omega_1 t\right) \quad . \quad (2.120)$$

Având intensitatea cimpului magnetic, din (2.5) se poate exprima inducția magnetică.

b. Intensitatea cimpului electric.

Distribuția intensității cimpului electric în baia metalică se determină cu ajutorul relației (2.2), exprimată în complex. Se obțin ecuațiile (2.79) și (2.80) care, devin

$$\frac{\partial \underline{E}_\varphi}{\partial z} = -j\omega_1 \mu \underline{H}_{r_m} \frac{J_1(\gamma_c r)}{J_1(\gamma_c r_m)} \quad ;$$

$$\frac{\underline{E}_\varphi}{r} + \frac{\partial \underline{E}_\varphi}{\partial r} = -\frac{\omega_1 \mu \tau}{\pi} \frac{\underline{H}_{r_m} J_c}{J_1(\gamma_c r_m)} J_0(\gamma_c r) \quad .$$

Din prima ecuație se obține, ținând cont de (2.105) și (2.118)

$$\underline{E}_\varphi = -\frac{\omega_1 \mu \tau}{\pi} \underline{H}_{r_m} \frac{J_1(\gamma_c r)}{J_1(\gamma_c r_m)} + \underline{P}(r) \quad .$$

$$\underline{E}_\varphi = -\frac{\omega_1 \mu \tau}{\pi} \underline{H}_r + \underline{P}(r) \quad .$$

Pentru determinarea constantei de integrare $\underline{P}(r)$ se pune condiția ca \underline{E}_φ să verifice a două ecuație.

Ca formulile de derivare și recurrentă ale funcțiilor Bessel (2.116) . . . , se obține după simplificări

$$\frac{\underline{P}(r)}{r} + \frac{\partial \underline{P}(r)}{\partial r} = 0,$$

care admite și soluția banală $\underline{P}(r) = 0$.

Astfel, intensitatea cimpului electric este

$$\underline{E}_\varphi = - \frac{\omega_1 \mu \tau}{\pi} \underline{H}_r, \quad (2.121)$$

valabilă și în cazul în care mărimele sunt reale, prin revenirea de la serierea în complex.

c. Densitatea curentelor induși.

Densitatea de curent \underline{J} a curentilor turbionari induși în baia metalică cilindrică se determină în mod similar ipotezei de calcul presentate anterior (§ 2.4, d), astfel că, având în vedere (2.121), se obține

$$\underline{J}_\varphi = - \frac{2 \mu k^2 \tau}{\pi} \underline{H}_r, \quad (2.122)$$

egalitate valabilă și în cazul mărimeilor reale.

d. Forța electromagnetică.

Introducind în expresia densității de volum a forței electromagnetice (2.88) intensitatea cimpului magnetic (2.120) și densitatea de curent (2.122), se obține

$$f_{em} = \frac{2 \mu k^2 \tau}{\pi} H_{max}^2 \left[\frac{I_1 \left(\frac{\pi}{\tau} r_1 \right)}{I_0 \left(\frac{\pi}{\tau} r_1 \right)} \right]^2.$$

$$\cdot \frac{v_1^2 (\rho r, \varphi) + v_1^2 (\rho r, \varphi)}{v_1^2 (\rho r_m, \varphi) + v_1^2 (\rho r_m, \varphi)} \sin^2 \left(\frac{\pi}{\tau} z - \omega_1 t \right), \text{N/m}^3. \quad (2.123)$$

Efectuind integrala (2.92) și având în vedere (2.94) și (2.95) se obține forță electromagnetică resultantă

$$F_{\text{mag,med}} = 4 \mu_0^2 \tau^2 H_{\text{max}}^2 \frac{I_1(\frac{\pi}{\tau} r_m)}{I_0(\frac{\pi}{\tau} r_1)} \cdot \frac{1}{U_1^2(\rho r_m, \varphi) + V_1^2(\rho r_m, \varphi)} \cdot \\ \cdot \int_0^{r_m} r [U_1^2(\rho r, \varphi) + V_1^2(\rho r, \varphi)] dr , \quad (2.124)$$

Pentru efectuarea integralei se va recurge la metode numerice de integrare, utilizând, de exemplu, formula trapezelor /2/:

$$\int_a^b f(x) dx = h (\frac{1}{2} y_0 + y_1 + y_2 + \dots + y_{n-1} + \frac{1}{2} y_n) + R_1 , \quad (2.125)$$

în care intervalul $[a, b]$ s-a împărțit în n intervale parțiale de lungime h ; y este valoarea funcției în punctele de separație a intervalelor parțiale $f(a) = y_0$; $f(a+h) = y_1$; ...; $f(a+nh) = f(b) = y_n$; R_1 este eroarea metodei.

C A P. 3. ANALIZA REZULTATELOR TEORETICE SI ELEMENTE DE CALCUL A AGITATOARELOR INDUCTIVE.

In cele ce urmeaza se vor analiza expresiile obtinute in Cap. 2 pentru mărimele cimpului electromagnetic care interesează în special, respectiv intensitatea cimpului magnetic și forța electromagnetică, motoare în legătură cu stabilirea unor elemente de calcul necesare dimensionirii agitatoarelor inductive.

3.1. Agitatoare inductive liniare.

a. Intensitatea cimpului magnetic.

Intrucât componenta intensității cimpului magnetic orientată după direcția axei OZ, perpendicular pe suprafața de fund a băii metalice, H_s este cea care contribuie la apariția forței electromagnetice "motoare", ne vom opri atenția asupra acesteia.

Expresia (2.22), dedusă în ipoteza simplificare a neglijării reacțiilor curentilor induși în baie, prezintă o formă simplă, accesibilă: atenuarea componentei H_s , atât în intregier (2.23) cât și în baia metalică (2.24) are o aliură exponentială (fig. 3.1.)

$$H_s \sim e^{-\frac{\pi}{2}(\Delta + s)} \quad . \quad (3.1)$$

avind caracterul atenuării cimpului magnetic în intregierul mașinilor electrice de inalta cu intregier mare.

Prin raportare la fenomenul pătrunderii cimpului electromagnetic în conductoare masive, în care se definește "adâncimea de pătrundere" acea distanță de la suprafața conductorului spre interior la care intensitatea cimpului magnetic (și implicit densitatea curentului induș) scade de e ori, se poate considera util pentru baia metalică un cimp atenuat în intregier pînă la valoarea " e " din valoarea sa maximă.

Astfel, din (2.40) se obține

$$\frac{\hat{H}_{s0}}{H_{max}} > e^{-1} \quad . \quad (3.2)$$

de unde rezultă

$$\begin{aligned} \frac{\pi\Delta}{2} &\leq 1 \\ z &> \pi\Delta \\ l_1 = 2z &\geq 2\pi\Delta \end{aligned} \quad . \quad \left. \begin{array}{l} \\ \\ \end{array} \right\} \quad (3.3)$$

Relația (3.4) este foarte apropiată valorii de calcul (1.3) recomandată în /43/. De altfel, în lucrările /5; 43; 78/ este menționat caracterul exponențial al atenuării intensității cimpului magnetic, relația (2.22) regăsindu-se și în /43; 78/.

Avinind încă în vedere că este important ca valoarea intensității cimpului magnetic în baie să fie cât mai mare, în cazul în care gabaritul băii permite o lungime mai mare a agitatorului, este de recomandat ca micșorarea de eroare a cimpului magnetic să se considere referitor la suprafața liberă a băii metalice, respectiv

$$\frac{\hat{H}_z |_{z=h_m}}{H_{\max}} \geq e^{-1} \quad . \quad (3.4)$$

de unde rezultă

$$l_1 = 2z \geq 2\pi(\Delta + h_m) \quad . \quad (3.5)$$

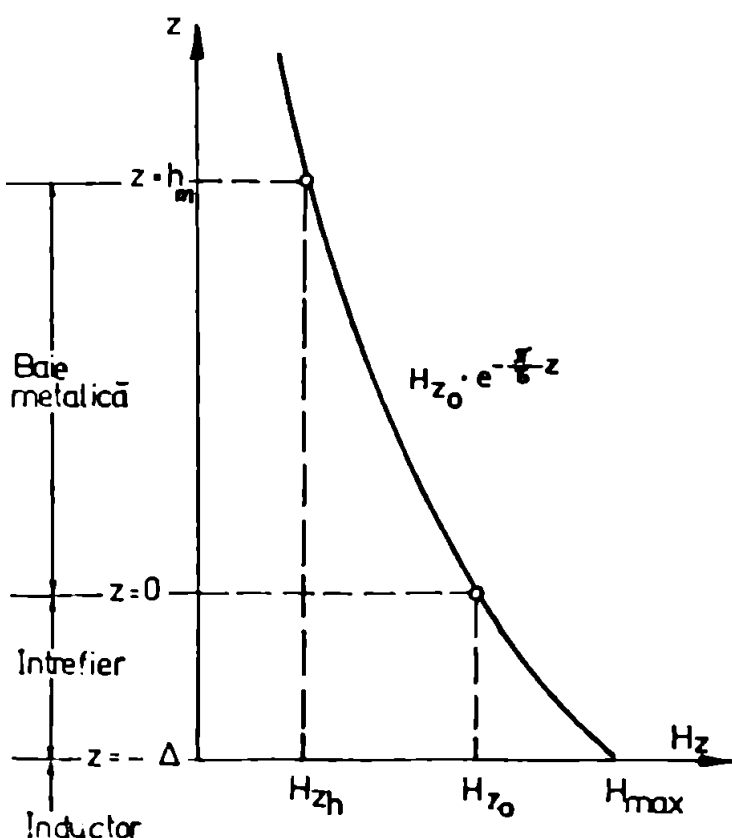


Fig. 3.1. Variația componentei H_z a intensității cimpului magnetic în ipoteza simplificată.

Exprisia (2.63) este mai complicată, analiza influenței diferenților factori asupra atenuării componentei H_s în baia metalică fiind mai dificilă.

Variatiile factorilor m_1 și m_2 sunt prezentate în figura 3.2, ca funcție de k_s și parametru $\alpha = \pi/3$ (fig. 3.2,a), respectiv ca funcție de $\alpha = \pi/2$ și parametru k_s (fig. 3.2,b). Valorile factorilor m_1 și m_2 , determinate cu ajutorul unui calculator sunt tabulate în anexă. În ambele reprezentări se distinge un caracter

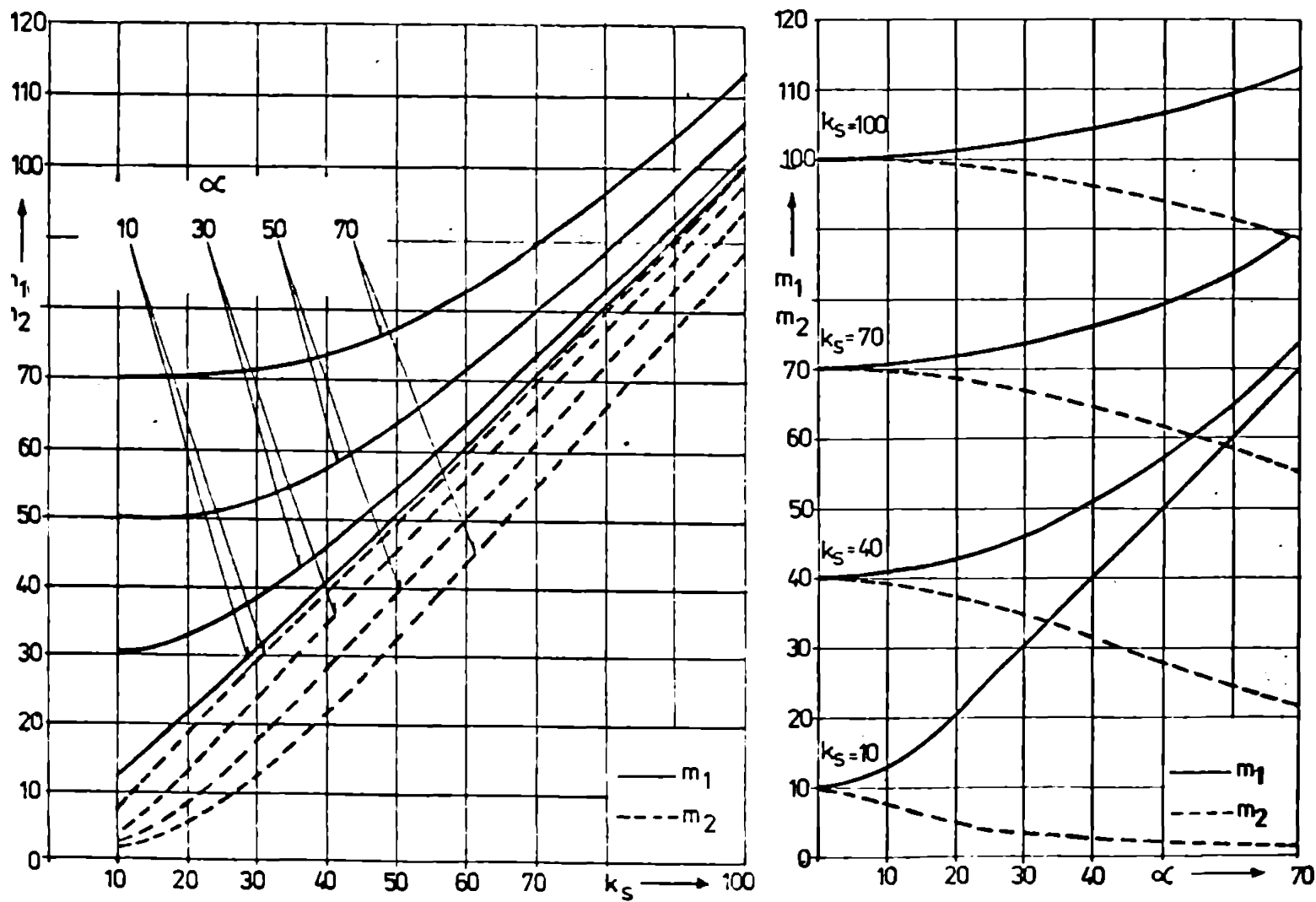


Fig. 3.2. Factorii m_1 și m_2 .

asimptotic al variațiilor acestor factori.

Vom analiza două cazuri limite ale expresiilor (2.53) și (2.54).

1) Dacă

$$\frac{\pi}{2} \gg \sqrt{2} k_s \quad , \quad (3.6)$$

m_1 și m_2 tind către valoarea limită

$$\begin{aligned} m_1 &\approx \frac{\pi}{2} \\ m_2 &\approx 0 \end{aligned} \quad (3.7)$$

fapt ce se distinge cu claritate în figura 3.2,a pentru valori mici ale variabilei k_s și valori mari ale parametrului $\alpha = \pi/2$.

Funcțiile hiperbolice din (2.62) se pot înlocui în cele exponentiale, conform relației cunoscute [2] $\operatorname{ch} \varphi = \frac{1}{2} (e^{\varphi} + e^{-\varphi})$, astfel că raportul (2.62) devine

$$\frac{\hat{H}_1}{\hat{H}_{20}} = \sqrt{\frac{\frac{1}{2} \left[e^{2 \frac{\pi}{2} (h_m - s)} + e^{-2 \frac{\pi}{2} (h_m - s)} \right] - 1}{\frac{1}{2} \left[e^{2 \frac{\pi}{2} h_m} + e^{-2 \frac{\pi}{2} h_m} \right] - 1}} \quad (3.8)$$

Dacă

$$\frac{2 \pi h_m}{2} \gg 3 \text{ sau } \frac{\pi}{2} \gg 1,5 h_m \quad (3.9)$$

termenii exponentiali negativi se pot neglija fiind mai mici decât 10% din cei pozitivi, la fel și factorii unitari, astfel că

$$\frac{\hat{H}_1}{\hat{H}_{20}} \approx e^{-\frac{\pi}{2} s} \quad (3.10)$$

fiind de aceeași formă cu (2.24).

Ca condițiile (3.8) și (3.9), atenuarea intensității cimpului magnetic în baza metalică are, la limită, aceeași situație ca și atenuarea intensității cimpului magnetic în întreier.

2) Dacă

$$\frac{\pi}{2} \ll \sqrt{2} k_s \quad (3.11)$$

m_1 și m_2 tind către valorile limite

$$m_1 \approx m_2 \approx k_s \quad (3.12)$$

fapt ce se distinge net în figura 3.2,b, pentru valori mici ale variabilei $\alpha = \pi/2$ și valori mari ale parametrului k_s .

Raportul (2.62) devine

$$\frac{\hat{H}_s}{\hat{H}_{so}} = \sqrt{\frac{\frac{1}{2} \left[e^{2k_s(h_m-z)} + e^{-2k_s(h_m-z)} \right] - \cos 2k_s(h_m-z)}{\frac{1}{2} \left[e^{2k_s h_m} + e^{-2k_s h_m} \right] - \cos 2k_s h_m}} . \quad (3.13)$$

Dacă

$$2k_s h_m \gg 3, \text{ sau } \frac{1}{k_s} \ll \frac{2}{3} h_m , \quad (3.14)$$

se pot neglija termenii exponentiali negativi și cei trigonometrici, subunitari, astfel că

$$\frac{\hat{H}_s}{\hat{H}_{so}} \approx e^{-k_s z} . \quad (3.15)$$

Dată fiind condiția (3.11), este evidentă relația de inegalitate

$$e^{-k_s z} < e^{-\frac{\pi}{\sigma} z} , \quad (3.16)$$

astfel încit curba reprezentată de (3.15) se va afla dedesubtul curbei reprezentată de (3.16), conform figurii 3.3.

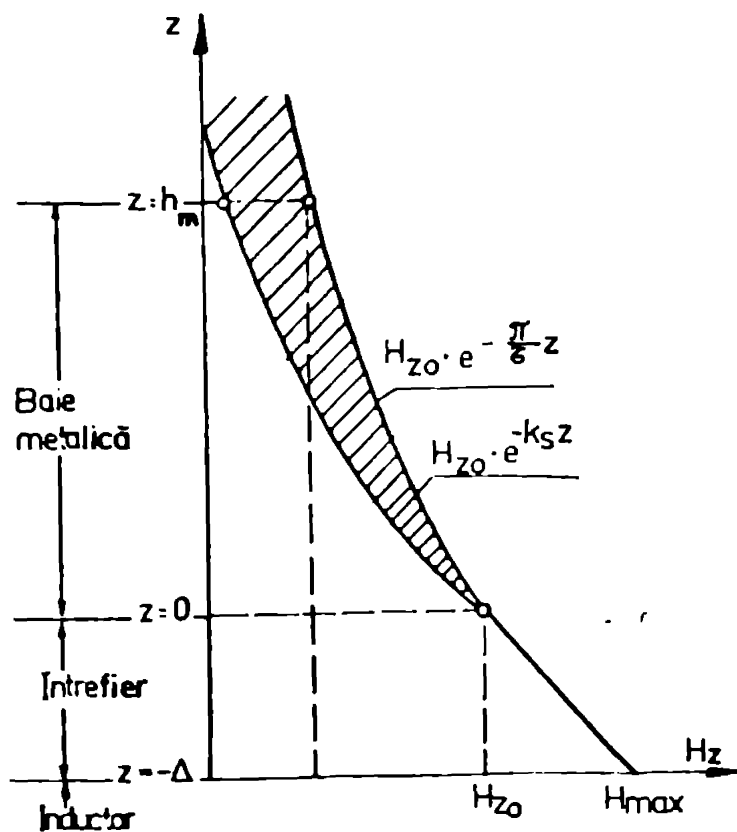


Fig. 3.3 Variatia componentei H_s a intensitatii cimpului magnetic in intrefier și baie metalică.

Variatia reală a intensității cimpului magnetic în baia metalică pentru diferite valori ale parametrilor k_s și $\pi/2$, se va găsi între cele două limite (3.10) - (3.15), în zona hășurată din figură, fiind astfel diferență de variație în întrefier, dată de (2.22).

Așa cum atenuarea suferită de intensitatea cimpului magnetic în întrefier se admite să fie cea dată de (3.2), să considerăm că atenuarea suferită de intensitatea cimpului magnetic în baia metalică (3.15) poate să fie aceeași, adică

$$\frac{\hat{H}_s |_{s=h_m}}{H_{so}} \geq e^{-1}, \text{ sau } \frac{\hat{H}_s |_{s=h_m}}{H_{max}} \geq e^{-2}, \quad (3.17)$$

dе unde rezultă

$$\left. \begin{aligned} k_s h_m &\leq 1 \\ k_s &\leq \frac{1}{h_m} \\ \delta_s = \frac{1}{k_s} &> h_m \end{aligned} \right\} \quad (3.18)$$

în care δ_s este o constantă de material asimilatoare adâncimii de patrundere caracteristice efectului pelicular al cimpului electromagnetic în conductoare masive. Condiția (3.18) este menționată în /43/, dar pentru cazul particular $s = 1$, fiind condiția esențială pentru alegerea frecvenței tensiunii de alimentare a agitatoarelor inducitive liniare.

Condițiile limită (3.6) și (3.11) se pot transforma în condiții legate de frecvență f , prin înlocuirea lui k_s - (2.3e)

$$\frac{\pi}{2} \longleftrightarrow \sqrt{\omega \mu \sigma s}$$

Considerind $1 \leq s \leq (0,5; 0,9)$, se obțin pentru (3.8) și respectiv (3.14) expresiile

$$\frac{\pi}{2} \gg 2 k_s \rightarrow f \ll \frac{2}{6 \sigma^2} 10^6 \approx \frac{10^7}{6 l_i^2} \quad ; \quad (3.19)$$

$$\frac{\pi}{2} \ll 2 k_s \rightarrow f \gg \frac{2}{6 \sigma^2} 10^6 \approx \frac{10^7}{6 l_i^2} \quad ; \quad (3.20)$$

b. Forța electromagnetică

Expresiile forței electromagnetice (2.43) și (2.68) s-au stabilit în ipoteza simplificatoare a neglijării efectelor marginale și de capăt ale cîmpului electromagnetic inductor (§ 2.1). În lucrarea /5/ este luat în considerare efectul marginal în stabilirea forțelor electromagnetice ce se exercită de către inductorul liniar al pompelor de metal lichid, introducindu-se un factor de reducere transversal.

$$r_{tr} = 1 - \frac{\operatorname{th} \frac{\pi}{2} b}{(1 + \operatorname{th} \frac{\pi}{2} k b \cdot \operatorname{th} \frac{\pi}{2} b) \cdot \frac{\pi}{2} b}, \quad (3.21)$$

cu care se corectează, prin înmulțire, expresiile (2.43), (2.45) și (2.68).

In figura 3.4 este trasată variația factorului de reducere transversal r_{tr} cu dimensiunile agitatorului inductiv $(\pi/2)b$, parametru fiind coeficientul k .

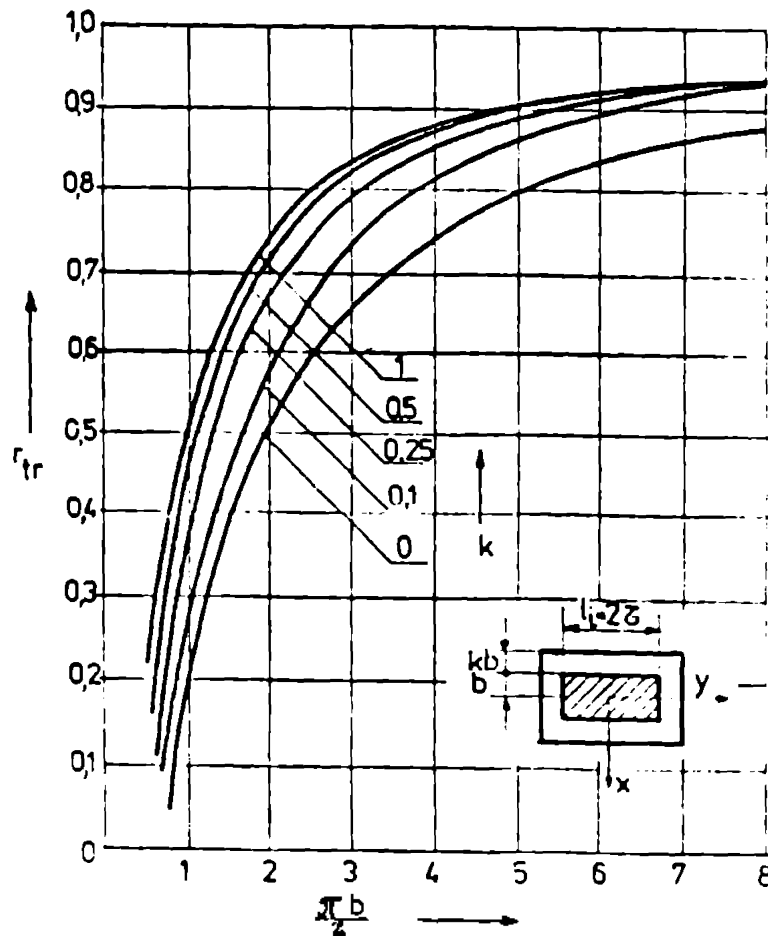


Fig. 3.4. Factorul de reducere transversal r_{tr} .

Intrucit densitatea de volum a forței electromagnetice "motoare" este proporțională cu pătratul intensității cimpului magnetic

$$f_{\text{em}} \sim H_z^2$$

iar aceasta prezintă o variație exponențială în băia metalică, este evident că o aceeași slură exponențială va prezenta și forța, însă pătratică:

$$f_{\text{em}} \sim e^{-2 \frac{\pi}{C} z} \quad (3.22)$$

$$f_{\text{em}} \sim e^{-2 k_s z} \quad (3.23)$$

după cum ne aflăm într-unul sau și celălalt din casurile limită menționate anterior. După cum se observă din (2.36) și (2.66), forța electromagnetică specifică scade pe măsură ce ne îndepărtem de fundul băii metalice spre suprafața liberă (fig. 3.4, a); în lungul agitatorului variația forței este sinusoidal - pătratică. În mod evident, f_{em} este o undă mobilă, deplasându-se în timp în lungul agitatorului. În figura 3.4, b se arată informativ distribuția sa la fundul băii metalice ($z = 0$), pentru două momente succitative $t_1 = 0$ și $t_2 = 1/8f$ (linia interrupță).

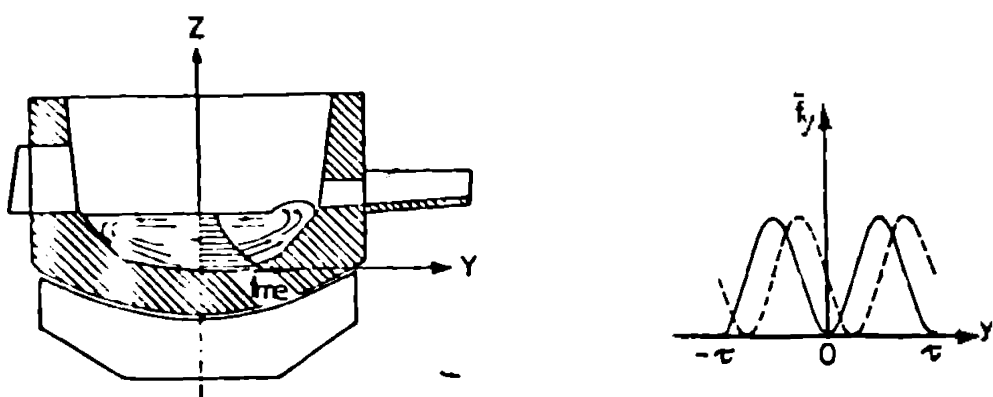


Fig. 3.5. Variația densității de volum a forței electromagnetice "motoare" a - după axa z (în mijlocul băii metalice); b - după axa y (în lungul băii metalice).

Forța electromagnetică rezultată (2.43) și (2.68) este proporțională cu termenii

$$F_{\text{em}, \text{med}} \sim e^{-2 \frac{\pi}{\tau} \Delta} \cdot k_s^2 \cdot \zeta^3 .$$

Astfel, este de dorit ca termenul Δ/ζ să fie cât mai mic posibil, ceea ce înseamnă că întreierul Δ să fie atât de mic cât permite refractorul băii metalice, iar pasul polar ζ să fie atât de mare cât permite lungimea agitatorului. De aici decurge avantajul unei înășurări bifazate ($\zeta = l_1/2$) față de una trifazată ($\zeta = l_1/3$). Prin aceasta se realizează implicit și o micșorare mai puțin pronunțată a intensității cimpului magnetic în întreier. Proportionalitatea cu ζ^3 întărește avantajul menționat. Prin intermediul k_s^2 , forța electromagnetică este proporțională cu frecvența f .

Alegerea frecvenței f este o chestiune complexă: pe de o parte, o frecvență scăzută asigură pătrunderea cimpului electromagnetic în baia metalică și, implicit, sustracarea întregii băi metalice; de asemenea, pierderile prin curenti turbulenți și histerezis sunt reduse; pe de altă parte, o frecvență mărită asigură o forță electromagnetică rezultată mai mare, dar care se manifestă pe o adâncime mai redusă, în apropierea fundului băii. În mod evident se va adopta o cale de mijloc.

Intruțit efectele electromagnetice se rezint pînă la o anumită adâncime în baia metalică, în funcție de frecvența f și tensiunii de alimentare, conform (3.15), este normal și recomandabil ca determinarea valoarei rezultante a forței electromagnetice să se facă pentru o înălțime egală cu

$$h = \delta_F = \frac{\delta_3}{2} : (3.24)$$

este de dorit ca această adâncime să fie

$$h = \delta_F < \frac{\delta_3}{2} : (3.25)$$

pentru a permite metalului deplasat într-un sens în partea inferioară a băii metalice să se deplaceze în sens contrar prin partea superioară.

In figura 3.6 sunt reprezentati factorii de forță

$$F_1' \left(\frac{\pi}{2} h \right) = e^{-2 \frac{\pi}{2} \Delta} \quad (3.26)$$

respectiv

$$F_1'' \left(\frac{\pi}{2} h \right) = 1 - e^{-2 \frac{\pi}{2} h} \quad (3.27)$$

iar produsul lor, factorul de forță

$$F_1 \left(\frac{\pi}{2} h, \frac{\pi}{2} \Delta \right) = e^{-2 \frac{\pi}{2} \Delta} (1 - e^{-2 \frac{\pi}{2} h}) \quad (3.28)$$

este reprezentat in figura 3.7

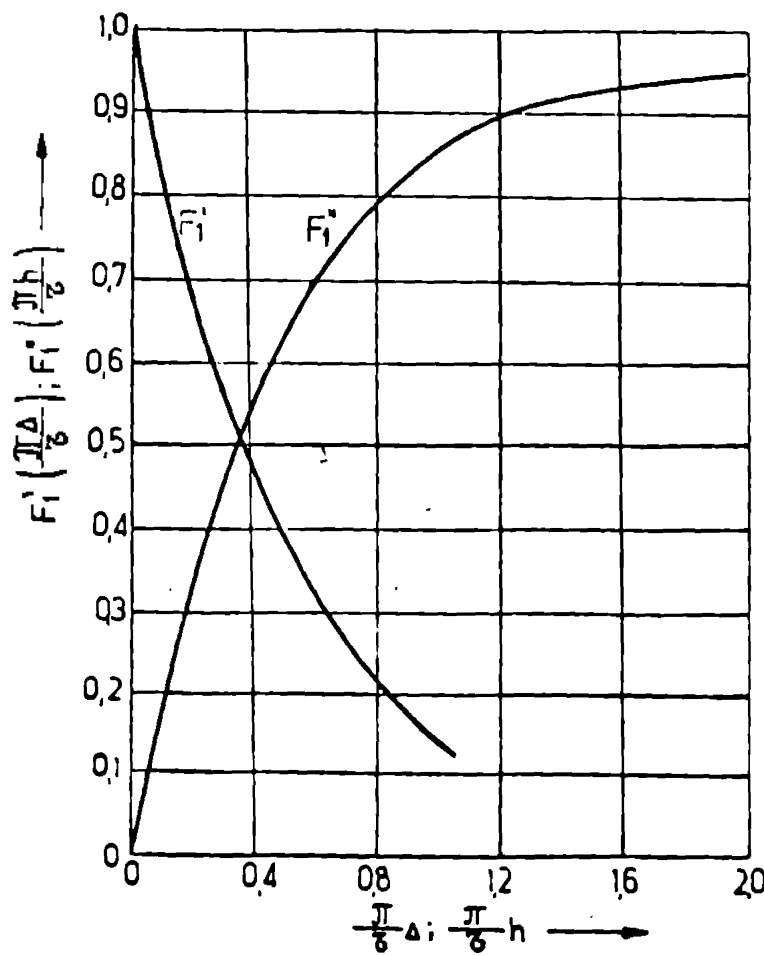


Fig. 3.6. Factorii de forță F_1' și F_1''

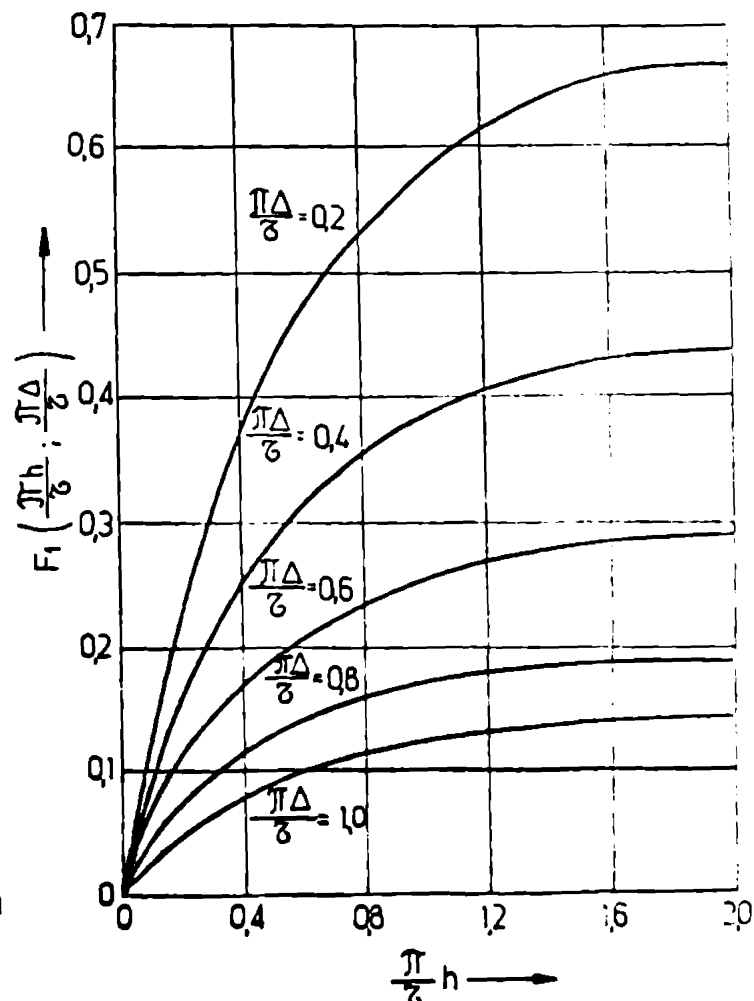


Fig. 3.7. Factorul de forță F_1

Factorul de forță

$$F_2(m_1, m_2, h) = \frac{\frac{1}{m_1} \sin 2m_1 h - \frac{1}{m_2} \sin 2m_2 h}{\cosh 2m_1 h - \cos 2m_2 h} \quad (3.29)$$

este reprezentat în diagramele 3.8, 3.9 și 3.10, luând ca variabilă înălțimea h , k_s , respectiv $\alpha = \pi/7$.

Pentru determinarea valorilor acestui factor s-a utilizat un calculator tip Tektronik 31, organograma fiind prezentată în anexă.

Din analiza matematică a expresiei (3.29) se constată un caracter asimptotic al variației factorului de forță $F_2(m_1, m_2, h)$, ce se observă cu ușurință din diagramele 3.8 - 3.10.

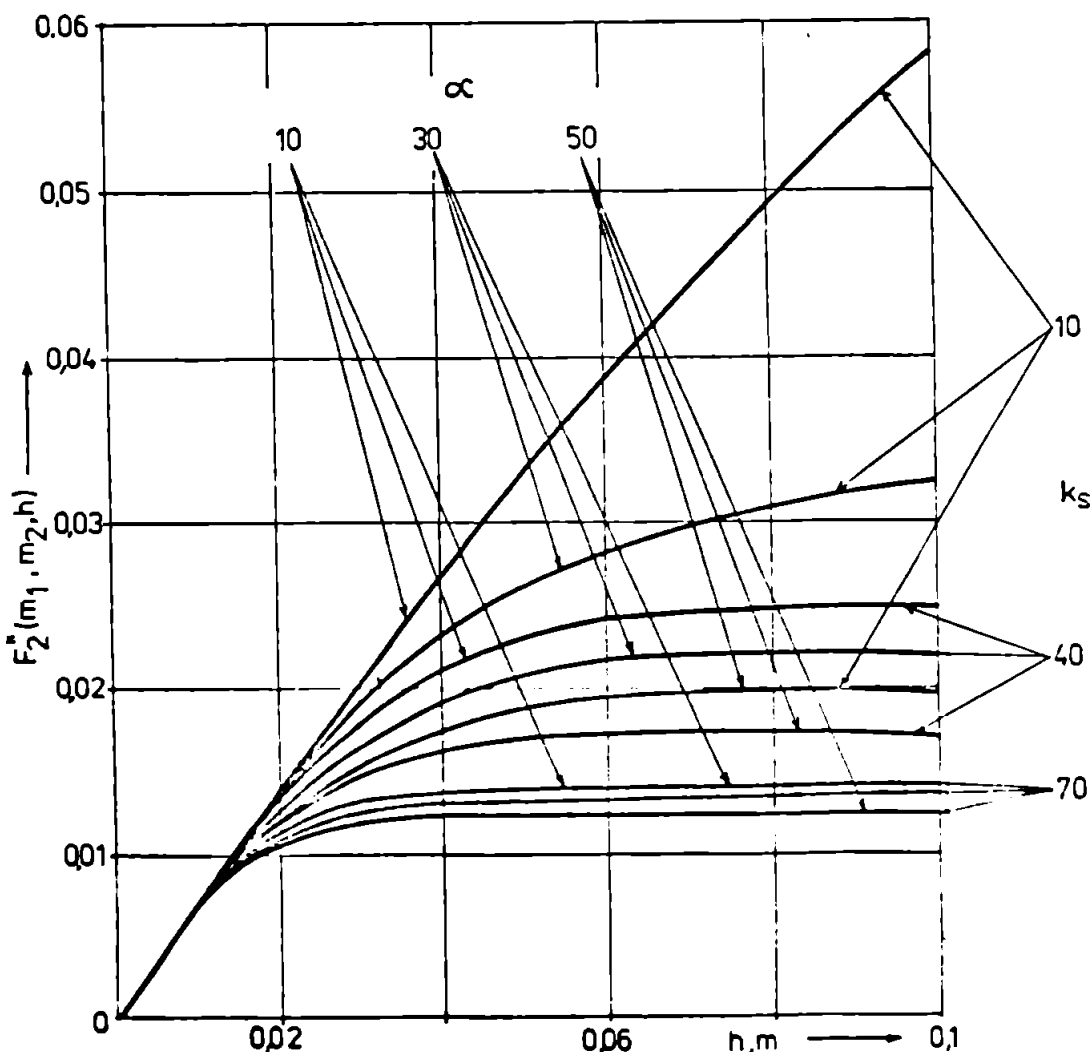


Fig. 3.8. Factorul de forță $F_2(m_1, m_2, h)$ în funcție de variația h , parametrii fiini k_s și $\alpha = \pi/7$.

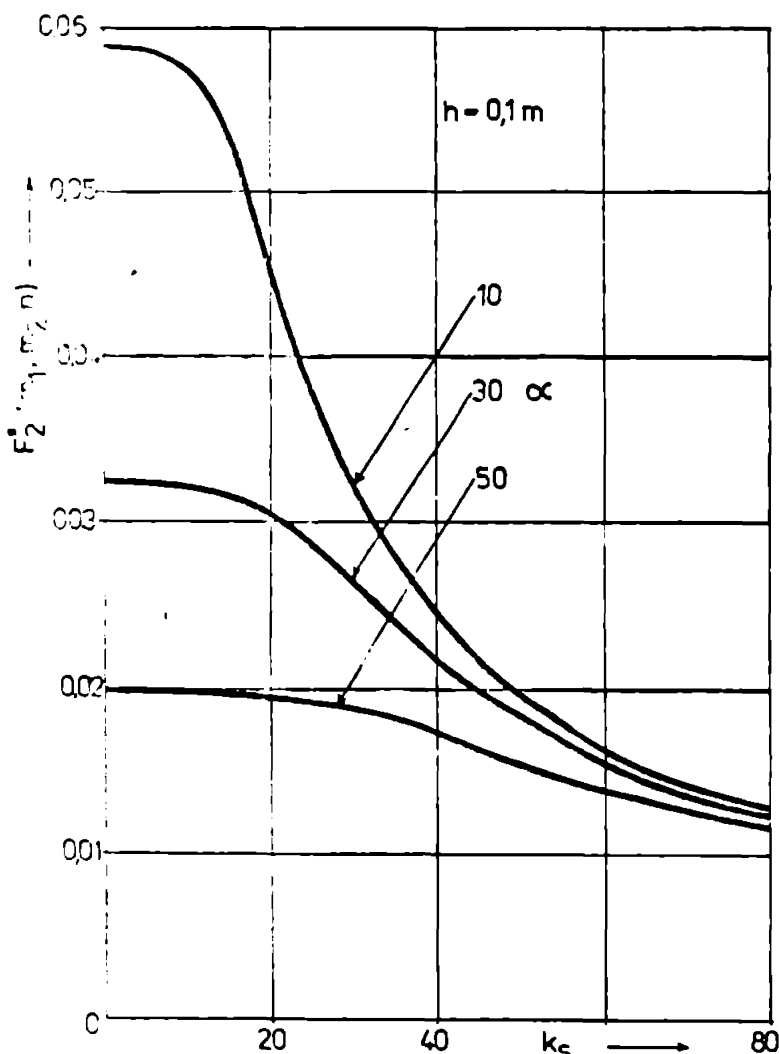


Fig. 3.9. Factorul de forță $F_2''(m_1, m_2, h)$ în funcție de variabila k_s , parametru fiind $\alpha = \pi/3$ ($h=0,1m$)

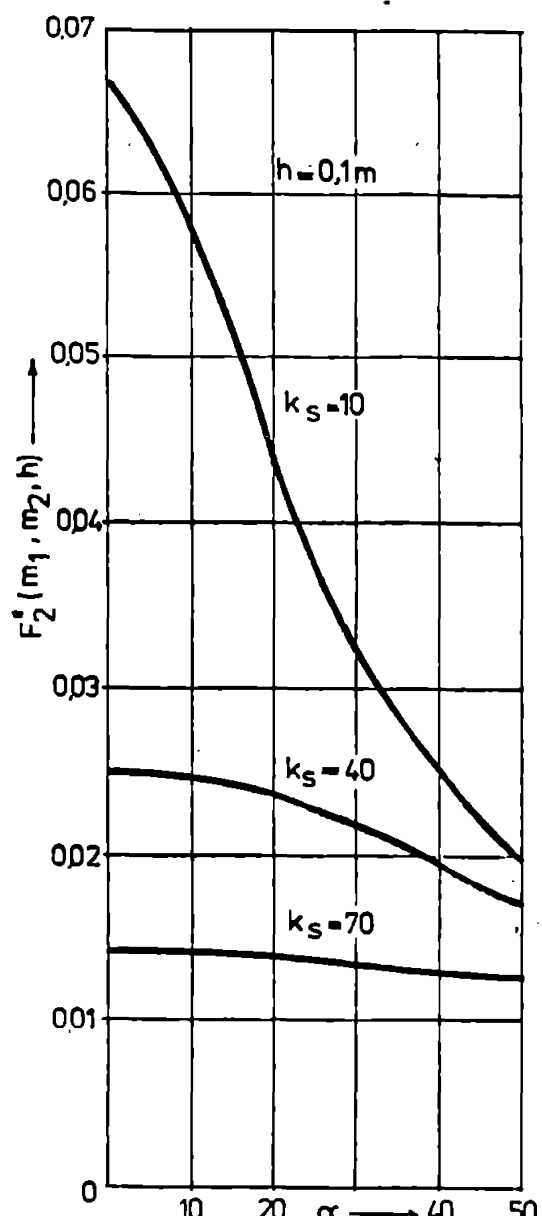


Fig. 3.10. Factorul de forță $F_2''(m_1, m_2, h)$ în funcție de variabila $\alpha = \pi/3$, parametrul fiind k_s ($h=0,1m$).

In casul limită (3.6), și cu condiția (3.9), factorul (3.29) tinde spre valoarea

$$F_2''(m_1, m_2, h) \rightarrow \frac{1}{m_1} \approx \frac{1}{\pi/3}$$

fapt remarcat în figura 3.9. (sau 3.10), pentru $\alpha = \pi/3$ având valori mari (de exemplu 50) și k_s – valori mici (de exemplu 10, 20).

In casul limită (3.11) și cu condiția (3.14), factorul (3.29) tinde spre valoarea

$$F_2''(m_1, m_2, h) \rightarrow \frac{1}{m_1} \approx -\frac{1}{k_s}$$

Introducind aceste valori limite în expresia forței electromagnetice rezultante (2.68), corectate cu factorul r_{tp} (3.21), se obțin două expresii simple, ce delimitesc valoarea forței pentru valori corecte ale parametrilor k_s și $\alpha = \pi/3$:

$$\frac{2\mu k_s^2 \tau^2 b}{\pi} H_{\max}^2 < -2 \frac{\pi}{2} \Delta \cdot r_{tr} \cdot \frac{1}{k_s} <$$

$$\langle P_{em,med} \rangle < \frac{2\mu k_s^2 \tau^2 b}{\pi} H_{\max}^2 < -2 \frac{\pi}{2} \Delta \cdot r_{tr} \cdot \frac{1}{\frac{\pi}{2}} . \quad (3.30)$$

3. Agitatoare inductive cilindrice.

a. Intensitatea cimpului magnetic.

Componenta orientată după direcția axei Or, perpendicular pe suprafața laterală a băii metalice, H_x , este cea care contribuie la apariția forței electromagnetice, "motoare".

Expresia (2.73), dedusă în ipoteza simplificării a neglijării reacțiilor induși în baie, prezintă o formă simplă: atenuarea componentei H_x atât în intrefier (2.75) cât și în baia metalică (2.77) are o alură exponențială, dată de funcția Bessel I_1 :

$$H_x \sim \frac{I_1(\frac{\pi}{2} r)}{I_1(\frac{\pi}{2} r_i)} \quad . \quad (3.31)$$

In figura (3.11) este prezentată variația raportului (3.31) care-l reprezintă și pe (2.77) prin înlocuirea indicelui 1 cu m .

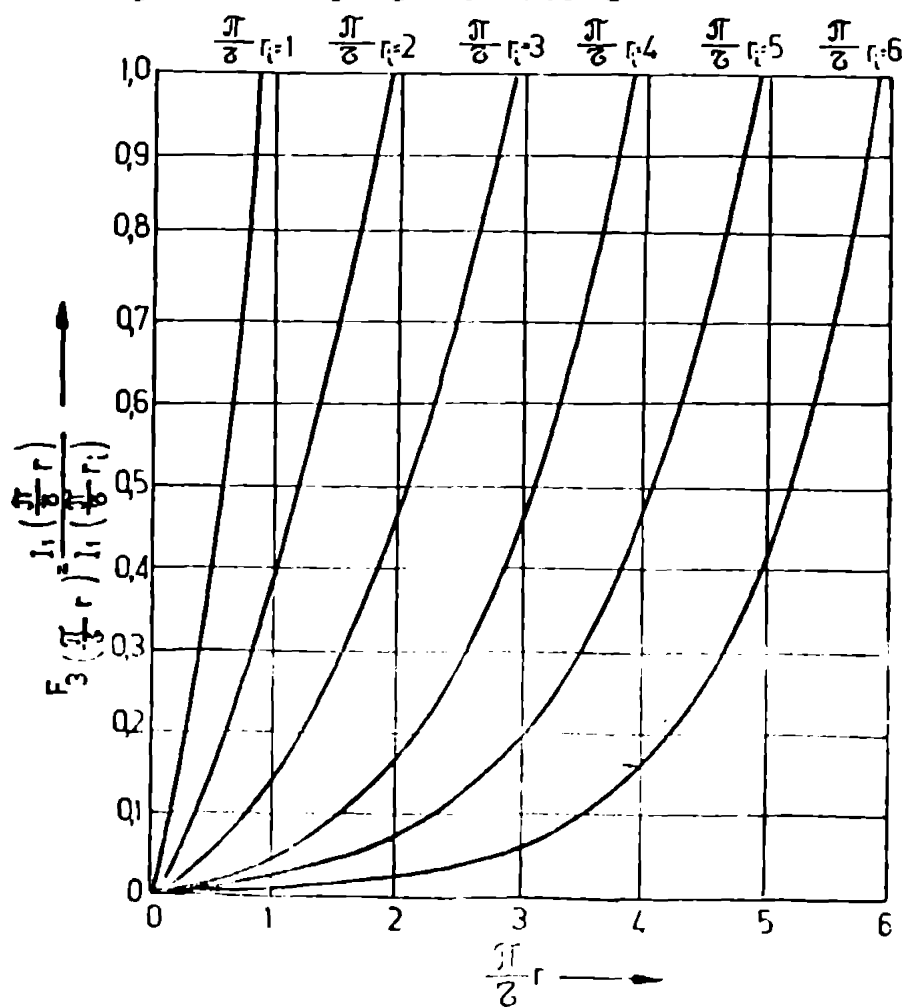


Fig. 3.11. Factorul de atenuare a intensității cimpului magnetic, constant în intrefier și baie metalică.

Fenomenul este în evidență a atenuării intensității cimpului

magnetică în raport cu îndepărțarea relativă de la suprafața agitatorului s-a construit diagrama 3.12. Se constată că panta curbei tinde asimptotic spre 45° , pentru

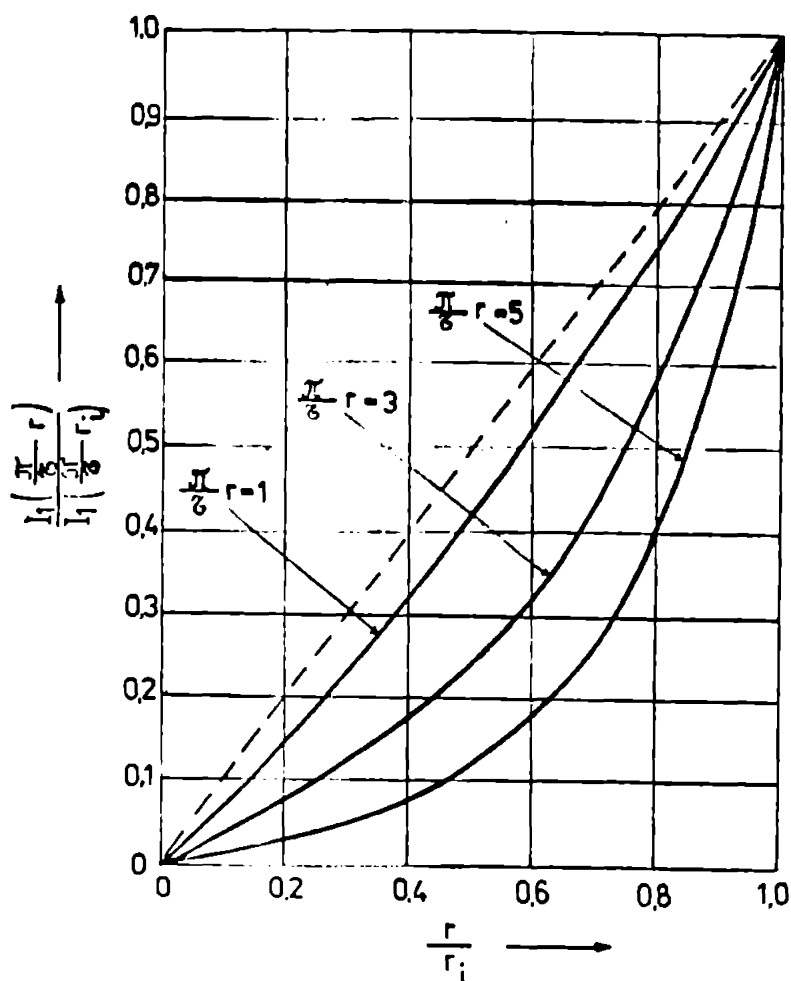


Fig. 3.12. Factorul de aternare (3.31) în funcție de r/r_1 .

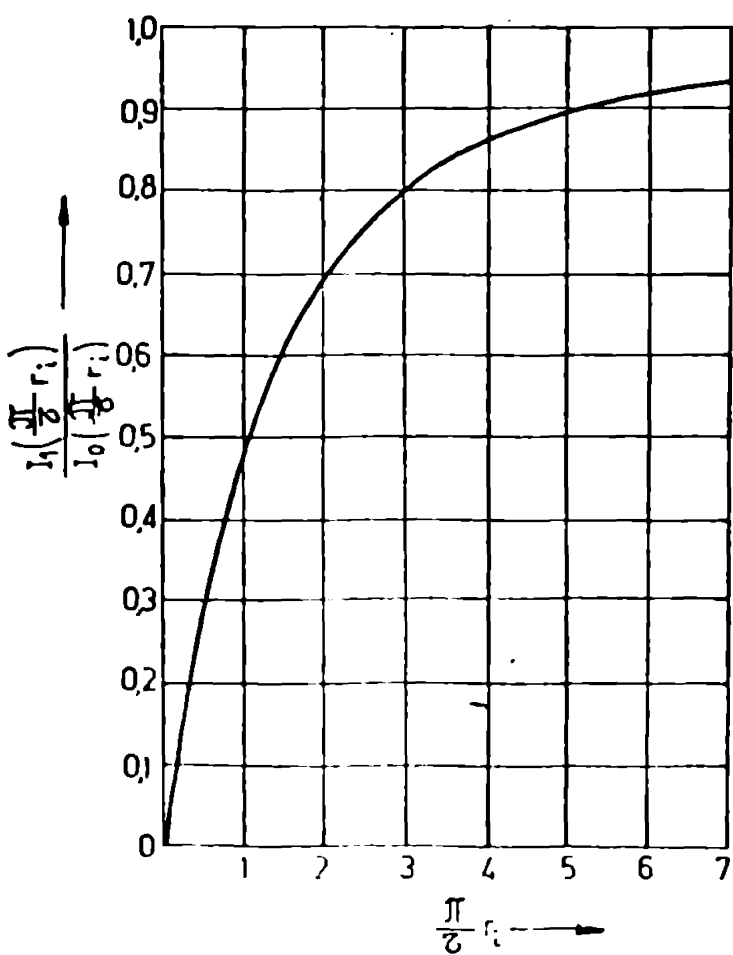


Fig. 3.13. Factorul de reducere a amplitudinii componentei H_r .

$$\frac{\pi}{6} r_1 \leq 1. \quad . \quad (3.32)$$

Se impune astfel, și în cazul agitatorului cilindric, o valoare cît mai mare a pasului polar ζ , atât cît permite înălțimea (lungimea agitatorului), respectiv o valoare cît mai mică a diametrului interior al agitatorului, adică un întrefier redus la maximum (limitat la refractorul creuzetului și diferențele elementelor consolidare a agitatorului).

Se observă că amplitudinea componentei radiale H_x la suprafața agitatorului este egală cu (se face $r = r_1$ în rel. 2.73)

$$\hat{H}_{r_1} = H_{\max} \frac{I_1 \left(\frac{\pi}{6} r_1 \right)}{I_0 \left(\frac{\pi}{6} r_1 \right)} \quad . \quad (3.33)$$

Valorile raportului

$$\frac{\hat{H}_{r_1}}{H_{\max}} = \frac{I_1 \left(\frac{\pi}{6} r_1 \right)}{I_0 \left(\frac{\pi}{6} r_1 \right)} \quad . \quad (3.34)$$

sunt traseate în figura 3.13. Pentru a determina valoarea exactă a amplitudinii componentei radiale H_x în baia metalică, valorile din diagramele 3.11 sau 3.12 vor trebui înmulțite cu valorile corespunzătoare din diagrama 3.13.

Expresia (2.119) care dă variație reală a intensității câmpului magnetic în baia metalică comportă dificultăți în utilizare, legate de tabelele pentru funcția Bessel $J_1(\rho r, \gamma)$ cu variabilă complexă, date în /90/. Determinându-se limitele de variație ale parametrului

$\gamma = \arctg \frac{a_1}{a_2}$, se constată că $\gamma \in (\pi/4, \pi/2)$. Pentru acest domeniu, în anexă s-au extras variațiile termenului real U_1 și imaginär V_1 .

In figura 3.14 s-a traseat variația funcției $\sqrt{U_1^2(\rho r, \gamma) + V_1^2(\rho r, \gamma)}$, iar în figura 3.15 s-a reprezentat raportul (2.119) care indică atenuarea suferită de amplitudinea componentei radiale în baia metalică, în raport cu îndepărțarea raportată r/r_1 de la suprafața laterală a băii metalice spre interior. Se constată că și în acest caz punctul punctul panta curbei de variație a lui H_x tinde asimptotic spre 45° .

b. forță electromagnetică.

Densitatea de volum a forței electromagnetice "metoare" (2.90) și (2.123) prezintă, ca și în cazul agitatorului liniar, o variație

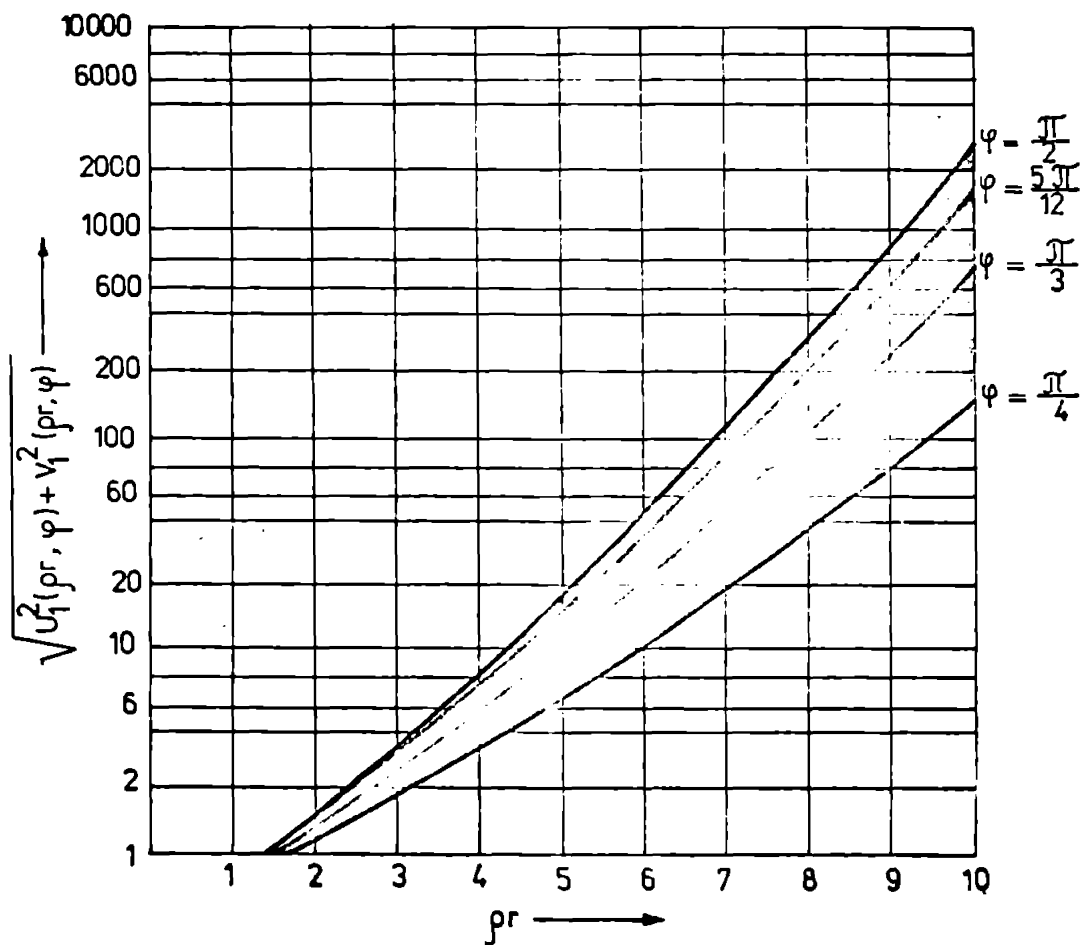


Fig. 3.14 Factorul $\sqrt{U_1^2(\rho r, \varphi) + V_1^2(\rho r, \varphi)}$

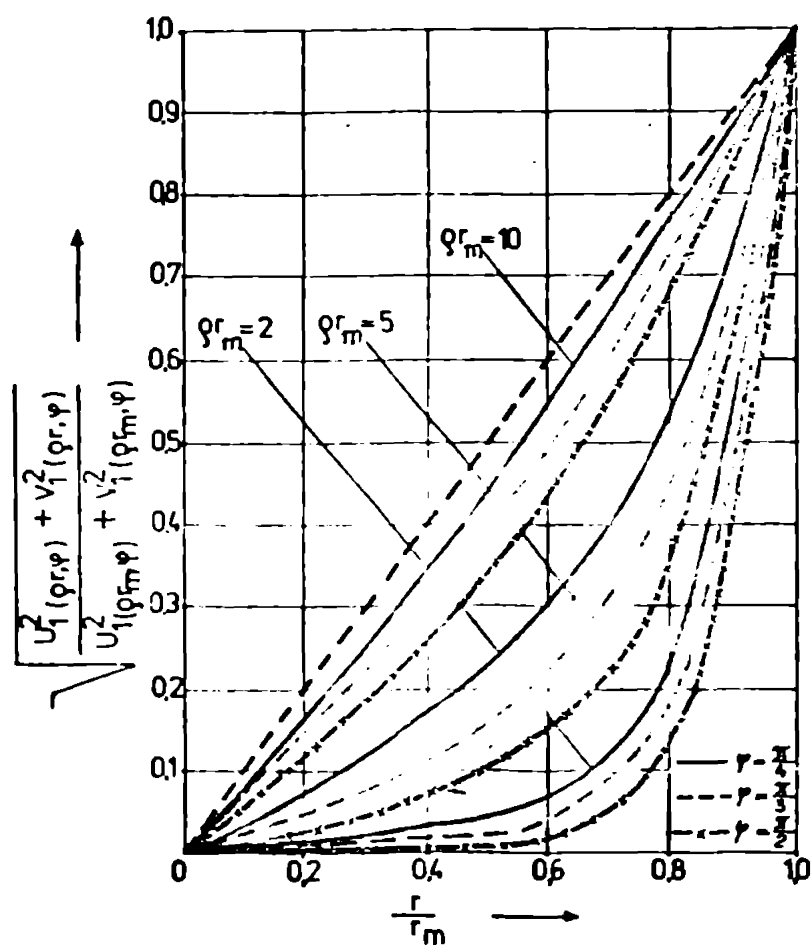


Fig. 3.15. Factorul de atenuare a intensității cimpului magnetic în baza metalică.

INSTITUTUL NAȚIONAL
DE INGINERATURĂ
TRANSPORT

exponențială pe direcția radială (fig. 3.16,a), respectiv o variație sinusoidală - patratică pe înălțimea (în lungul) agitatorului, fiind o undă nobilească. În figura 3.16,b este dată distribuția sa la suprafața laterală a băii metalice ($r = r_m$), pentru două momente succeseive $t_1 = 0$ și $t_2 = 1/8f$ (linia intreruptă).

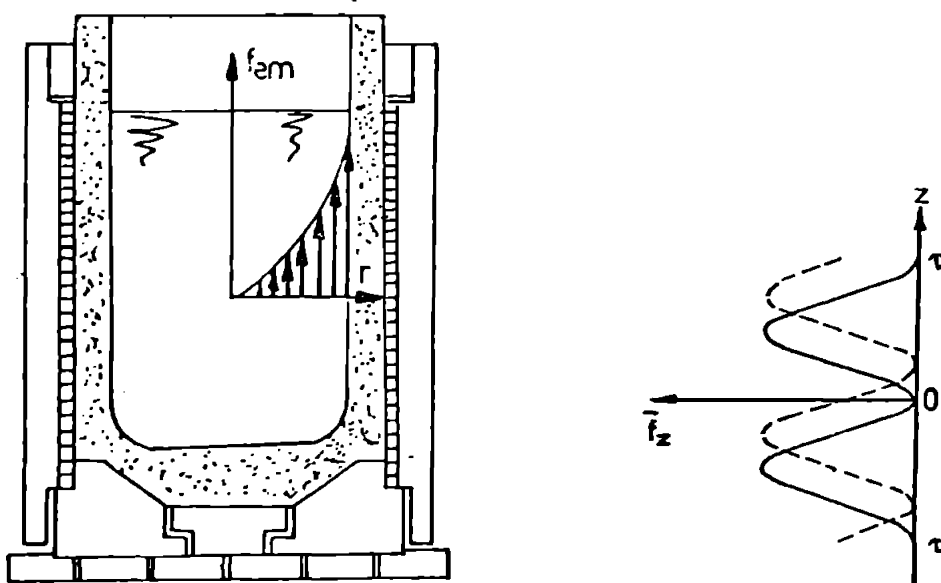


Fig. 3.16 Variația densității de volum a forței electromagnetice "motoare" a - după axa r (Spre centrul băii metalice); b - după axa z (în înălțimea băii metalice).

În figura 3.17 sunt date variațiile celor doi factori ce compun expresia forței electromagnetice rezultante $F_{em,med}$ (2.99),

$$F_3\left(\frac{\pi}{2} r_m\right) = \left\{ 1 + \frac{\pi^2}{2 r_m} \cdot \frac{I_0\left(\frac{\pi}{2} r_m\right)}{I_1\left(\frac{\pi}{2} r_m\right)} - \left[\frac{I_0\left(\frac{\pi}{2} r_m\right)}{I_1\left(\frac{\pi}{2} r_m\right)} \right] \right\}, \quad (3.35)$$

respectiv

$$F_3''\left(\frac{\pi}{2} r_m, \frac{\pi}{2} \Delta\right) = \left[\frac{I_1\left(\frac{\pi}{2} r_m\right)}{I_0\left(\frac{\pi}{2} r_m\right)} \right]^2, \quad (3.36)$$

în funcție de valorile rapoartelor $\pi r_m/2$ și $\pi \Delta/2$; se-a considerat $r_1 = r_m + \Delta$.

Efectuind produsul celor doi factori de forță rezultă diagrama din figura 3.18.

$$F_3\left(\frac{\pi}{2} r_m, \frac{\pi}{2} \Delta\right) = F_3'\left(\frac{\pi}{2} r_m\right) \cdot F_3''\left(\frac{\pi}{2} r_m, \frac{\pi}{2} \Delta\right), \quad (3.37)$$

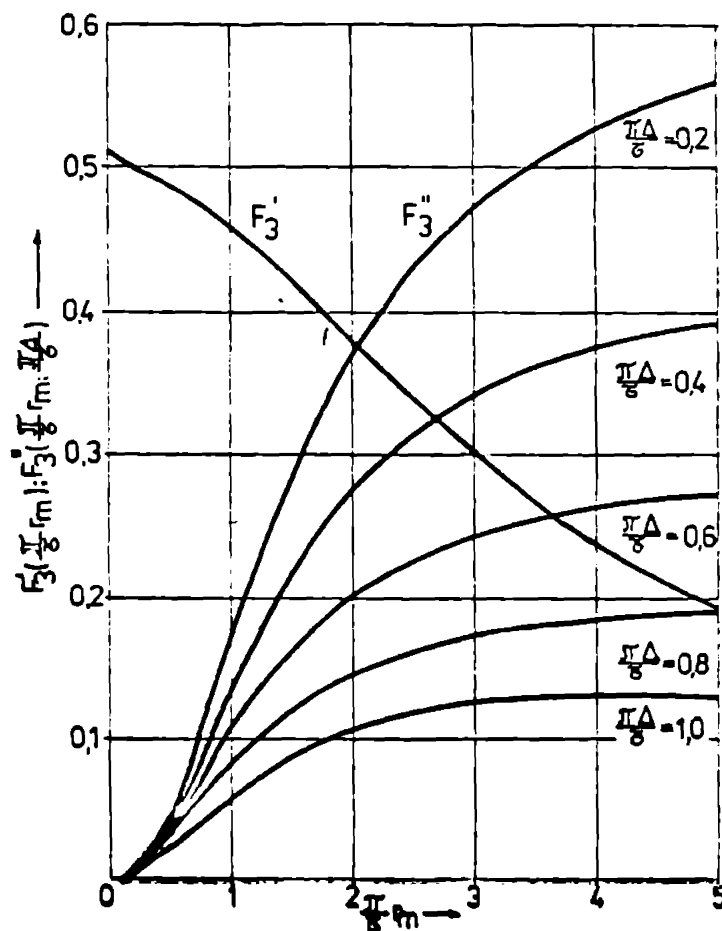


Fig. 3.17. Factorii de forță $F_3' \left(\frac{\pi}{2} r_m, \frac{\pi}{2} \Delta \right)$ și $F_3'' \left(\frac{\pi}{2} r_m, \frac{\pi}{2} \Delta \right)$.

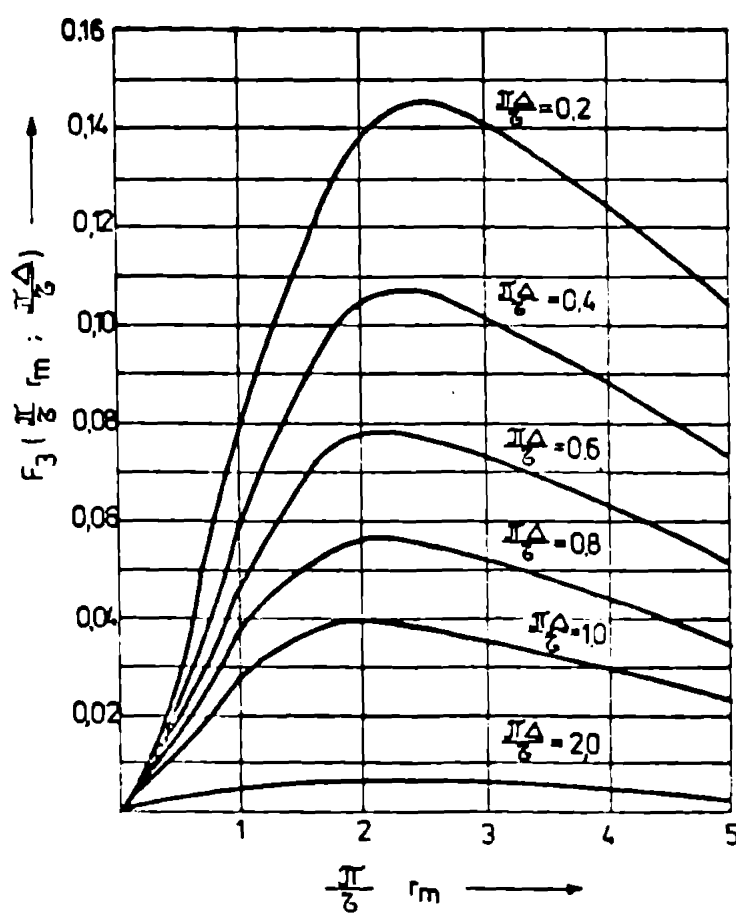


Fig. 3.18. Factorul de forță $F_3 \left(\frac{\pi}{2} r_m, \frac{\pi}{2} \Delta \right)$.

care este deosebit de utilă pentru alegerea dimensiunilor optime ale băii metalice și agitatorului, datorită maximelor pe care le prezintă.

Astfel se observă cu ușurință că forța de amestecare este maximă pentru

$$\frac{\pi}{2} r_B = 2 \dots 3 \quad , \quad (3.38)$$

ceea ce, pentru a o infășurare bifazată ($\zeta = h_1/2$) și avind în vedere că între înălțimea agitatorului și a băii metalice există relația /1, 3, 6/

$$h_1 = (1, 1 \dots 1,5) h_B \quad , \quad (3.39)$$

conduce la

$$\frac{d_{m1}}{h_{m1}} = 0,75 \dots 1,25 \quad ; \quad (3.40)$$

valorile mai mici corespund unui $\bar{J}\Delta/\zeta$ mai mare (în jur de 1), iar valorile mai mari unui $\bar{J}\Delta/\zeta$ mai mic (în jur de 0,2).

Relația (3.40) care corespunde condiției (1,6) dată de ASEA " / 27 /, permite alegerea optimă a dimensiunilor creuzetului cilindric pentru ca agitatorul inductiv să aibă eficiență maximă.

Intrucât efectele electromagnetice se rezint pînă la o anumită adincime în băia metalică, în funcție de frecvență f și a tensiunii de alimentare (prin parametrul β , relația 2.114), este necesar ca forța electromagnetică să antreneze jumătate din volumul băii metalice. Scăderea forței electromagnetice specifice de la valoarea maximă (la suprafața laterală a băii metalice $r = r_B$) pînă la o valoare minimă considerată acceptabilă de circa 10% se va produce astfel la

$$r_F = \frac{r}{\sqrt{2}} \quad . \quad (3.41)$$

Pentru că intensitatea cîmpului magnetic variază exponențial iar forța electromagnetică specifică-exponențial-patratnică, cu distanțe r , cîmpul va scădea la o valoare corespondătoare de circa 10% la

$$r_H = 0,4 r_B \quad . \quad (3.42)$$

Considerind o micșorare a amplitudinii intensității cîmpului magnetic în interval de 0,3, pentru a obține o scădere totală de 0,1, trebuie impusă condiția ca scăderea în băia metalică să fie de 0,3 ... 0,4 (deci aproximativ e^{-1}); astfel, din figura 3.16 rezultă pentru $r/r_B \approx 0,4$

$$\beta r_m < 2 \quad . \quad (3.43)$$

Inlocuind coeficientul $\beta = \sqrt{m_1^2 + m_2^2}$ (2.304) și introducind cazul limită (3.11) se obține succesiv

$$\begin{aligned} \sqrt[4]{\left(\frac{\pi}{2}\right)^4 + 4k_s^4} &\leq \frac{2}{r_m} \\ k_s &\leq \frac{\sqrt{2}}{r_m} \\ \delta_s = \frac{1}{k_s} &\geq \frac{r_m}{\sqrt{2}} \end{aligned} \quad . \quad \left. \begin{array}{l} | \\ | \\ | \end{array} \right\} (3.44)$$

în care δ_s este o constantă de material asemănătoare adâncimii de pătrundere caracteristice efectului pelicular al cimpului electromagnetic în conductoare cilindrice masive. Condiția (3.44) permite alegerea frecvenței tensiunii de alimentare a agitatoarelor inducitive cilindrice.

În cazul în care pentru o instalație de amețecare nu se poate satisface condiția (3.44), este normal și recomandabil ca determinarea valorii rezultate a forței electromagnetice să se facă pentru o adâncime egală cu

$$r = r_F = r_m - \frac{\delta_s}{2} \quad . \quad (3.45)$$

pentru a permite metalului deplasat într-un sens în partea laterală exterioară a băii metalice să se deplaceze în sens contrar prin partea interioară, centrală.

În acest caz, integrala (2.92) se va corecta astfel

$$y_{em_med} = \int_{r_F}^{r_m} \int_0^{2\pi} \int_{-z}^z f_{em_z} r dr d\varphi dz \quad . \quad (3.46)$$

în mod evident

$$\int_{r_F}^{r_m} f_{em_z} r dr = \int_0^{r_m} f_{em_z} r dr - \int_0^{r_F} f_{em_z} r dr. \quad (3.47)$$

3.3. Elemente de calcul a agitatoarelor inductive.

Datele inițiale de calcul pentru agitatoarele inductive ale băilor de metal topit sint:

- metalul sau aliajul ce urmează a fi amestecat, în special parametrii săi fizici densitatea ρ și conductivitatea electrică σ ;
- vîrteza de amestecare;
- capacitatea cuptorului, respectiv creuzetului;
- forma și dimensiunile cuptorului, respectiv creuzetului;
- dispoziția și dimensiunile elementelor metalice de construcție.

Pe baza analizei rezultatelor teoretice răcuită anterior, se desprind cîteva elemente de calcul esențiale în dimensionarea agitatoarelor inductive. De remarcat că prin aceste elemente de calcul sunt regăsite respectiv justificate teoretic, unele recomandări ale firmelor producătoare.

a. Parametrii constructivi. Esențială în alegerea parametrilor constructivi ai agitatoarelor inductive este concluzia referitoare la capitolul că atenuarea intensității cimpului magnetic în întrefier este proporțională cu termenul $e^{-\frac{\pi \Delta}{2}}$, iar în baia metalică cu termenul $e^{-\frac{\pi}{2}}$. Astfel, raportul Δ / ζ trebuie să fie latat cît mai mic posibil. De aceea, întrefierul Δ , dependent de izolația termică a cuptorului, respectiv a creuzetului și a agitatorului va fi redus la minimum necesar, cel puțin în perioada în care se găsește agitatorul. De asemenea, pasul polar ζ va fi luat cît mai mare posibil. De mărimea pasului polar este strins legată realizarea infășurării. Întrucât lungimea l_1 , respectiv înălțimea h_1 a agitatorului inductiv este o mărime dependentă de forma și dimensiunile cuptorului, respectiv creuzetului, pentru a obține un pas polar cît mai mare se cere ca infășurarea să fie executată bipolar $p = 1$:

$$l_1 (h_1) = 2 p \zeta \quad , \quad (3.48)$$

$$\zeta = \frac{l_1 (h_1)}{2p} = \frac{l_1 (h_1)}{2} \quad , \quad (3.49)$$

Pasul polar ζ este determinat și în corelație cu celelalte mărini geometrice, pentru obținerea unei atenuări admisibile a

intensității cimpului magnetic în întreier și baia metalică, respectiv pentru a obține valori maxime ale forței electromagnetice, "motoare".

Astfel, pentru agitatoare liniare se vor avea în vedere relațiile (3.3) și (3.5), iar pentru agitatoare cilindrice – relația (3.38).

Lățimea b_1 și grosimea g_1 agitatorului inductiv liniar se aleg pe baza considerentelor expuse în § 1.2 (după /43/).

Având în vedere factorul de reducere transversal r_{tr} – relația (3.21) și figura 3.4, se poate lua în considerare o valoarea $r_{tr} = (0,5 \dots 0,7)$ astfel că pentru o baie metalică având dimensiunea transversală dublă față de cea a agitatorului ($k=1$) conform condiției (1.4,b) se obține

$$\frac{\pi b}{g} = 1,25 \dots 1,75 \quad (3.5a)$$
$$b = (0,2 \dots 0,28) \quad i$$

regăsindu-se astfel condiția (1.4,a), după /43/.

Diametrul interior $d_1 = 2 r_1$ al agitatorului inductiv cilindric rezultă din condiția unui întreier Δ minim, la un diametru dat $d_m = 2 r_m$ al băii metalice.

b. Stabilirea forței necesare amestecării.

Ourgerea metalului în baie sub influența forțelor electromagnetice "motoare" este turbulentă. Este dificil, practic imposibil de a stabili un model matematic care să permită determinarea reală a variației vitezei de deplasare a metalului în diferite straturi, de la fundul băii metalice spre suprafață, respectiv de la suprafața laterală spre axul creuzetalui, în funcție de variația forței electromagnetice specifice.

În lucrarea /19/ se dezvoltă o metodă de calcul care permite cunoașterea variației vitezei metalului în adâncimea băii metalice, în raport cu vîteza metalului la suprafață băii, ce poate fi măsurată.

Introducind ipoteze simplificătoare (mergind pînă la a considera baia metalică ca un solid, accelerat din repaus la vîteza v), în lucrările /43, 73/ se indică pentru calculul forței mecanice specifice, necesară deplasării metalului, următoarele relații:

$$- \text{ agitator liniar } f_m = \frac{\rho v^2}{4\sigma}, \text{ N/m}^3 \quad ; \quad (3.51)$$

$$- \text{ agitator cilindric } f_m = \frac{\rho v^2}{48\sigma}, \text{ N/m}^3 \quad ; \quad (3.52)$$

Viteza v se consideră egală cu viteza medie v_{med} a metalului în baie.

c. Parametrii electrici.

Intrucit forța electromagnetică "motoare" rezultantă în baie metalică (2.43) - (2.63), respectiv (2.99) - (2.124) este proporțională cu pătratul intensității curentului electric I prin inducător, prin termenul H_{max}^2 , conform (2.17), (2.10) și (2.11), infășurarea agitatorului se va executa bifazat, $n = 2$. În acest mod, la puteri absorbite date, se obțin curenti mai mari, și, implicit, forțe mai mari decât la o execuție trifazată.

Frecvența f a tensiunii de alimentare se determină pe baza atenuării cimpului electromagnetic în baie metalică. Impunând condiția ca forța electromagnetică, "motoare" specifică f_{em} să antreneze jumătate din volumul băii metalice aflate sub influența agitatorului (condiție menționată expres în /43/ și utilizată implicit în /78/), s-au obținut relațiile (3.25), respectiv (3.44). Introducind expresia constantei k_s (2.60), se obține valoarea recomandată pentru frecvența f :

$$- \text{ agitator liniar } f \leq 2,5 \cdot 10^5 \frac{1}{s\sigma h_m^2} \quad ; \quad (3.53)$$

$$- \text{ agitator cilindric } f \leq 5 \cdot 10^5 \frac{1}{s\sigma r_m^2} \quad . \quad (3.54)$$

Particularizând pentru oțel ($\sigma = 7,35 \cdot 10^5 \text{ S}\text{e}^{-1}\text{m}^{-1}$) și considerind alunecarea $s = 1$ (în realitate $s = 0,5 \dots 0,9$), relația (3.53) devine

$$f \leq \frac{0,34}{h_m^2} \quad , \quad (3.55)$$

prezentă în /6; 72/.

Soluția agitatorului inductiv, necesare obținerii unui cimp magnetic suficient de puternic pentru a imprima metalului din baie o mișcare cu viteza medie v_{med} se obține egalând expresia forței electromagnetice "motoare" rezultante F_{em} (3.55) dată de

relațiile (2.68), respectiv (2.124) corectate cu factorul de reducere transversal r_{tx} (3.21) cu cea mecanică, calculata din relațiiile (3.51), respectiv (3.52), pentru volumul băii metalice aflat sub influența cîmpului electromagnetic inductor.

Astfel, se obțin egalitățile

$$- \text{ agitator liniar } F_{\text{em},\text{ymed}} = f_m \cdot (l_1 \cdot b_1 \cdot h_p) \quad ; \quad (3.56)$$

$$- \text{ agitator cilindric } F_{\text{em},\text{ymed}} = f_m \cdot (r_m^2 - r_p^2) \cdot h_1 . \quad (3.57)$$

Din aceste egalități rezultă valoarea intensității cîmpului magnetic la suprafața agitatorului H_{max} , iar apoi, solenăgia agitatorului. sistemului

Impedanța agitatorului - baie metalică se poate determina prin assimilarea în cazul agitatorului inductiv liniar cu un motor de inducție cu rotor masiv, un rotor de inducție liniar sau o pompă electromagnetică (pentru care sunt date calculele necesare în /5/), iar în cazul agitatorului inductiv cilindric - cu un cupor de inducție cu creuzet (calculele necesare sunt date în /1, 3, 6/), astfel că nu sunt probleme speciale pentru determinarea parametrilor schemei echivalente de calcul R și X.

Factorul de putere al agitatorului inductiv rezultă

$$\cos \varphi = \frac{R}{Z} = \frac{R}{\sqrt{R^2 + X^2}} \quad . \quad (3.58)$$

Rendamentul agitatorului inductiv se stabilește pe baza bilanțului puterii active, dat în figura 3.19, în care

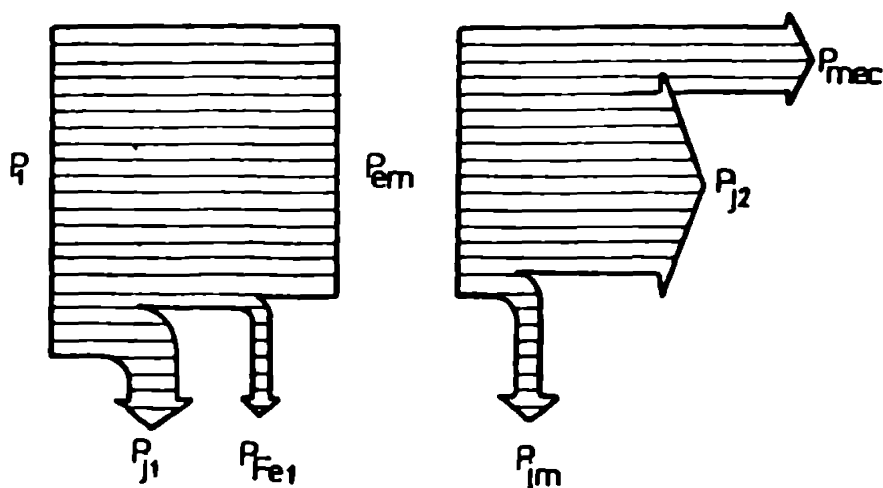


fig. 3.19. bilanțul puterii active a agitatorului inductiv.

P_1 este puterea electrică activă absorbită din rețeaua electrică de alimentare;

P_{j_1} - pierderile prin efectul Joule în înfășurarea agitatorului;

P_{Fe_1} - pierderile în miezul magnetic al agitatorului;

P_{j_2} - puterea electromagnetică transmisă prin întreier de la agitator către baia metalică;

P_{j_M} - pierderile prin efectul Joule al curentilor induși în carcasa metalică a cuptorului și în alte elemente metalice din structura de rezistență;

P_{j_2} - pierderile prin efectul Joule al curentilor induși în baia metalică;

P_{mec} - puterea mecanică a metalului transportat, inclusiv pierderile hidraulice.

ACESTE PUTERI SE POT DETERMINA PRIN RELAȚII CUNOȘCUTE, CONFORM ASIMILĂRII MENȚIONATE. ÎN CE PRIVEȘTE PIERDERILE P_{j_M} , STUDIUL ACESTORA ESTE DAT ÎN LUCRĂRIILE /5 : 79/.

Puterea mecanică a metalului transportat este

$$P_{mec} = F_{mec} \cdot v_{med} \quad . \quad (3.59)$$

Rândamentul agitatorului este dat de raportul dintre puterea utilă, care este puterea mecanică P_{mec} și puterea activă absorbită de inductor P_1 din rețeaua de alimentare.

$$\eta = \frac{P_{mec}}{P_1} = \frac{P_{mec}}{P_{mec} + (P_{j_1} + P_{Fe_1}) + (P_{j_M} + P_{j_2})} \quad . \quad (3.60)$$

Dacă se consideră că pierderile prin efectul Joule al curentilor induși în baia metalică constituie un apert util de căldură care face ca racirea metalului topit, pe durata amestecării electromagnetice, să fie incetinită, atunci rândamentul are expresia

$$\eta = \frac{P_{mec} + P_{j_2}}{P_1} \quad . \quad (3.61)$$

Alăturind acestuia și rândamentul sursei de alimentare η_s , se obține rândamentul instalației de amestecare

$$\eta_{inst} = \eta \cdot \eta_s \quad . \quad (3.62)$$

$$\eta_{inst} = \eta \cdot \eta_s \quad .$$

C A P. 4. REALIZĂRI ȘI REZULTATE EXPERIMENTALE

Intrucit un obiectiv principal al cercetării teoretice cu privire la variația cîmpului electromagnetic în sistemele de amestecare prin inducție electromagnetică, dezvoltată în capitolul 2, și constituie stabilirea formulelor de calcul pentru forțele electromecanice ce se exercită în baie metalică supusă amestecării cercetarea experimentală s-a efectuat îndeosebi pe această direcție. Astfel, în cele ce urmează se vor expune rezultatele măsurătorilor efectuate asupra forțelor electromagnetice, fără a se mai prezenta elementele de dimensionare a agitatoarelor și măsurătorile parametrilor electrici (E , X , $\cos\varphi$ și.a.)

S-a urmărit verificarea următoarelor probleme:

- obținerea mișcării metalului în baie metalică menționată în § 1.1.1, în legătură cu figurile 1.5 și 1.6, respectiv în § 1.1.2 în legătură cu figurile 1.11 și 1.12;
- verificarea atenuării amplitudinii intensității cîmpului magnetic în intregișorul sistemului agitator-baie metalică, dată de relațiile (2.40), respectiv (2.137);
- Verificarea expresiilor obținute pentru forțele electromagnetice motoare (2.43), (2.45), (2.68), (2.99), (2.101), (2.124), prin modificarea parametrilor conținuți în aceste formule;
- omogenizarea unui aliaj cu segregării prin amestecarea prin inducție a băii topite într-o formă de turnare.

4.1. Agitatoare inductive realizate

În vederea experimentărilor, s-au proiectat și executat patru agitatoare inductive, unul curbiliniu, unul linier și două cilindrice.

Dimensionarea lor s-a făcut cu respectarea recomandărilor expuse în § 1.2 și cap.3. Principalii parametri constructivi sunt dați în tabelul 4.1.

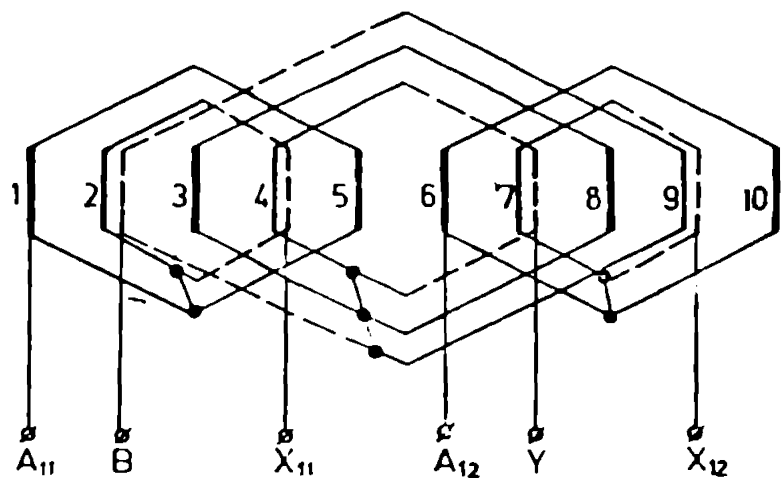
În figura 4.1 este prezentată vederea agitatorului curbiliniu și schema infilăturii acestuia. Agitatorul curbiliniu este realizat pentru o baie cu mercur.

Tablou 4.1

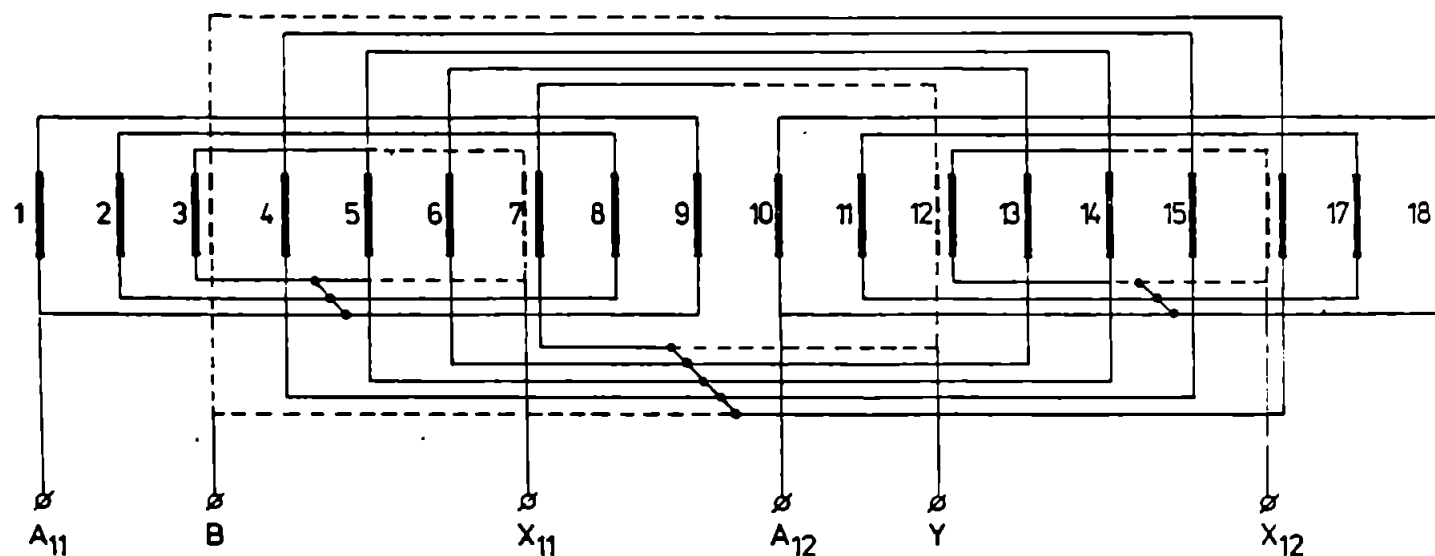
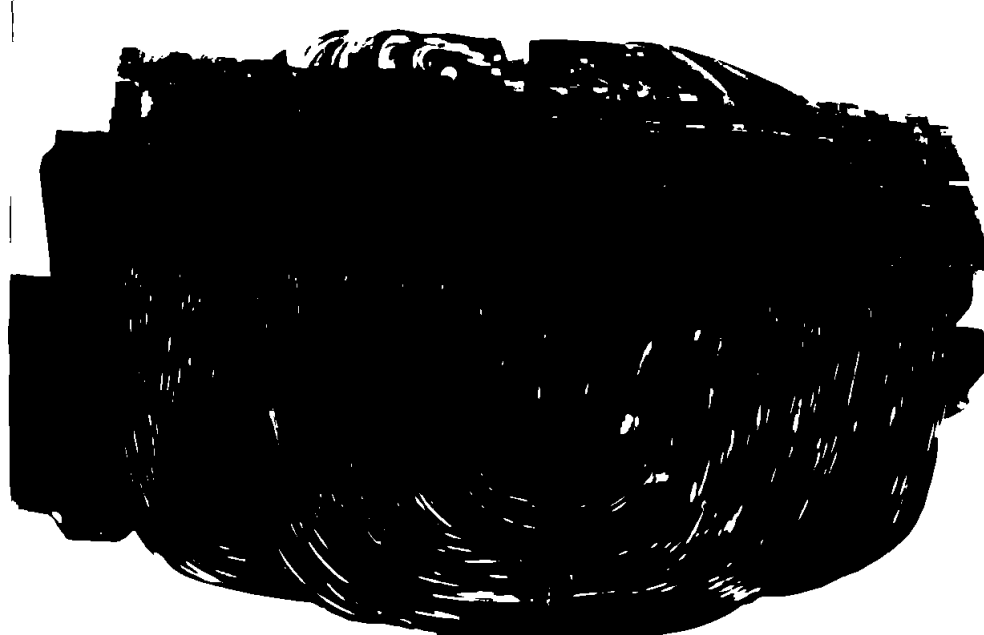
Ripul agitatorului	Curbiliniu	Uniar	Cilindric	Cilindric
Lățimea l_1 , m	0,165	0,185	-	-
Inălțimea h_1 , m	-	-	0,19	0,380
Încalzitorul \tilde{I}/\tilde{G}	0,0025	0,0025	0,020	0,14
Actorul \tilde{I}/\tilde{G}	30	54	62,8	22,4
Lățimea b_1 , m	0,032	0,042	-	-
isometrul \tilde{c}_1 , m	-	-	0,09	0,280
Numărul total de spire ale înfășurării, Z	250	406	580	216
Secțiunea conductorului	$\varnothing 2$ mm	$21,8$ mm	$\varnothing 1$ mm	10×2 mm
Intensitatea nominală, I, A	10	10	10	100



Fig.4.1. Agitator inducție curbiliniu pentru o baie cu mercur
a-vizare; b-schemă electrică.



In figura 4.2 este prezentat agitatorul inductiv liniar-vederea și schema electrică a înfășurării.

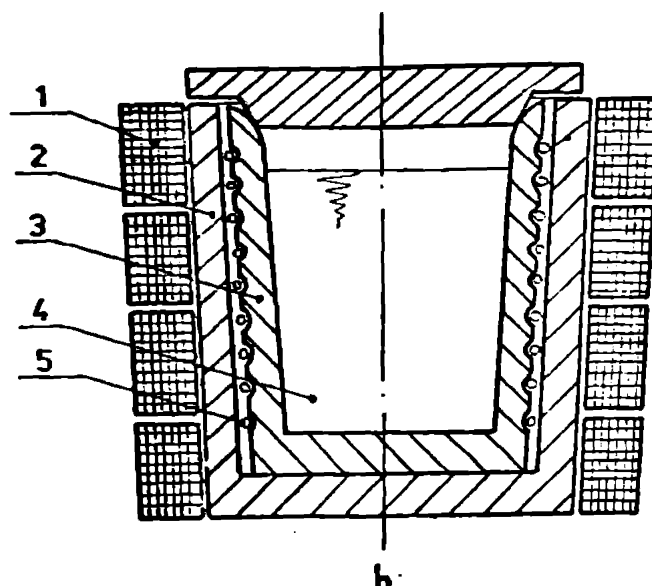


4.2 Agitator inductiv liniar
a - vedere; b - schema electrică a înfășurării

In figura 4.3 este dată vedere, secțiune și schema electrică a înfășurării agitatorului inductiv cilindric destinat printr-o organizare unor aliaje binare în vedere unor măsurători de laborator metalurgice. Agitatorul inductiv 1 este amplasat în exteriorul unui creuzet cilindric (tip pahar) 2 în interiorul căruia este înălțat creuzet 3 care conține aliajul 4. Sopirea și închiderea aliajului se realizează prin rezistorul 5. Creuzetele sunt prevăzute cu un capac.



a



b

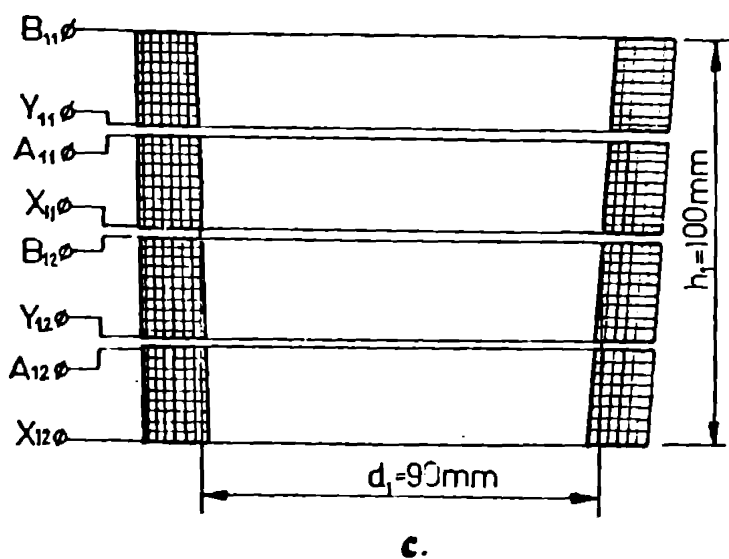


fig.4.3. Agitator inductiv cilindric
a- vedere; b- secțiune verticală; c- schema electrică a înfășurării

In figura 4.4 este prezentat agitatorul inductiv cilindric pentru o caldă de turnare. Acesta este destinat omogenizării unui aliaj în caldă de turnare, întrucât una din fazele aliajului se-gregă în timpul topirii, în cuptor și în timpul turnării, în caldă.

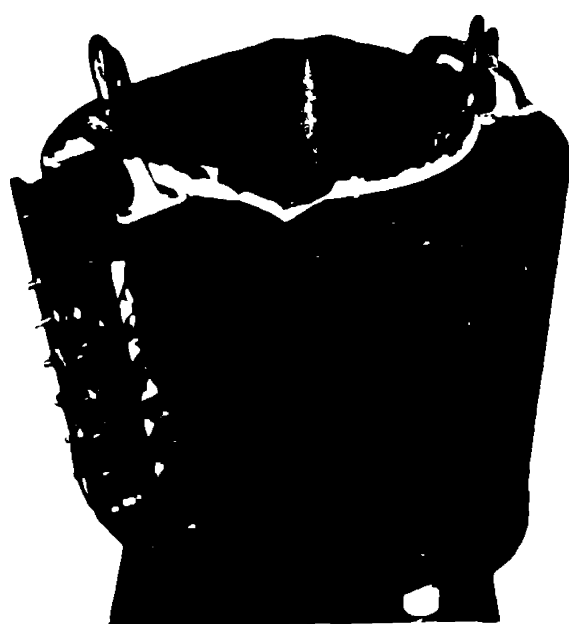
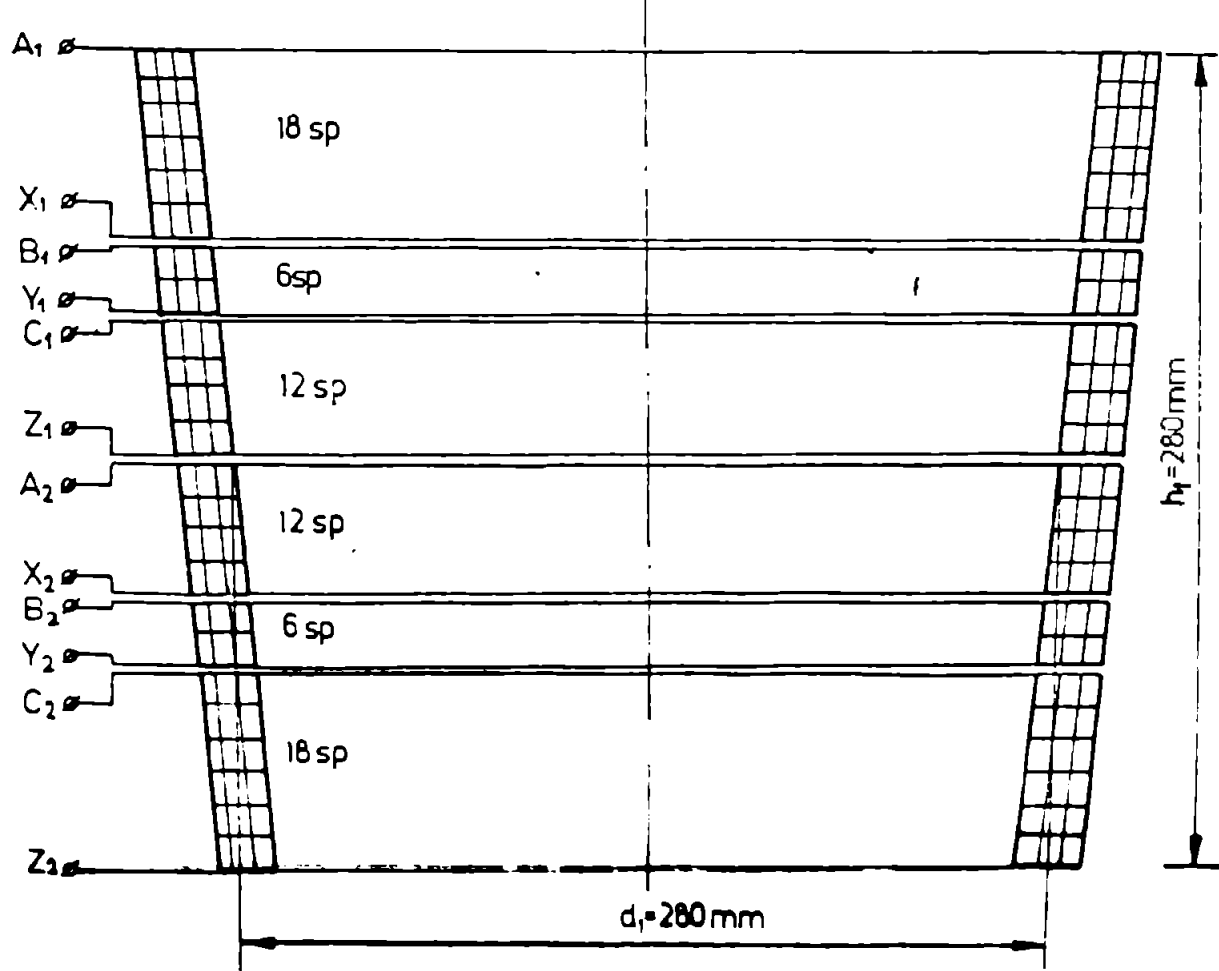
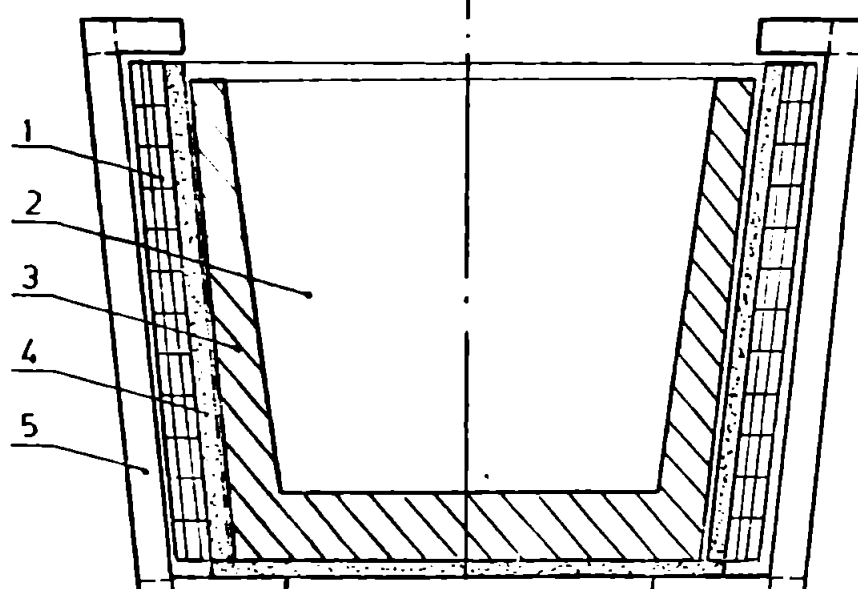
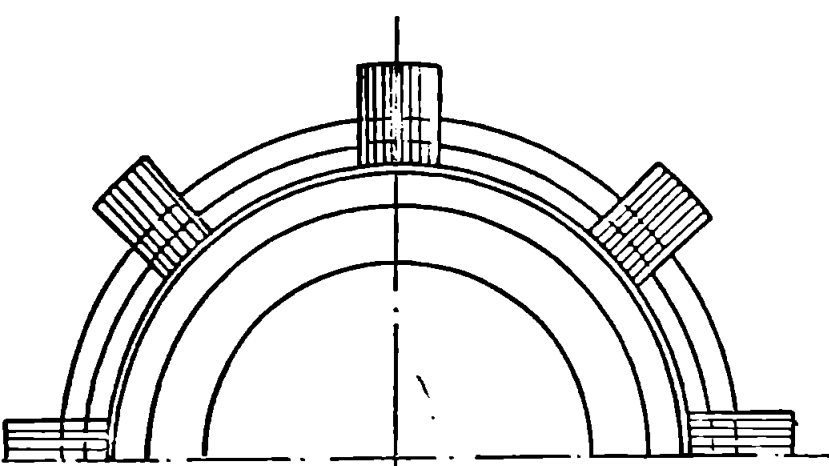


fig.4.4. Agitator inductiv cilindric pentru o caldă de turnare
a- vedere; b- secțiune verticală; c- schema electrică a înfășurării
1-înfășurare; 2-caldă de turnare; 3-baie metalică
4-isolație termică (asbest); 5-ecran feromagnetic.



4.2. Mișcările băii metalice amestecate prin inducție electromagnetică

S-a constatat vizual, cu mare ușurință posibilitatea obținerii celor patru tipuri de mișcare a băii metalice menționate în § 1.1.1. Informativ se dă figura 4.5, în care se distinge turbulența produsă la suprafață prin mișcarea mercurului în baie. S-a remarcat proporționalitatea dintre intensitatea curentului electric de alimentare a agitatorului inductiv și intensitatea amestecării.

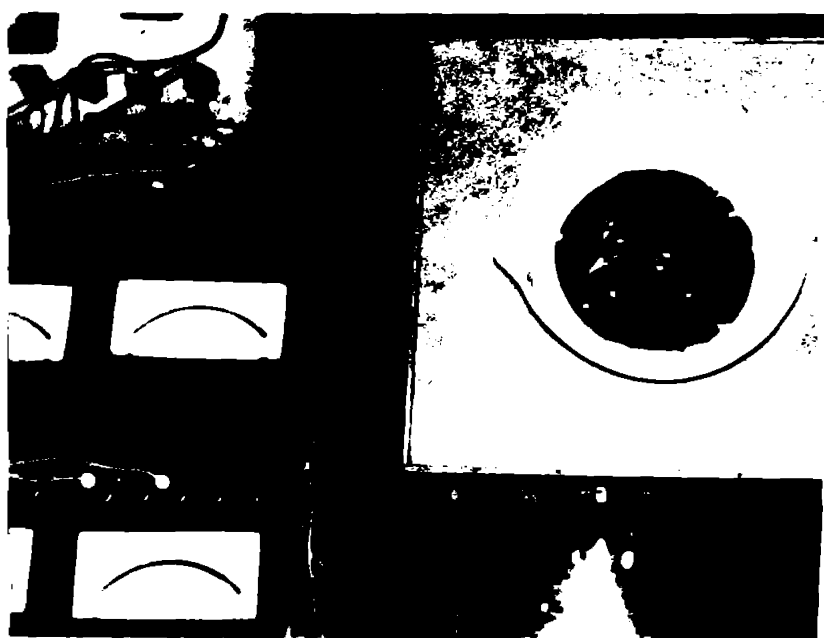


Fig.4.5. Mișcarea mercurului sub acțiunea agitatorului inductiv curbiliniu.

Încercarea s-a făcut cu aceleasi rezultate favorabile și asupra agitatorului inducțiv cilindric (fig.4.3), introducindu-se mercurul în crouzetul 3. S-a observat mișcările băii metalice menționate în § 1.1.2.

4.3. Inducția magnetică în interiorul sistemului agitator - baie metalică

În figure 4.6 este dat spectrul liniilor ce corespund corespunzător celor două faze ale înșurării, vizualizat cu pulbere de fier (figura 4.6,a corespunde pentru fază I iar figura 4.6,b - pentru fază II).



fig.4.6 spectrul liniilor de cîmp magnetic
a- pentru fază I; b- pentru fază II.

În interiorul sistemului agitator inductiv curbiliniu - baie metalică s-a măsurat inducția magnetică B_z cu ajutorul unui teslametru cu conuri Hall (fig.4.7). Agitatorul s-a alimentat succesiiv pe cele două faze, de la o sursă de curent continuu stabilizată cu un curent de 10A. Valorile măsurate sunt prezentate în figura 4.8,a.

În figura 4.8 este comparată variația teoretică a amplitudinii componentei B_z pentru I = 1A, determinată din relația (2.82) cu valorile măsurate.

Amplitudinea intensității cîmpului magnetic la suprafața agitatorului se determină cu relația

$$B_{max} = \sqrt{2} A \frac{\mu_0}{\rho} = \sqrt{2} \frac{I_0}{2\pi r} = \sqrt{2} \frac{\pi 2 A}{125} \frac{\mu_0}{\rho} \quad (4.1)$$

când în vedere $\mu_0 = 1$, $r = 1$,

$$B_{max} = \frac{2\sqrt{2}}{2\pi} \frac{A}{\rho} \frac{\mu_0}{\rho}, \quad (4.2)$$

în care Z este numărul total de conductoare din creștăturile înfășurării;

- m - numărul fazelor înfășurării;
- n - numărul spirilor pe o fază a înfășurării;
- p - numărul perechilor de poli ai înfășurării;
- φ - pasul polar al înfășurării ($2p\varphi = l_i$);
- f_1 - factorul de înălțare al fundamentalului



fig.4.7 - măsurarea inducției magnetice în întreier cu teslametru.

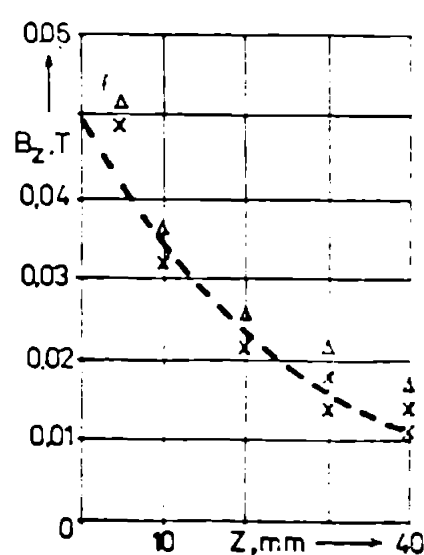
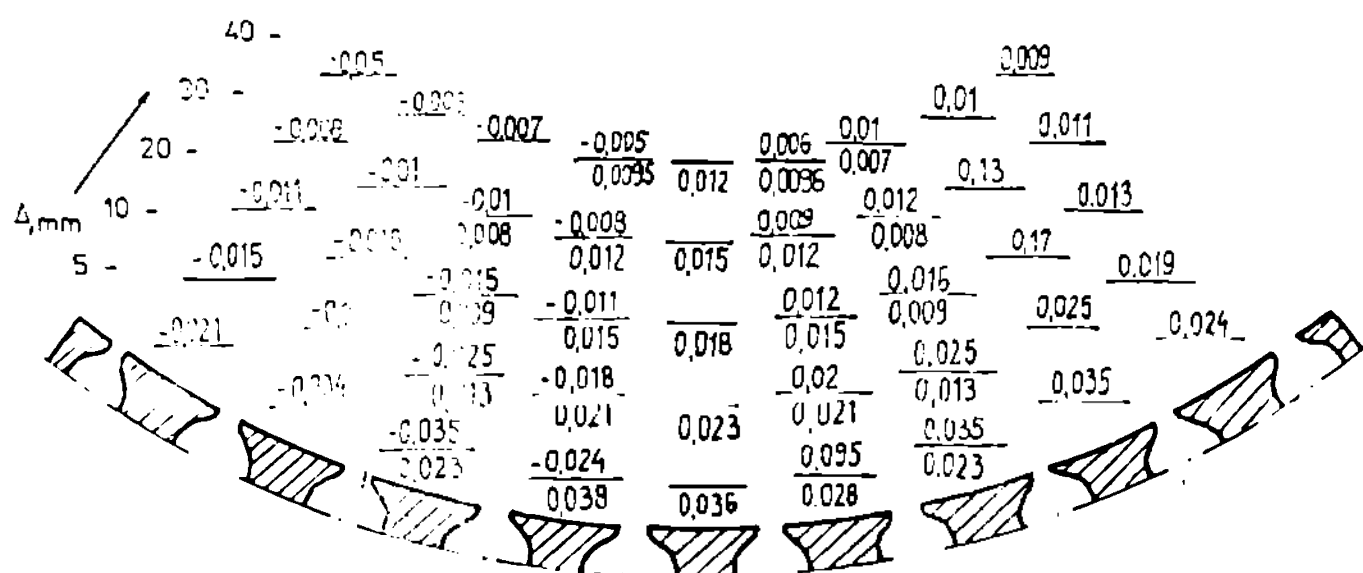


fig.4.8 Variatia amplitudinii inducției magnetice în întreierul apăratului curbiliniu a - valori măsurate (la numărător - fază I); b - compararea valorilor teoretice (curbe) cu valorile măsurate (UNICL.)

Factorul de înășurare se determină aproximativ pentru o înășurare de calcul bifazată introdusă în 8 crestături, cu pas diametral, avind $Q_p = 8/2 \cdot 1 = 4$ crestături pe pol și $q = 8/2 \cdot 1 \cdot 2 = 2$ crestături pe pol și fază /67/; se obține $j_1 = 0,924$.

Valearea teoretică a amplitudinii intensității cîmpului magnetic la suprafața agitatorului (4.1), pentru datele din tabelul (4.1) la $I = 10A$ este

$$H_{\max} = \sqrt{2} \cdot \frac{500 \cdot 10}{2 \cdot 1 \cdot 0,825} \cdot 0,924 = 0,4 \cdot 10^5 \text{ Asp/m}, \text{ căreia}\\ \text{fi corespunde } B_{\max} = 0,05 \text{ T.}$$

Valorile măsurate al inducției magnetice (fig.4.8,a) s-au înmulțit cu $\sqrt{2}$, pentru a obține amplitudinile și s-au reprezentat prin puncte în figura 4.8,b. Se observă că variația teoretică a amplitudinii inducției magnetice în întrefier (componenta B_s), calculată cu (2.24) este foarte apropiată de valorile măsurate.

In cazul agitatorului cilindric, compararea valorilor măsurate cu cele teoretice este dată în figura 4.9

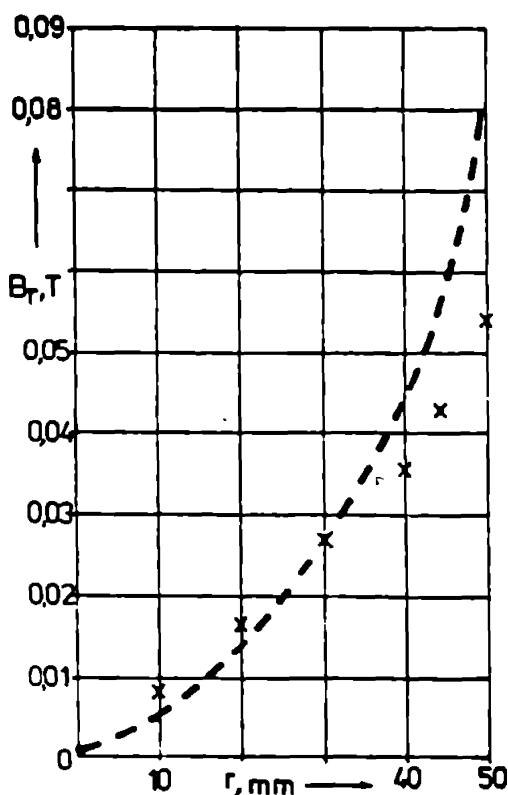


Fig.4.9 Variația amplitudinii inducției magnetice în întrefierul agitatorului cilindric

Valearea teoretică a amplitudinii intensității cîmpului magnetic la suprafața agitatorului (4.1) este pentru $I = 10A$:

$$H_{\max} = \sqrt{2} \cdot \frac{580 \cdot 10}{2 \cdot 10 \cdot 0,05} = 0,8 \cdot 10^5 \text{ Asp/m},$$

căreia fi corespunde $B_{\max} = 0,1 \text{ T.}$

Se constată o neconcordanță între valoriile teoretice și cele măsurate. Din acest motiv, pentru a nu nălădișca rezultatele calculului lor ce se vor face asupra vorticilor electromagnetice, în expresiile acestora se va introduce valoarea "măsurată" pentru H_{max}

$$H_{max} = \frac{B_{max}}{4\pi} = \frac{1}{4\pi} \sqrt{\mu_0} B_{xi} \cdot \frac{1}{I_0 \left(\frac{\pi}{2} r_i \right)}$$

$$H_{max} = \frac{1}{4\pi} \sqrt{\mu_0} \cdot 0,038 \cdot \frac{1}{0,82} = 0,52 \cdot 10^5 \text{ Asp/z}$$

4.4. Vorticile electromagnetice

a. Forță electromagnetică tangentă $F_{tan} = \mu_0 H_x(s) \cdot I$

verificat la agitatorul inductiv curbiliniu și la col cilindric, cu montajele prezentate în figurile 4.10, respectiv 4.13.

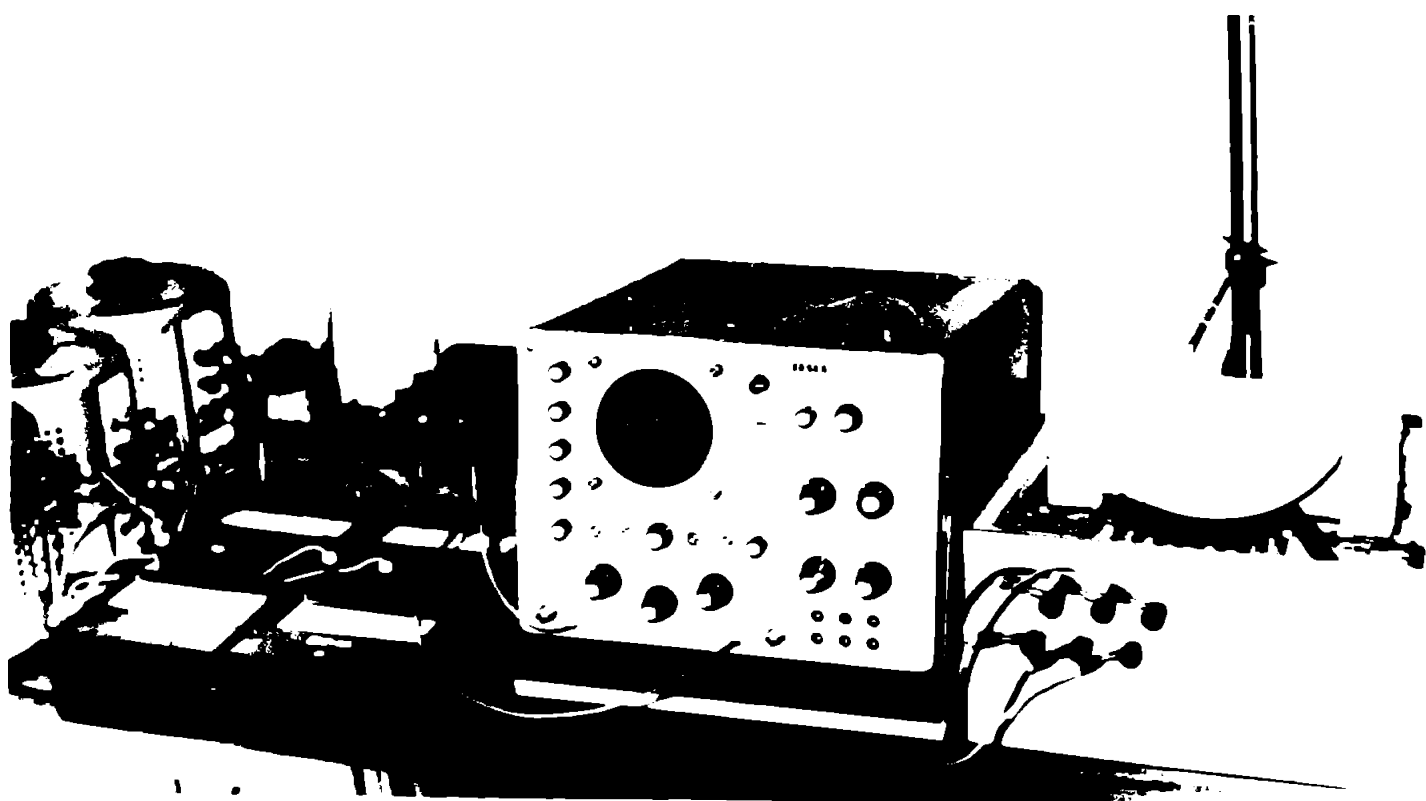


Fig.4.10 Montajul pentru verificare forței electromagnetice tangențiale

1.4. Vorticile electromagnetice
în cilindri curbi

Sub acțiunea forței electromagnetice F_{em} , plăcuța dreptunghiulară curbilinie de greutate G este deplasată din poziția inițială într-o nouă poziție de echilibru, care conform legii pendulului - figura 4.11, se obține la

$$F_{\text{em}} = G \cdot \frac{a}{l} \quad (4.3)$$

Avind în vedere grosimea "g" a plăcuței, rezultă forță electromagnetică tangențială

$$F_{\text{em}}^{\text{tangential}} = \frac{F_{\text{em}}}{g} = \frac{G \cdot \frac{a}{l}}{g \text{ [mm]}} = 9.81, \text{ N/m.} \quad (4.4)$$

Grosimea plăcuțelor s-a luat cît mai mică, pentru ca forța electromagnetică să aibă un caracter superficial cît mai pronunțat, lățimea s-a luat egală cu lățimea agitatorului, iar lungimea ceva mare, pentru ca prin deplasare să rămână sub acțiunea cimpului electromagnetic inductor pe totă lungimea agitatorului.

In tabelul 4.2 sunt date parametrii de calcul ai plăcuțelor utilizate, iar în tabelul 4.3. rezultatele măsurătorilor efectuate, în paralel cu valorile calculate cu formula (2.45) corectată cu factorul de reducere transversal (3.21). Pentru datele constructive ale agitatorului, $r_{tr} = 0,126$ (se ia $k = 0$ în relația (3.21) și fig.3.4). Pe baza acestora, s-au construit diagramele din figura 4.12 pentru a se putea compara mai ușor valorile calculate cu cele măsurate, reprezentate prin puncte. Se constată erori acceptabile.

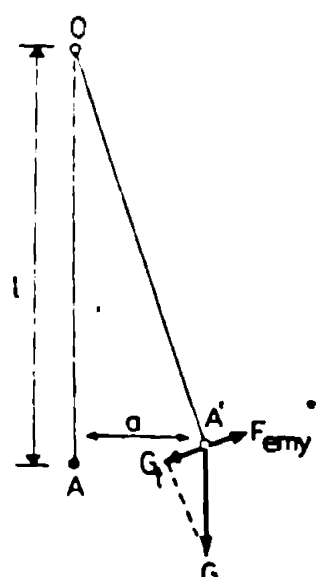
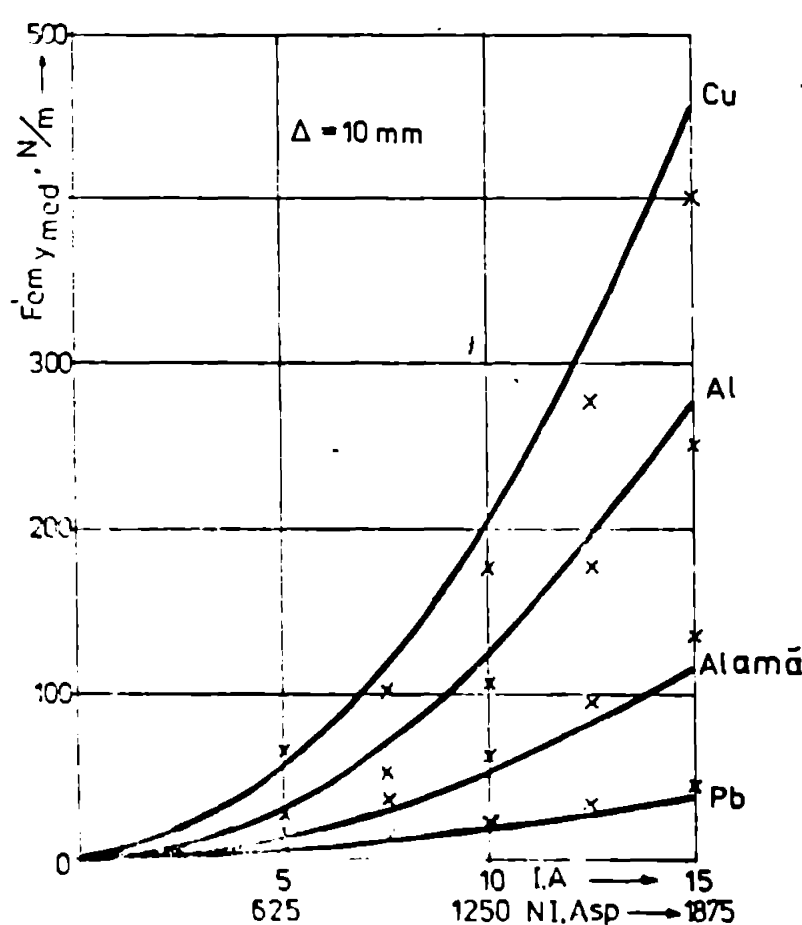


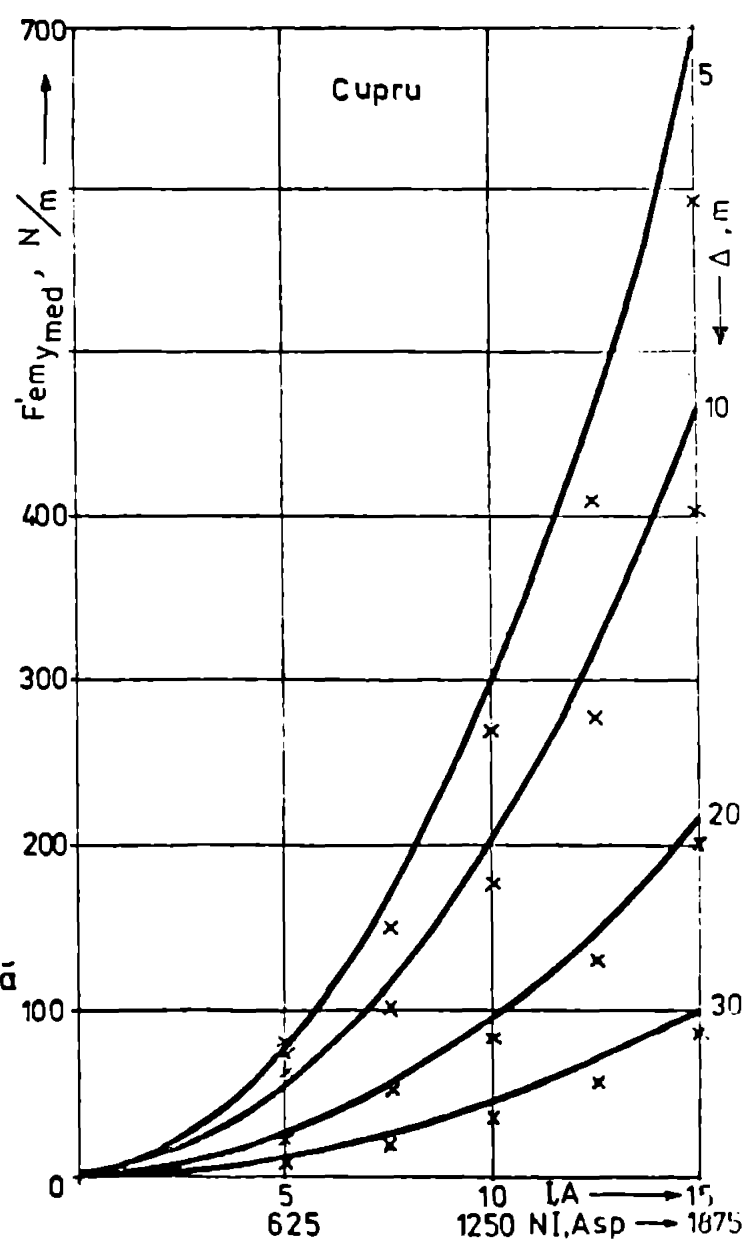
Fig.4.11 echilibrul
reprezentat din relație

Tabel 4.2

Material	Grosime g, mm	Vîntate [grf]	Constantă K^2
Cupru	0,45	32,5	11289
Aluminiu	1,0	18,5	6867
Alamă	0,7	45,5	2829
Plumb	1,8	186,0	965



a

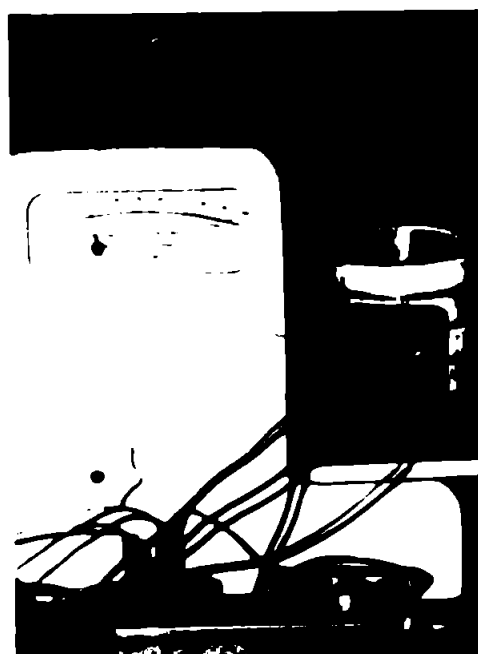


b

Fig.4.11 Variatia forței electromagnetice tangențiale
 $F'_{em,ymed}$ cu intensitatea curentului electric a - parametru
 σ ; b - parametru Δ

Tabel 4.3

Material	Δ mm	Forță electromagnetică					
		$I = 5A$		$I = 10A$		$I = 15A$	
		Teoretic	Măsurat	Teoretic	Măsurat	Teoretic	Măsurat
cupru	5	73	25	298	267	667	590
	10	52	34	102	126	431	400
	20	24	22	92	80	17	200
	30	11	9	45	45	36	85
aluminiu	5	44	38	180	152	403	332
	10	21	25	122	102	21	149
	20	15	15	57	45	131	108
	30	7	5	26	22	9	48
stală	5	18	21	75	83	167	138
	10	13	15	21	30	11	134
	20	6	7	24	17	54	64
	30	3	4	11	12	24	29
plumb	5	6	7	24	32	24	63
	10	4	5	12	22	37	43
	20	2	2	8	11	17	21
	30	1	1	3	4	5	9



Tabel 4.4

Material	Procesare, s, mm	Diametru c, mm
Cupru	0,6	64
		77
		85
Aluminiu	1,0	64
		77
		85

Fig.4.15. echilibrarea forței
electromagnetice pe cintar

Lăsărătorile pentru agitatorul inductiv cilindric s-au făcut cu montajul din figura 4.13. Forța electromagnetică tangențială F' ~~expresă~~
a măsurat prin determinarea forțelor exercitate asupra unor cilindri roti, cu pereti subțiri, din diferite materiale (cupru și aluminiu), sub acțiunea forței F_{emz} exercitată de cimp asupra cilindrilor și grosimea g , aflați în poziție verticală, aceștia fiind încărcați sau descărcăți, în funcție de sensul de acțiune al forței, la o valoare G' ; astfel, punând cilindrul pe un cintar, indicația acestuia ($G'-G$), respectiv ($G-G'$) va fi egală cu cea a forței F_{emz} .

Forța electromagnetică tangențială este

$$F'_{emz\ med} = \frac{F_{emz}}{g \Delta} [grf] \quad \cdot 9,81, \text{ N/m.}$$

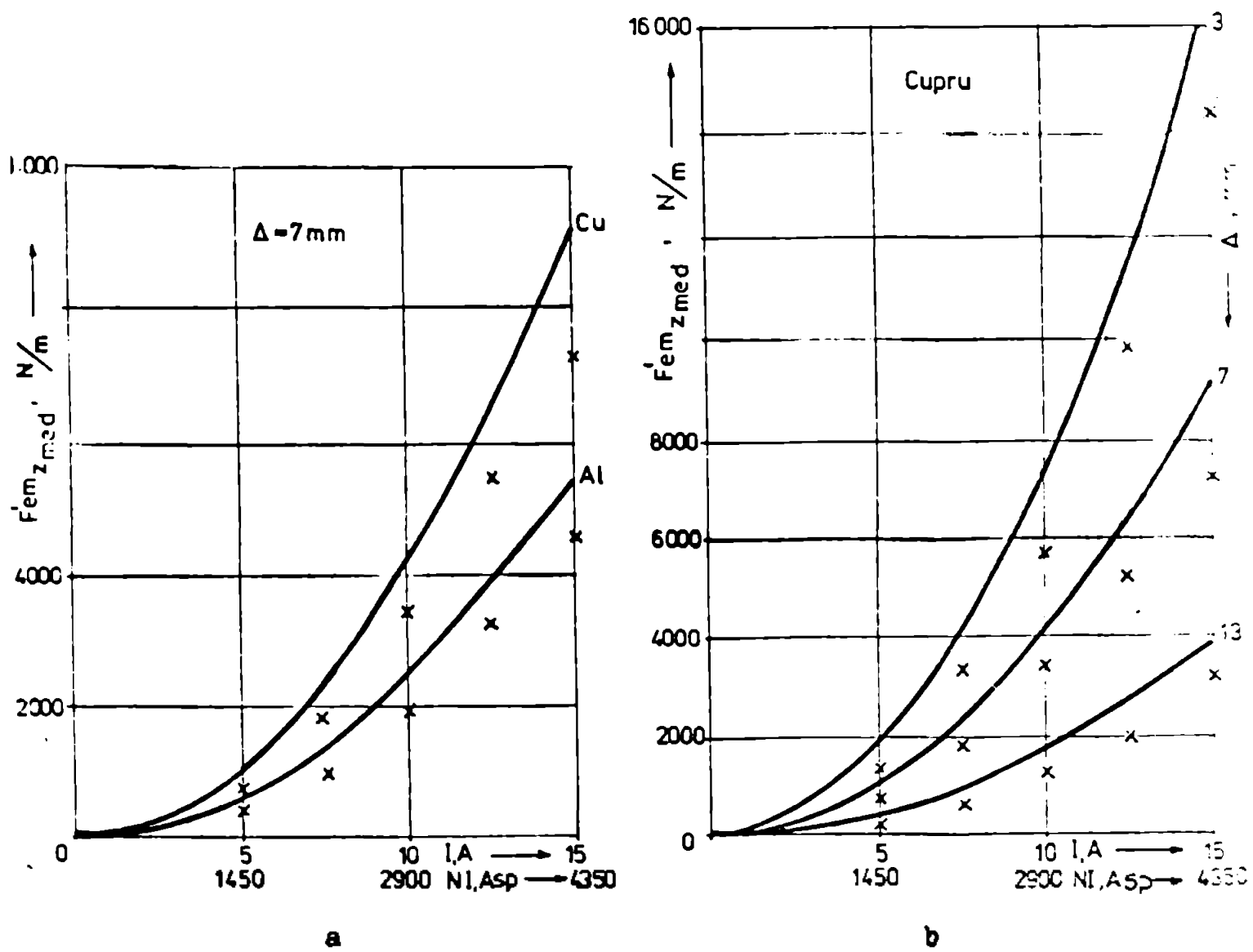


Fig.4.14 Variatia forței electromagnetice tangențiale $F'_{emz,med}$ cu intensitatea curentului electric a - parametru Δ
b - parametru Δ

Inălțimea cilindrilor s-a luat mai mare decât cea a agitatorului, pentru ca prin deplasare să rămână sub acțiunea cimpului electromagnetic inductor pe toată înălțimea agitatorului. Grosimea peretilor cilindrilor s-a luat cu mult mică, pentru ca forța electromagnetică să aibă un prezentat caracter superficial.

În tabelul 4.4 sunt date parametri cilindrilor utilizati, iar în tabelul 4.5 - rezultatele măsurătorilor efectuate fu paralel cu valorile teoretice. Pe baza acestora s-au construit diagramele din figura 4.14, pentru a se putea compara mai ușor valorile calculate cu formula (2.101) cu cele măsurate, reprezentate prin puncte. Se constată erori acceptabile

Tabel 4.5

Material	Δ	Forță electromagnetică			$F_{\text{emg}}^{\text{med.}}$, N		
		I = 5A	I = 10A	I = 15A			
Supru	3	Teoretic 1810	Măsurat 1409	Teoretic 7240	Măsurat 5746	Teoretic 16300	Măsurat 14309
	7	1010	770	4100	3402	9160	7365
	13	430	331	1720	1319	3880	3284
Aluminiu	3	1090	832	4370	3385	9830	7828
	7	610	473	2460	1962	5530	4542
	13	260	202	1040	846	2340	1879

b. Forța electromagnetică rezultantă $F_{\text{emg}}(z)_{\text{med}}$ s-a verificat exact în ipoteza de calcul simplificatorie care a stat la baza determinării formulei de calcul. Întrucât bâia metalică se consideră că se deplasează în totalitate ca un corp rigid, cu o viteză medie V_{med} , s-a înlocuit această bâie cu o placă metalică de o anumită grosime. Placa metalică rămânind imobilă, se va lua alunecarea $s = 1,0$.

Alimentând agitatorul inductiv cu o tensiune de frecvență $f = 50$ Hz și specificând o eventuală viteză de deplasare a metalului $V_m = 1\text{m/s}$ (o valoare mare față de valorile usuale), alunecarea ar fi, conform relației (2.32)

$$s = \frac{2\pi f - V_m}{2\pi f} = \frac{9,25 - 1}{9,25} = 0,89,$$

cădici o valoare destul de apropiată de unitate.

În cazul agitatorului inductiv liniar s-au făcut experimentările cu montajul din figura 4.15, forța electromagnetică încărcind sau desărcind placă metalică de greutate G la o nouă valoare G'. S-a utilizat

plăci dreptunghiulare din cupru și din aluminiu, cu grosime de 10 mm , fiind realizată condiția (3.25); nu este însă îndeplinită condiția limită (3.11), date fiind dimensiunile agitatorului.

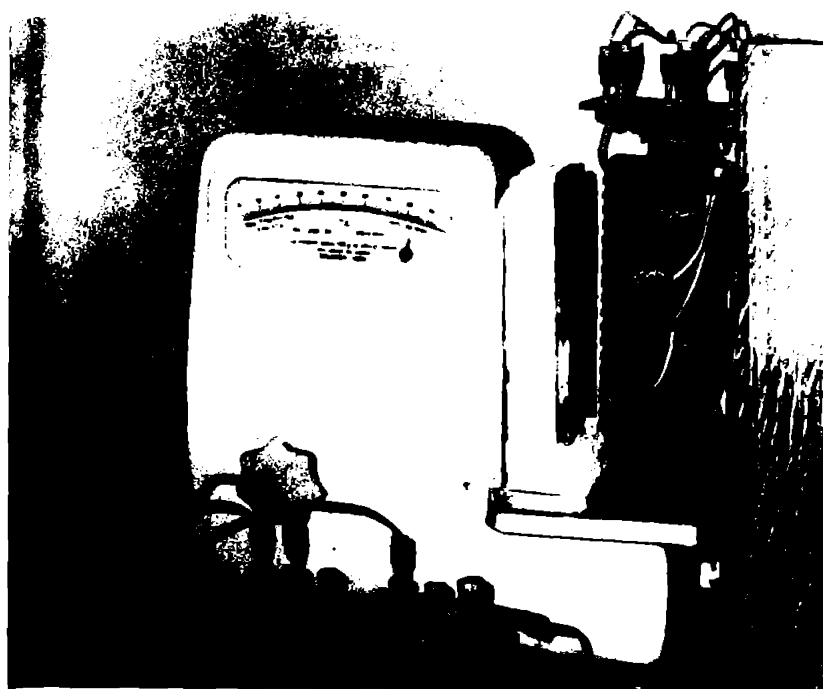


fig. 4.15 Determinarea forței electromagnetice "motoare" rezultante "enșed" la un agitator liniar

La frecvența de 50 Hz , adâncimea h este

$$h_{\text{Cu}} = \frac{\delta s_{\text{Cu}}}{2} = \frac{1}{2k_{s\text{Cu}}} = 4,71 \cdot 10^{-3} \text{ m} < 10 \cdot 10^{-3} \text{ m},$$

$$h_{\text{Al}} = \frac{\delta s_{\text{Al}}}{2} = \frac{1}{2k_{s\text{Al}}} = 6,95 \cdot 10^{-3} \text{ m} < 10 \cdot 10^{-3} \text{ m}.$$

Intensitatea cîmpului magnetic la suprafața agitatorului se ia cu valoarea calculată conform (4.2),

$$H_{\text{max 10A}} = \frac{2 \cdot \sqrt{2,203,10}}{92,5 \cdot 10} \cdot 0,906 = 0,50 \text{ Apsi/m.}$$

In relația (2.68), factorii m_1 , m_2 , respectiv factorul de forță b_2 (m_1 , m_2 , h) au valorile

- cupru : $m_1 = 106,6$; $m_2 = 101,0$; $" = 0,00644$;

- aluminiu: $m_1 = 86,07$; $m_2 = 79,02$; $" = 0,00552$.

In tabelul 4.6 se dă valorile calculat pentru forță elctromagnetică rezultantă prin relațiile (2.45), respectiv (2.5), corectate cu factorul de reducere transversal r_{tr} (3.31); de asemenea sunt trecute și

Valorile măsurate cu montajul din figura 4.15

Material	Δ	Forța electromagnetică				F _{EM} calc., N				Tabel 4.6	
		I = 5A		I = 10A		I = 15A					
		mN(2.43)	(2.68)	Măsu- rat	(2.43)(2.68)	Măsu- rat	(2.43)(2.68)	Măsu- rat	(2.43)		
Cupru	5	2,71	1,19	0,95	10,86	4,77	4	24,4	10,74	8,7	
	10	1,93	0,85	0,65	7,73	3,4	3,1	17,4	7,65	6,6	
	20	0,98	0,43	0,33	3,9	1,72	1,77	8,82	3,88	3,25	
	30	0,49	0,22	0,19	2	0,87	0,66	4,46	1,96	1,47	
	40	0,25	0,11	0,088	1	0,44	0,39	2,26	0,99	0,72	
Alu- miniu	5	1,64	0,72	0,70	6,55	2,88	2,8	14,7	6,48	6,2	
	10	1,16	0,51	0,49	4,66	2,05	1,77	10,5	4,6	4,02	
	20	0,59	0,26	0,24	2,35	1,04	0,99	5,3	2,34	2,2	
	30	0,29	0,13	0,13	1,2	0,52	0,5	2,7	1,18	1,04	
	40	0,15	0,07	0,069	0,6	0,26	0,25	1,37	0,6	0,58	

In figurile 4.16 și 4.17 sunt prezentate variațiile forței electrome-
nogene în raport cu intensitatea curentului electric I, respectiv cu
intrefierul Δ , atât în valorile teoretice cât și în cele măsurate; în
figura 4.17 se-a reprezentat forța calculată cu relația (2.68).

In experimentarea agitatorului inductiv liniar s-au făcut și de-
terminări asupra influenței frecvenței tensiunii de alimentare asupra
forței electrome-
nogene. Montajul din figura 4.15 a fost alimentat cu
frecvență joasă, variabilă, de la un generator sincron și a modificat
turația.

In tabelul 4.7 sunt date valorile parametrilor ce intervin în
relația (2.68), a forței calculate cu această relație corectată cu
factorul de reducere transversal r_{tr} (3.21) și a forței măsurate.
Calculele și măsurările s-au făcut pentru $\Delta = 5$ mm, supra unor
plăci de 10 mm grosime.

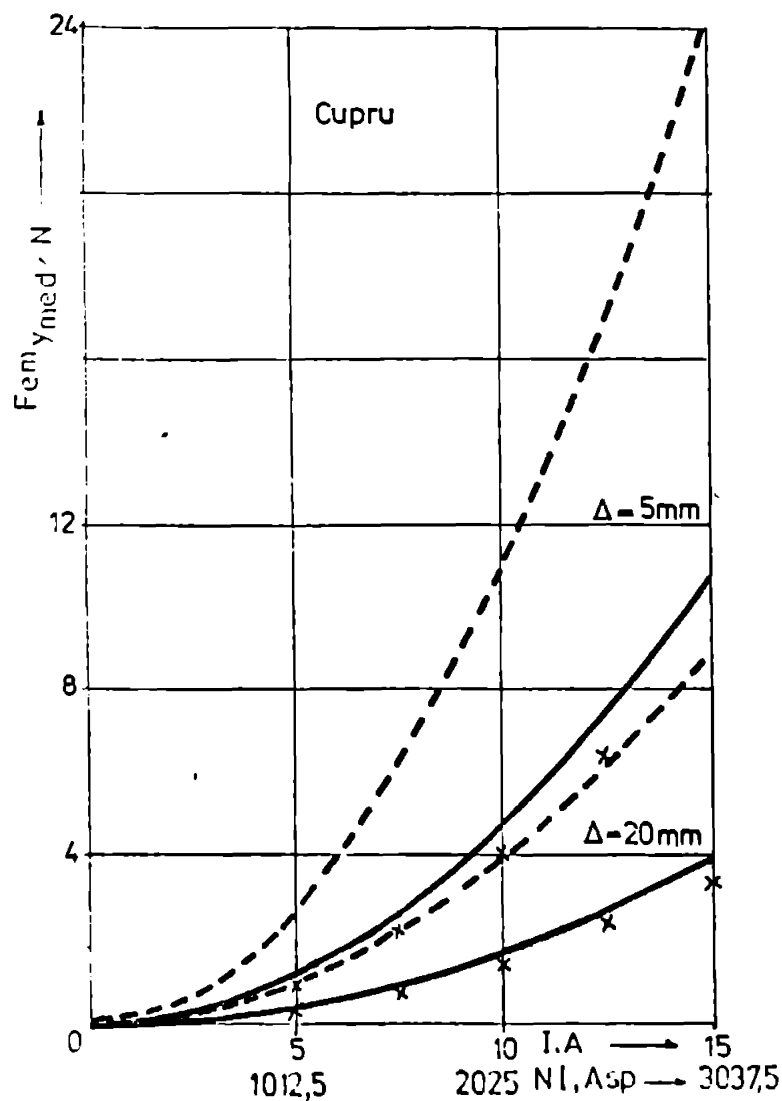


Fig.4.16 Variatia forței electro-magnetice rezultante cu intensitatea curentului electric

- relația (2.43);
- relația (2.68);
- x valori măsurate

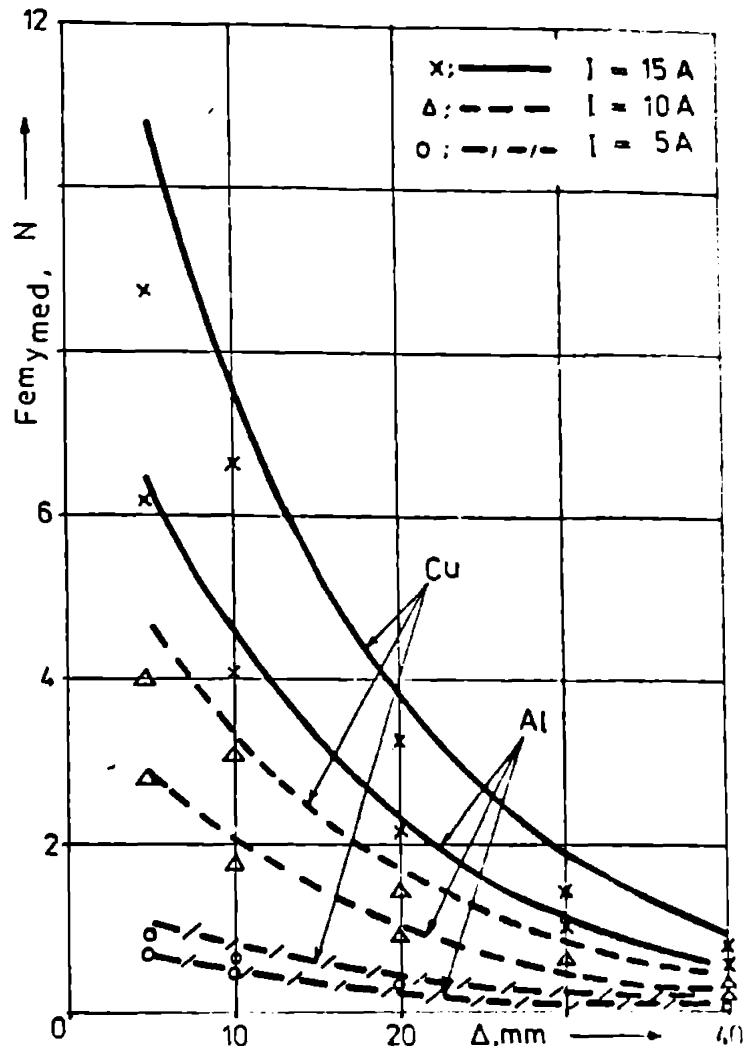


Fig.4.17 Variatia forței electro-magnetice rezultante cu între-fierul Δ

- curbele — relație (2.68);
- x punctele — valori măsurate

tabl. 4.7
Forță electromagnetică
cărmădită, N

Material	f_{Hz}	k_s^2	δP_{mm}	m_1	m_2	$F_2''(m_1, m_2, h)$	Forță electromagnetică			
							$I = 3,5A$	$I = 5A$	Calculat	Calculat
Cu- br	50	11280	4,71	105,6	101,1	0,00644	0,59	0,50	1,2	0,95
	33,3	7,512	6,04	90	85,4	0,00648	0,4	0,42	0,81	0,84
	25,8	5,819	6,85	80,2	72,6	0,00651	0,31	0,35	0,63	0,7
	19,8	4,473	7,77	71,3	62,7	0,00653	0,23	0,28	0,48	0,59
	10,8	2,443	10,6	55,6	44	0,00656	0,1	0,14	0,2	0,31
Alu- miniu	50	6807	6,06	85,1	79,1	0,00652	0,58	0,52	0,73	0,70
	33,3	4533	7,4	71,7	63,2	0,00653	0,24	0,27	0,49	0,55
	25,8	3512	8,4	64,3	54,6	0,00654	0,19	0,21	0,38	0,44
	19,8	2700	9,6	57,8	46,7	0,00655	0,14	0,17	0,29	0,34
	10,8	1474	13	46,5	39,3	0,00651	0,07	0,10	0,16	0,19

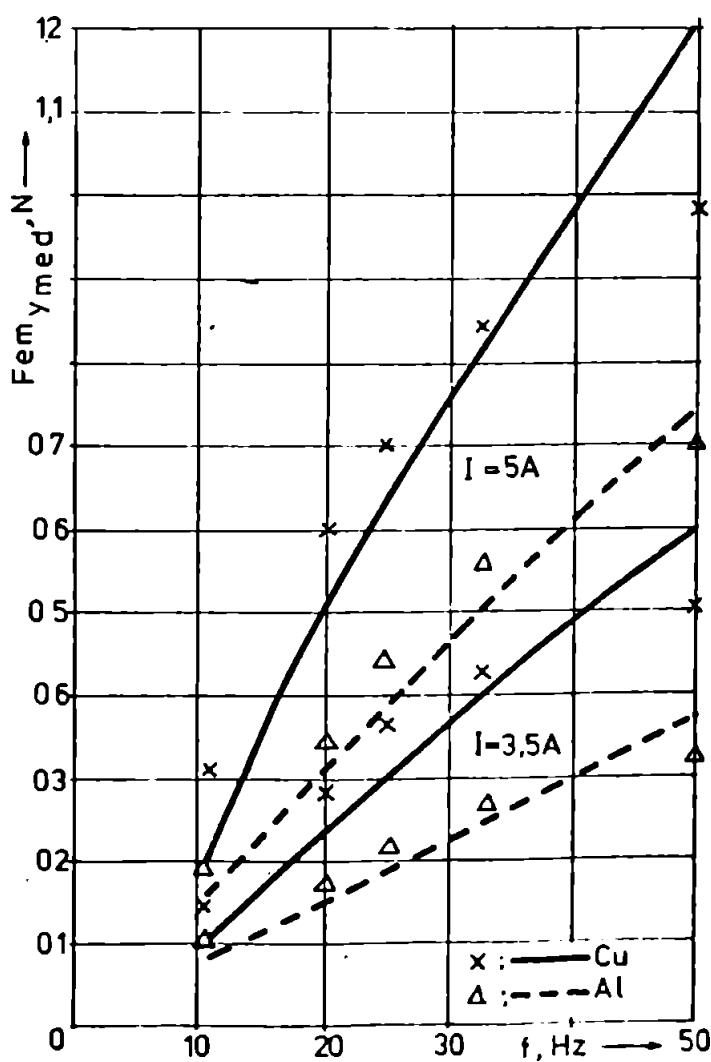


fig. 4.18 Variatia
forței electromagneticice
cu frecvența

Forța electromagnetică resultantă exercitată de agitatoarele cilindrice s-a determinat prin calcul (2.99) și (2.124) și s-a măsurat cu montajul din figura 4.13, asupra unui cilindru plin din aluminiu cu diametrul $d_m = 2r_m = 34$ mm.

Factorii de forță (3.35) .. (3.37) sunt

$$F_3^1 = 0,45 \quad ; \quad F_3^2 = 0,326 \quad ; \quad F_3 = \frac{1}{2} \cdot F_3^2 = 0,147$$

Integrale din (2.124), calculată numeric prin formula trapezelor are valoarea

$$0,042 \int_0^r r \left[U_1^2(\rho r, \varphi) + V_1^2(\rho r, \varphi) \right] dr = 0,0197,$$

pentru

$$\rho = \sqrt{u_1^2 + v_1^2} = \sqrt{95,2^2 + 71,9^2} = 119 \quad ;$$

$$\varphi = \arctg \frac{u_1}{v_1} = \arctg \frac{95,2}{71,9} = 53^\circ \quad .$$

Factorul de forță din (2.124) este

$$\frac{1}{U_1^2(\rho r_1, \varphi) + V_1^2(\rho r_1, \varphi)} = 0,012 \quad .$$

Cu datele agitatorului din tabelul 4.1 s-au calculat forțele electromagnetice rezultante cu formulele (2.99) și (2.124), întocmirendu-se tabelul 4.8; în tabel s-au trecut și valorile măsurate.

Tabel 4.8

Material	Forță electromagnetică $F_{ex,zmed}$							
	$I = 5A$		$I = 10A$		$I = 15A$			
	(2.99)	(2.124)	mkg	(2.99)	(2.124)	mkg	(2.99)	(2.124)
Aluminiu	7,5	6,25	4,3	30	25	20	67,5	56,25

Se constată o concordanță bună între rezultatele formulei (2.124) și cele măsurate.

Pentru ilustrarea s-a reprezentat grafic variația forței electromagnetice rezultante, în figura 4.19.

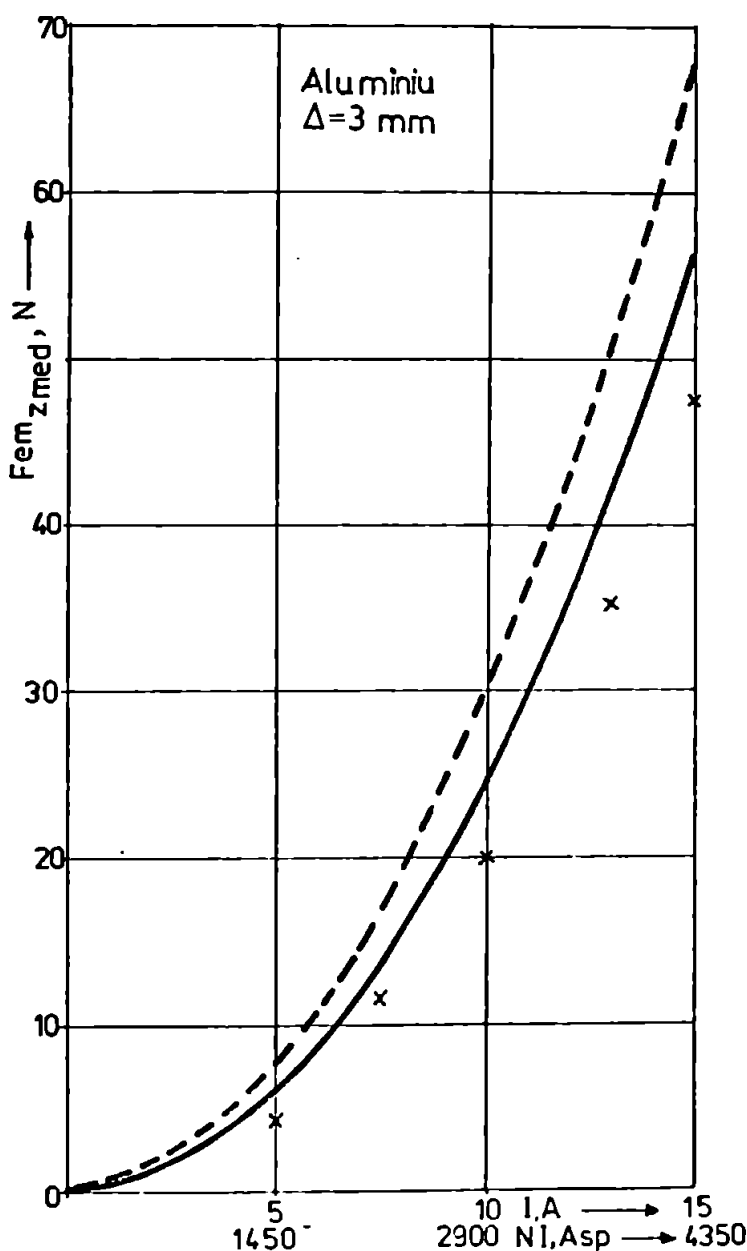


Fig.4.19 Variatia forței electromagnetice rezultante cu intensitatea
 - - - relația (2.99);
 — relația (2.124);
 x valori măsurate

Din datele presentate în tabelele (4.6), (4.7) și (4.8) respectiv figurile (4.16... 4.19) se remarcă cu ușurință apropierea formulelor de calcul a forței electromagnetice rezultante (2.68) și (2.124) față de rezultatele măsurătorilor. Abaterile existente având valori de 15 - 25 % pot fi considerate reduse în raport cu abaterile ce apar între măsurători și formulele de calcul (2.43) și (2.99) cunoscute din lucrările /5 ; 78 g.e./.

4.5. Probe metalografice

Intrucit agitatoarele inductive se utilizeaza în primul rînd pentru a se asigura omogenizarea compoziției chimice a băii metalice, s-a efectuat o încercare asupra unui lingou CuPb21 care prezintă segregări de plumb la solidificare.

S-a amestecat topitura în timpul răcirii, cu intermitență, timp de trei minute.

Din lingou au fost extrase probe din zona centrală, la cinci nivele, începînd de la bază pînă la suprafața liberă.

În metalografii - figura 4.20 se prezintă aspectul microscopic la o mărire de 200 ori a probelor metalografice, neatacate chimic (s-a utilizat un microscop Neophot 2, obiectiv 12,5x, ocular 8x, film 2e DIN).

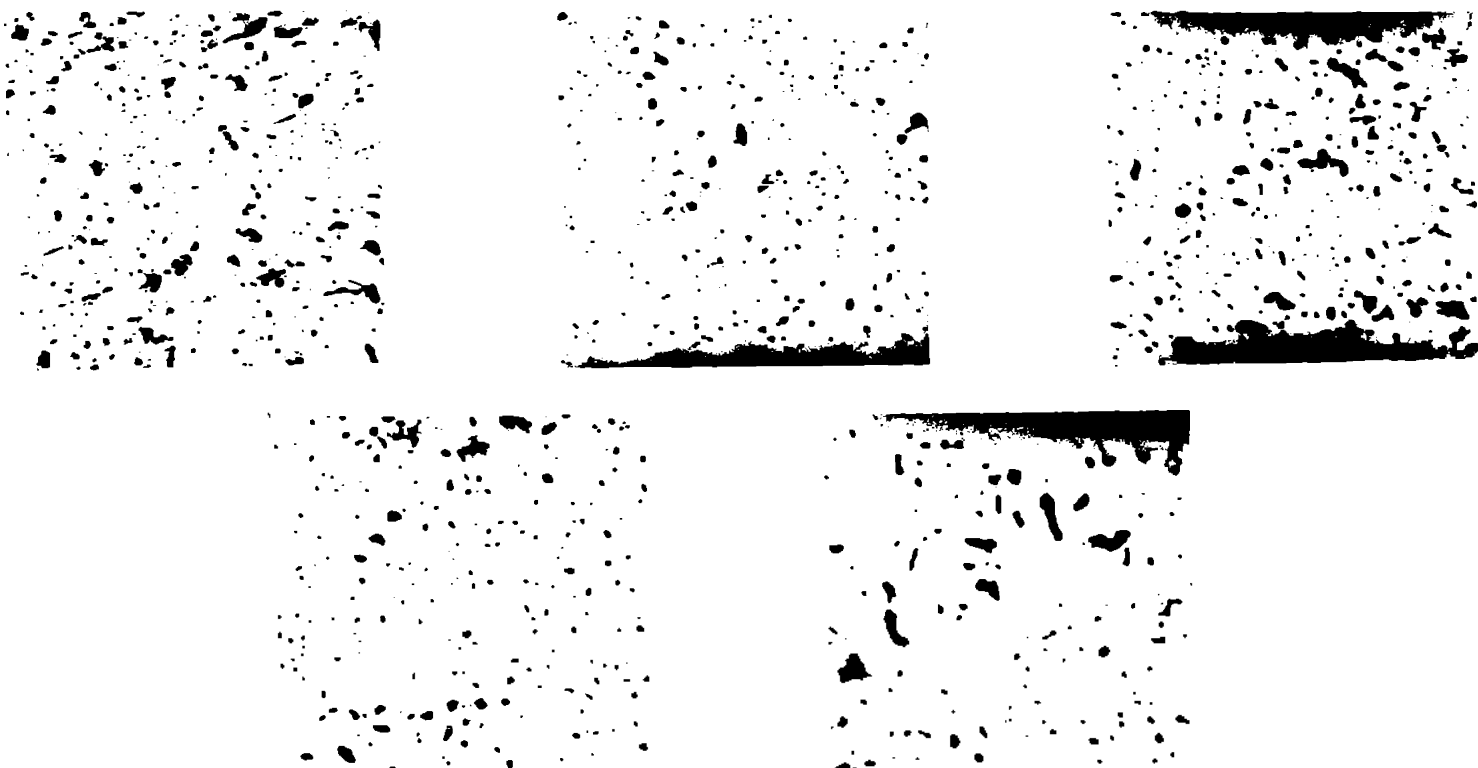


Fig.4.20 Microstructura aliajului CuPb21, cristalizat în cîmp magnetic (probe neatacate, mărire 200 x 1) a-nivelul de bază; ... ; c - nivelul de suprafață.

Se constată formațiuni de plumb fin și uniform disperseate în toate probele, ceea ce atestă omogenizarea obținută prin agitarea prin inducție electromagnetică.

C.A.P. 5. CONCLUZII SI CONTRIBUTII PERSONALE

Studiul teoretic și verificările experimentale cu privire la sistemele de amestecare prin inducție electromagnetică a băilor de metal topit întreprinse în cadrul lucrării de față permit obținerea unor concluzii semnificative.

Reunirea într-o prezentare matematică unitară a celor două sisteme de amestecare prin inducție electromagnetică, cu agitator liniar, respectiv cilindric, prin utilizarea factorilor χ_1 și χ_2 , care conțin aceeași coeficienți m_1 , m_2 , a dat posibilitatea deducerii unor relații de calcul a principalelor mărimi ale cimpului electromagnetic foarte asemănătoare.

Ipoteza de calcul simplificată prin neluarea în considerare a reacției curentilor induși în baia metalică asupra cimpului magnetic inductor a condus la obținerea unor relații regăsite în literatură, care dau, însă, valori calculate pentru forțele electromagnetice mult diferite de cele măsurate.

Luarea în considerare a acestei reacții în cadrul ipotezei de calcul mai generale a permis deducerea unor relații de calcul originale, mai complete, care sunt foarte aproape de rezultatele experimentale.

Studiul teoretic dezvoltat în lucrare a fost verificat atât prin regăsirea, justificată teoretic, a unor coeficienți, formule de calcul, recomandări constructive existente în literatură, cit și prin rezultatele măsurătorilor efectuate în cadrul experimentării.

Analiza întreprinsă asupra studiului teoretic că posibilitatea determinării influenței diferenților factori asupra variației diferențelor mărimi ale cimpului electromagnetic (intensitatea cimpului magnetic, forța electromagnetică) în sistemele de amestecare prin inducție electromagnetică, permitând alegerea valorilor optime ale parametrilor constructivi și electrici, în vederea unei proiectări și exploatari judecătoare.

Cunoașterea teoriei sistemelor de amestecare prin inducție electromagnetică a băilor de metal topit va permite utilizarea mai largă în atelierele metalurgice a acestui procedeu tehnologic.

economic și eficient și, în viitor, a construirii în țară a agitatoarelor inductive pentru cuptoarele cu arc electric și cuptoarele pentru degazarea sub vid a oțelului topit care în prezent, sunt importante.

Contribuțiile personale mai importante ale autorului pot fi considerate următoarele:

- realizarea unei lucrări originale care tratează sistemele de amestecare prin inducție electromagnetică a băilor de metal topit;
- efectuarea studiului teoretic referitor la cimpul electromagnetic în sistemele de amestecare prin inducție electromagnetică, într-o dezvoltare matematică unitară pentru cele două tipuri de agitatoare- liniar și respectiv cilindric; după cum s-a menționat anterior, acest lucru a devenit posibil prin exprimarea mărimilor ce intervin în ecuațiile diferențiale ale intensității cimpului magnetic astfel încit să conțină aceiași factori m_1 și m_2 . În urma dezvoltării matematice unitare, relațiile de calcul ale principalelor mărimi ale cimpului magnetic sunt asemănătoare pentru agitatorul inductive liniar și cilindric;
- introducerea unei ipoteze de calcul simplificată, cu neglijarea reacției curentilor induși în baie metalică asupra cimpului magnetic inductor, ce permite obținerea unor relații de calcul regăsite în literatură; aceste relații, referitoare la intensitatea cimpului magnetic și forțe electromagnetică sunt simple, accesibile și permit stabilirea rapidă, aproximativă a valorilor mărimilor cimpului electromagnetic;
- dezvoltarea unei ipoteze de calcul mai generale, cu luarea în considerație a acestei reacții, ce a condus la determinarea unor relații de calcul originale, ce fac posibilă obținerea unei precizii de calcul mult îmbunătățite față de ipoteza de calcul simplificată;
- expunerea unor considerații teoretice și diagrame ce permit alegerea optimă a parametrilor de proiectare a agitatoarelor inductive; în cadrul dezvoltării ipotezei de calcul mai generale s-au introdus coeficienți ce fac posibilă asemănarea fenomenelor amestecării prin inducție electromagnetică cu pătrunderea cimpului electromagnetic în conductoare masive (scăderea amplitudinii intensității cimpului magnetic în adâncimea băii metalice prezintă o allure similară

efectului pelicular în conductoare masive) stabilindu-se, pe această bază, posibilitatea determinării parametrilor electrici (impedanța sistemului agitator inductiv-baie metalică) în mod amănător motoarelor asincrone liniare, respectiv inductoarelor cilindrice de la cupoarele de inducție cu creuzet;

- introducerea unor factori de forță care permit stabilirea influenței diferenților parametri asupra mărimiilor forțelor electromagnetice;

- stabilirea sau justificarea teoretică a unor relații referitoare la parametrii constructivi și electrici ai agitatoarelor inductive (în special lungimea agitatorului și frecvența tensiunii de alimentare);

- proiectarea și executarea unor agitatoare inductive (liniar, curbiliniu, cilindric) pentru măsurători în laborator și încercări experimentale într-un atelier de turnare a bronzurilor;

- verificarea experimentală a relațiilor de calcul obținute.

BIBLIOGRAFIE

1. Altgauzen, A.I. *Instalații electrotermice industriale* - trad. din rusă, Ed. tehnică, București - 1975.
2. Angot, A. *Complemente de matematici*, Ed. tehnică, București - 1965.
3. Beji, Sz. *Indukcios Revites*, Klužsaki Könyvkiado, Budapest - 1965.
4. Bortniciuk, N.I. și-a. O vibre ciastotf toka statorev indukționih peremeşivaiuşcik ustroist elektrodugovif staleplavilnh pecei, *Vestnik elektropromislennosti*, 1959, nr.10, p.4-8.
5. Breukamp, K-H. *Klektromagnetische Wandlerfelder flacher Drehstrominduktoren und ihre elektrodynamischen Wirkungen*, Dissertation TH Aachen, 1961.
6. Comşa D., ș.a. *Electrotermie*, Ed. did. și ped., București - 1979.
7. Damaskos, N.I. The magnetohydrodynamics of the coreless induction furnace, *Proceedings I.E.E.* vol.110, nr.6, June 1963, p.1089-1095.
8. Dötsch, L., Hegewaldt, F. Zum Einsatz des Induktionstiegelofens für die Stahlerzeugung, *Elektrowärme international* 33 (1975), B5 Okt, p.3248- B253.
9. Dragos, L. *Magneto-dinamica fluidelor*, Ed. Academiei, București - 1969.
10. Dreyfus, L. An Induction Stirrer for Arc Furnaces, *ASEA - Journal*, 1950, vol. 23, p.46-54 și *Baden-Rundschau*, 1952, vol.5, p.191-199.
11. Drobinin, Ia.I. *Precobrakovatelnje ustroevki niakoi ciastotf* Izd. knerghia, Moskva-Leningrad 1965.
12. Duflet, I. ș.a. *Transage éléctromagnétique. Application à la Desulfuration*, *Revue de Metallurgie*, vol.5, 1955, nr.4 și *Iron and coal Trade Review*, 1955, dec., nr.9.
13. Eliason, C.R. ș.a. The Role of Induction Stirring in Steelmaking Steel Production, *Journal of Metals*, SUA, mai 1968, nr.5, p.56-61 și *Circulaire d'informations techniques*, France, 25/11, nov. 1968, p.2371-2385.
14. Ericson, Åke Metallurgical aspects of the induction stirring of molten metal, *ASEA Journal*, 1971, vol.44, nr.4, p.
15. Ericson, Åke The ASEA-SKF Ladle Furnace. The Finishing Tool of all Steelmakers, *ASEA 8556 Ba*, Reg.663, 1970.
16. Fernander, S. ș.a. *Inductive Stirring in Arc Furnaces*, *Journal of Metals*, Ian. 1950, vol.188, nr.1 p.22-29, nr.2 p.256-260.

17. Gladkii, D.F.ș.a. Stator cu bobinaj din bare pentru agitarea ștelului în cuptoarele cu arc electric, trad. din rusă, în Opelul, nr.11, 1960, p.50-58.
18. Gnacev, S.N.ș.a. Elaborarea ștelului în cuptoarele cu arc electric, prin agitarea electromagnetică a băii, trad. din rusă, în Opelul, nr.7, 1961, p.561-569.
19. Golubev, N.S. Kompensatija pulsirujuščik polej i vibor nekotorykh parametrov statora dlia elektromagnitnovo peremeshchivaniia metallicheskikh rasplavov, Elektricestvo, nr.10, 1966, p.53-58.
20. Gray, A.ș.a. Funcțiile Bessel și aplicațiile lor în fizică, Ed. tehnică, București - 1958.
21. Hammarlund, P.E.ș.a. Agitarea prin inducție a băii în cuptoarele electrice cu arc, trad. din engleză, în Industria metalurgică, vol.9, nr.2, febr. 1961, caiet selectiv, p.75-84.
22. Hammarlund, P.E.ș.a. Brassage inductif de l'acier traité ~~avec~~ vide, ASEA Revue, 37, 1965, nr.4, p.75-80.
23. Hammarlund, P.E.ș.a. Electrical Heating and Stirring of Melts in Ladles, Bericht 153, VI Internationaler Elektrowärme Kongress, Brighton, 1968.
24. Hanas, B. Un agitateur ASEA dans une aciéries Japonaise, ASEA-Revue, 36, 1964, nr.2, p.23-27.
25. Hanas, B. Principes modernes de construction des fours à arc pour l'acier, ASEA Revue, 1969, 41 nr.6, p.129-134.
26. Hanas, B. Automatic control of arc furnaces, ASEA-Journal 42 (1969), nr.9, p.133-135.
27. Hanas, B. Design and plant considerations of induction stirrers, ASEA Journal, 1971, vol.44, nr.4, p.87-92.
28. Hegewald, F. Induktions-Schmelz- und Warmhalteöfen, Elektrowärme International, 26, nr.10, okt.1968, p.343-350.
29. Iacobi, H.ș.a. Neueste Entwicklungen zum elektromagnetischen Röhren beim Schmelzen von Eisen, Stahl und Eisen 98 (1978) nr.22, nov. p. 1179-1187.
30. Ivanov, N.P.ș.a. Ustroistvo dlia peremeshchivaniia jidkovo metala, brevet USSR 265379/30.X.1963- 9 III.1970.

31. Kocie, V.S. &c.a. R.voprosa o pitanii statorev ustanovaek elektromagnitnovo peremeshivaniia metalla v dugovikh elektropeach Lmv.viss. uchebn.zavedenii, Energetika, 1970 nr.11, p.109-112.
32. Kropacev, G.F. &c.a. Sursale de energie reactiva in dispositivile de agitare inductiva pentru cuptoarele de arc, in rusă, Elektrotehnika, 37, nr.9, sept.1966, p.49-51.
33. Lammeraner, I.șa. Vihreviie tokii, Izd.energiia, Moskva-Leningrad - 1967.
34. Landau, L.ș.s.a. Electrofizica mediilor continue. Ed.tehnica, București - 1968.
35. Linder, S. The stirring of steel, a method of accelerating metallurgical reactions, ASEA Journal, 1971, vol.44, nr.4, p.83-86.
36. Marr, H.S. Technological problems in continuous casting, Iron and Steel International, Apr. 1976, p.87-100.
37. Marr, H.S. Electromagnetic stirring: stepping stone to improved continuously cast products, Iron and Steel International, Febr.. 1979, p.29-41.
38. Mats, R.ș.s.a. Four à basse frecquence et à canal, type LFR, pour le maintien à température du four, ASEA Revue, 1962, vol.34, nr.3, p.62-69.
39. Matsumoto ,I.ș.s.a. Device for stirring molten metal in an electric furnace, pat.SUA nr.3409726, 9.07.1965.
40. Mühlbauer, A. Über die elektrodynamischen Kräfte in der Schmelze von Induktionsöfen, Elektrowärme, vol.25, nr.12, 1967, p.461-472.
41. Năsolăde, A. Producerea energiei electrice pe cale magnetohidrodinamică, Ed.tehnica, București - 1968.
42. Nyquist, O. &c.a. Procédé ASEA- LFR de traitement sous vide de l'acier liquide, ASEA Revue, 1970, 42, nr.3, p.56-60.
43. Okarekov, N.N. Elektromagnitnoe peremeshivanie metalla v dugovikh staleplavilnih pecach, Metallurgizdat-1961.
44. Polișciuk, V.P. &c.a. Ustrastvo dlia peremeshivaniia rasplavov, brevet URSS, nr.287061/15.07.1969.

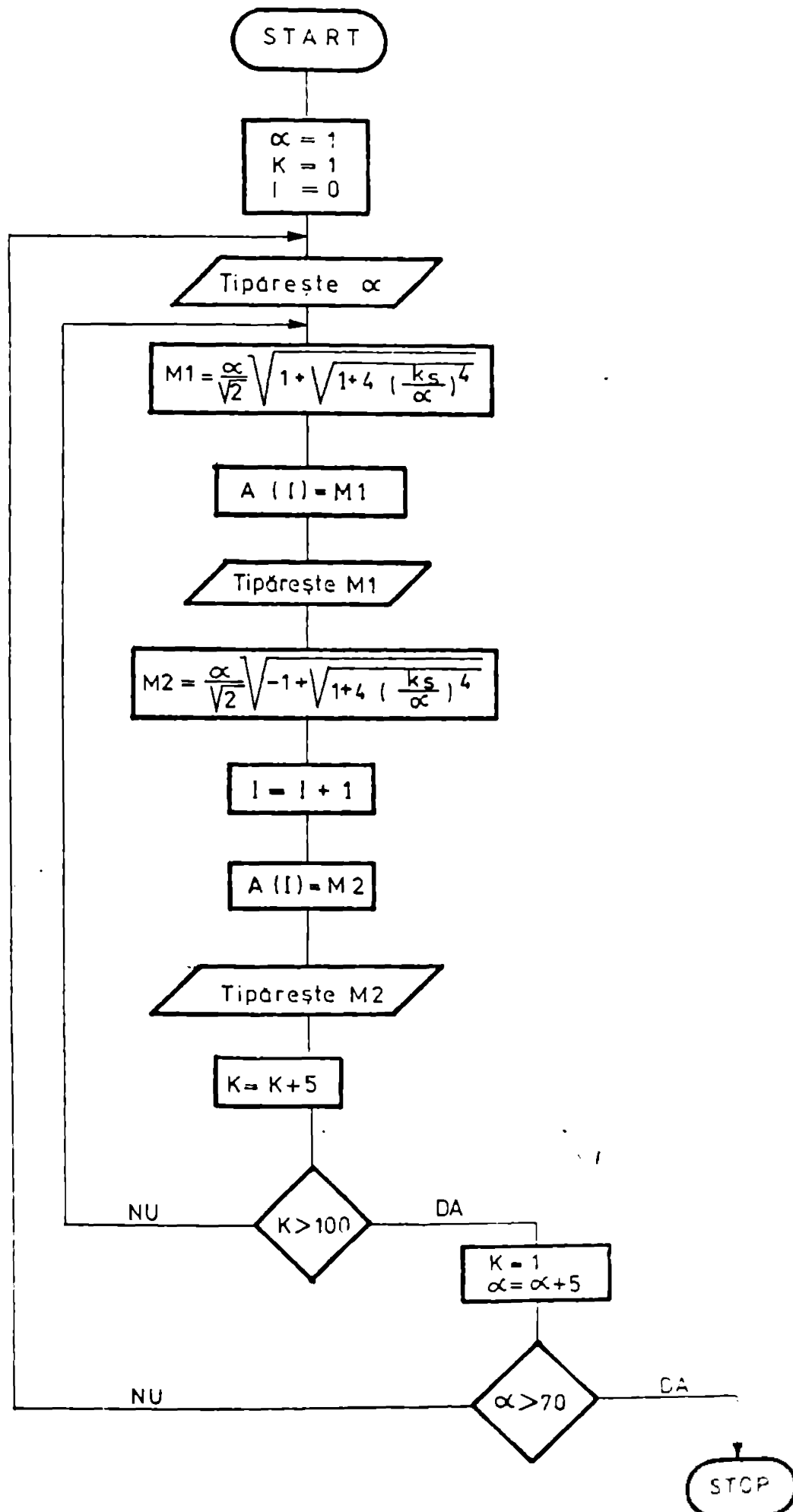
45. Pop F., ş.a. Contribuții la calculul agitatoarelor electromagneticice ale cuptoarelor cu arc electric, Comunicare la Sesiunea științifică- Institutul politehnic Cluj-Napoca, aprilie 1971.
46. ..., Pop,F.... Agitator inductiv pentru cuptoare cu arc- model cu baie de mercur, Certificat de inovator nr.2/1971, Institutul politehnic Cluj-Napoca.
47. Pop,F. Aspecte teoretice ale agitației inductive ale băilor de metal topit. Referat de doctorat prezentat la catedra Utilizări ale energiei electrice, Institutul politehnic "Traian Vuia", Timișoara - 1972.
48. Pop, F. Purse de joasă frecvență (1...2Hz) pentru alimentarea agitatoarelor inductive ale băilor de metal topit, Referat de doctorat prezentat la catedra Utilizări ale energiei electrice, Institutul politehnic "Traian Vuia", Timișoara - 1972.
49. Pop,F., Asupra alegării frecvenței tensiunii de alimentare în instalările de agitare inductivă a oțelului în cuptoarele electrice cu arc, Comunicare la Sesiunea științifică, Institutul politehnic Cluj-Napoca, decembrie 1973.
50. Pop,F., Über die elektromagnetischen Kräfte beim induktiven Küren von Schmelzbädern. Comunicare la Colocviul al II-lea de Electrotermie, Aachen - RFG, 19-20 I 1976, publicată în Gas-Wärme - International, Ian/Febr. 1976, nr.1/2, p.43-46.
51. Pop,F.,ş.a. Considerații privind instalațiile de amestecare prin inducție electromagnetică, Conferința a XI-a de Instalații, Sinaia, oct.1977, vol.III, p.586-594.
52. Pop,F. ş.a. Instalațiile de amestecare prin inducție electromagnetică a băilor de metal topit utilizate în metalurgie, Comunică la Colocviul Tehnologii eficiente pentru reducerea consumului de metal în metalurgie și secretele calde din industria constructoare de mașini, București, iunie 1977, publicată în Metalurgia, București, an XXX, nr.4 , apr.1978, p.240-242.
53. Pop.F.ş.a. Cimpul electromagnetic în instalațiile de amestecare prin inducție cu inducătoare cilindrice a băilor de metal topit, Buletinul științific al Institutului politehnic Cluj-Napoca, nr.21, 1978 (sub tipar).

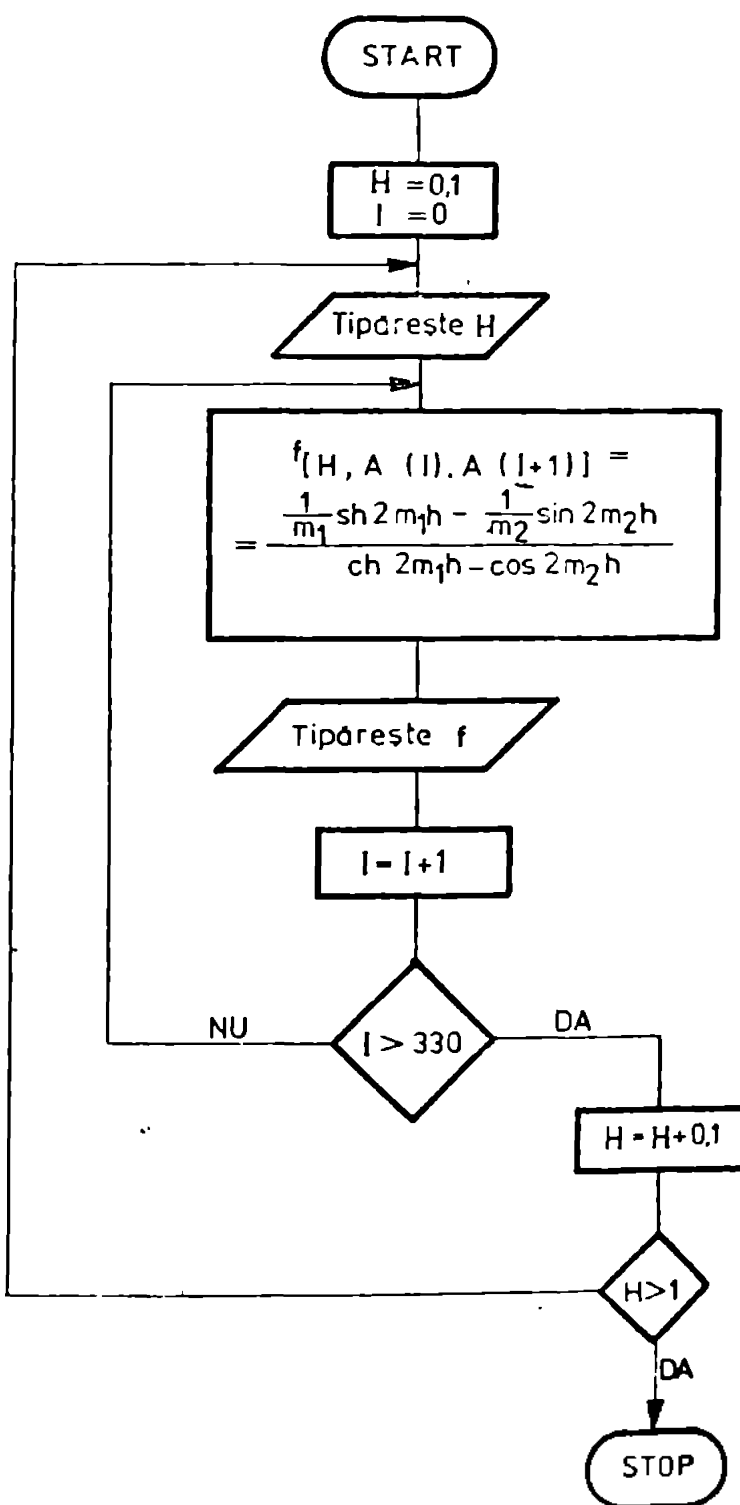
54. Pop,F. ș.a. Cu privire la alegerea unor parametri ai instalațiilor de amestecare prin inducție electromagnetică a băilor de metal topit, Buletinul științific al Institutului Politehnic Cluj-Napoca, nr.21, 1978 (sub tipar).
55. Pop,F. Cu privire la alimentarea instalațiilor de amestecare prin inducție electromagnetică a băilor de metal topit, Comunicat la sesiunea științifică a Institutului Politehnic Cluj-Napoca, publicată în volumul CV Instalații în construcții, p.CV 43-CV48.
56. Pop,F., Instalațiile de amestecare prin inducție electromagnetică a băilor de metal, factor de calitate și economie în atelierele metalurgice, Comunicat la sesiunea tehnico-științifică "Concepții și tehnologii moderne în sprijinul reducerii consumelor materiale și energetice", Baia-Mare, oct.1979, publicată în vol.1, p.283-286.
57. Pop,F. ș.a. Controlul stării refractarului băilor de metal topit amestecate prin inducție electromagnetică, Comunicat la sesiunea științifică, Institutul Politehnic "Traian Vuia", Timișoara, oct.1979.
58. Pop,F., Asupra forței electromagnetice în instalațiile de amestecare prin inducție electromagnetică cu inductor cilindric a băilor de metal topit, Comunicat la sesiunea științifică, Institutul Politehnic "Traian Vuia", Timișoara, oct.1979.
59. Pop, F., Criteriu de dimenziونare optimă a agitatoarelor inductive pentru băi metalice, înscrisă la Simpozionul de informatică și conducere Condinf 1980, Cluj-Napoca.
60. Pop,F., Agitatoare inductive pentru băi de metal topit, manuscris pentru rev. Electrotehnica, electronica și automatică, serie Electrotehnica.
61. Povh, I.L ș.a. Magnitnaja hidrodinamika v metallurgii, Moskva "Metallurghiia", 1974.
62. Povh, I.L.ș.a. Spasob obrabotki rasplavov, brevet URSS, nr.285016/ 21.07.1969.
63. Povh, I.L.ș.a. Elektromagnitnoe ustroistvo, brevet URSS, nr. 255504/26.09.1968.
64. Rău, Al. ș.a. Metalurgia șefului, Ed. did. și ped. București, 1973.

65. Reichert, K. Ein numerisches Verfahren zur Berechnung von Anordnungen zur induktiven Erwärmung, Elektrowärme International, Bd 26(1968), nr. 4, p.113-123; sau Scientica Electrica, Elveția, vol.16, nr.4, 1970, p.126-146.
66. Mezin, M.G.ș.a. Agitarea prin inductie in cupoarele electrice cu arc, trad. din rusă, în Otelul, nr.8, 1959, p.33-35.
67. Robertson, S.E. ș.a. A variable low-frequency Inverter Using Thyristor IAEA Transactions on industry and general applications, vol. IGA-4, Nr.5, sept-oct.1968.
68. Richter, K. Mașini electrice, vol.I, II, IV, Ed.tehnică, București 1958-1960.
69. Schluckebier, D. Induktoren zum Schmelzen von Schwermetall, insbesondere mit höherer Leistung, Elektrowärme International, 31 (1973), B6, Dez., p.B270-B280.
70. Schwerdtfeger, K. Metallurgische Probleme beim Stranggießen von Stahl, Stahl und Eisen, 98 (1973), nr.6, p.225-235.
71. Simonyi, K. Electrotehnica teoretică, Ed.tehnică, București-1974.
72. Siunov, N.G. ș.a. Stabilirea unor parametri ai statorului în formă de arc, pentru agitarea electromagnetică a otelului lichid, trad. din l.rusă, în Otelul, nr.9, 1958, p.35-41.
73. Speith, K.G.ș.a. Effect of Electro-inductive Stirring on Metallurgical Reaction in Arc Furnaces , Stahl und Eisen, vol.78, nr.4(1958), p.215-223.
74. Stark, A. Conveying liquid metals, Ind.and Process Heat, 1970, 10, nr.7, p.44-46.
75. Stickler, H., Équipement électrique pour le procédé ALTA-SIT, ASEA Revue, 1967, 39, nr.1, p.6-9.
76. Sundberg, Y. Förfaringsssätt för omröring av metallsalta, exempelvis i samband med vakumbehandling samt spole använd vid förfarandet, brevet Suedia, nr.313586/16.05.1966.
77. Sundberg, Y. Chauffage et brassage inductifs du bain des poches de coulée, ASEA Revue, 1967, nr.39, nr.3, p.62-66.
78. Sundberg, Y. Principles of the induction stirrer, ASEA Journal 1971, vol.44, nr.4, p.71-80.

79. Sundberg, Y. Induction heating with special reference to bodies inside metallic shells, Thèse de doctorat à l'École Polytechnique Supérieure de Stockholm, Västervik, 1965.
80. Sundberg, Y. Magnetic travelling fields for metallurgical process, IAEA Spectrum, May 1969, p.79-88.
81. Takaho, K.s.a. Vacuum degazifying apparatus with electromagnetic stirring means. brevet SUA nr.5452973/23.12.1966.
82. Tiberg, M.s.a. Le procédé ASEA- SKF d'affinage de l'acier, ASEA Revue, 1967, vol.39, nr.1, p.3-6.
83. Trahincovici, V.I.s.e. Experiențe emeritării electromagnetică la cuptorul electric de 180t. trad.din rusă, în Oțelul, vol.9, nr. 1, febr.1963,p.121-124.
84. Vainberg, G.C K teorii ustroistv dlia elektromagnitnovo peremesivaniia rasplavnenovo metalla v dugovih elektropeciash, Elektricestvo, 1958, nr.2, febr, p.40-46.
85. Vainberg, G.C. Voprosi vibora ciastotii ustroistv dlia elektromagnitnovo peremesivaniia rasplavlennoi metalla v dugovei elektropecei, Elektricestvo, 1958, nr.5, mai, p.20-24.
86. Vainberg, G.C. Cu privire la construcție instalatiilor de agitare inductivă a oțelului în cuptoarele cu arc, în l.rusă Vestnik elektropromislenosti, 3c, 1959, nr.10, oct, p.22-24.
87. Veliciko, P.S.s.a. Induktionnoe peremesivanie metalla v dugovih peciash i opitno- promislernaia ustanovka, Elektricestvo, 1958, nr.2, febr., p.34-39.
88. Vogt, W. Badbewegung und magnetische Feldkräfte im Induktions tiegelofen, BRI 1-69, p.25-35.
89. Wenneberg, W. Grands fours à induction pour la fusion et pour la coulée sous vite élevé, ASEA- Revue, 35 (1963), nr.1 p.5-9.
90. x x Tablăti funcții Besselis v kompleksnoi oblasti, Moskva-1963.
91. x x Prospecte ale firmei ASEA- Suedia.

ANEXE

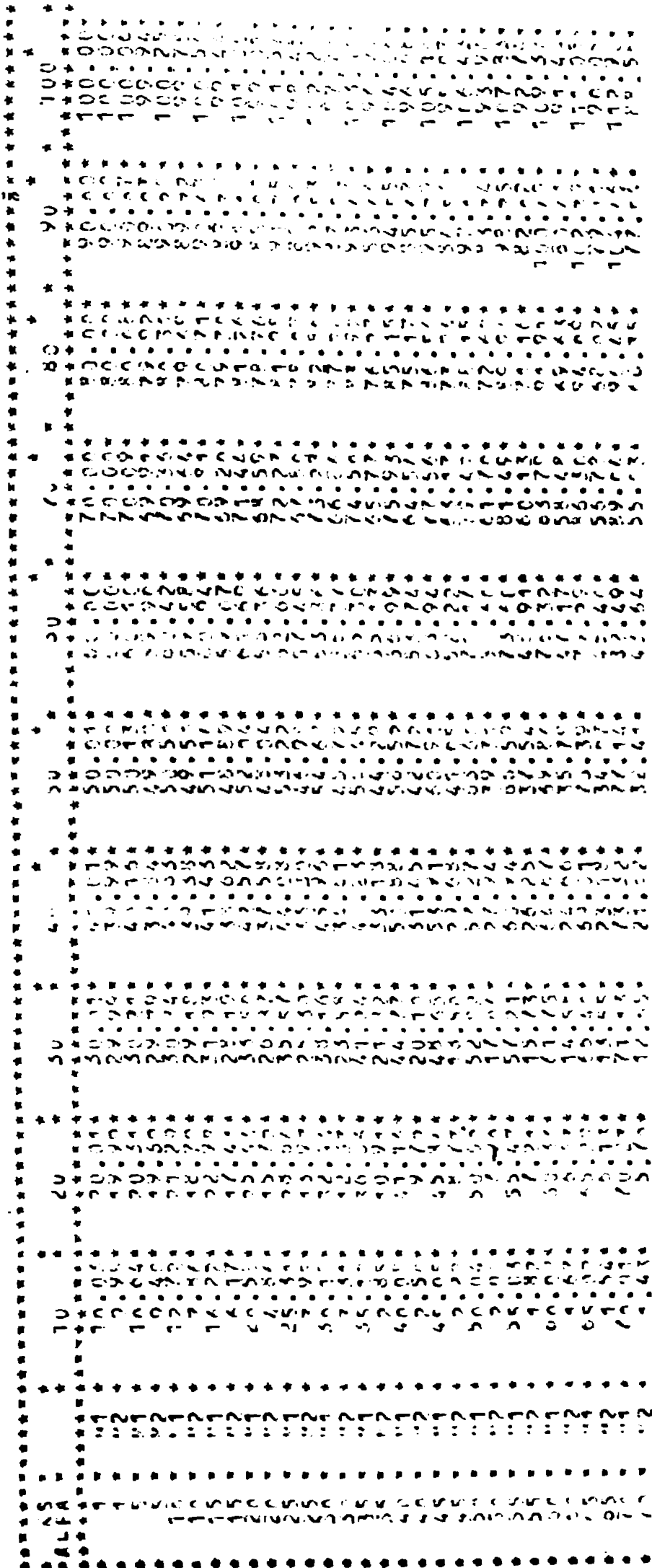




ALFA = VALORE CALCOLATO PER IL 100%

M1 = ALFA / SCRT(2) + SCRT(2) * (1 + 4 * K5 / ALFA) * 6 / 4

M2 = ALFA / SCRT(2) + SCRT(2) * (1 + 4 * K5 / ALFA) * 6 / 4



VALORILE COMPOZITIVEI BESSEL DE SPETĂ INTILU ORDINUL 1 CU ARGUMENT IMAGINAR $j_1(rejP) = U_1 \cdot jV_1$, după [90]

φ	45°	55°	60°	65°	70°	75°	80°	85°	90°	
0	0	0	0	0	0	0	0	0	0	
0,5	0,18	0,17	0,16	0,18	0,15	0,15	0,16	0,18	0,17	
1	0,39	0,39	0,37	0,41	0,34	0,34	0,36	0,37	0,39	
1,5	0,66	0,36	0,65	0,45	0,63	0,53	0,59	0,63	0,53	
2	0,99	0,29	1,04	0,43	1,05	0,60	1,03	0,78	0,97	
2,5	1,37	0,03	1,52	0,23	1,65	0,50	1,70	0,63	0,68	
3	1,73	-0,48	2,09	-0,25	2,12	0,12	2,68	0,56	2,78	
3,5	1,95	-1,34	2,56	-1,16	3,25	-0,72	4,00	0,03	4,3	
4,5	2,10	4,10	2,82	-4,76	5,05	-4,83	7,65	-3,88	10,11	
5	2,35	-5,79	1,69	-7,57	5,06	-8,69	9,57	-8,27	11,50	
5,5	3,15	-7,26	-1,03	-10,65	3,54	-14,09	10,77	-15,31	19,59	
6	7,16	-7,87	-6,15	-14,09	-0,75	-21,04	9,96	-25,96	25,11	
6,5	-1,38	-6,65	-14,49	-16,21	-9,60	-29,05	4,95	-41,05	29,52	
7	-20,36	-2,31	-2,57	-15,41	-25,77	-36,71	-7,82	-6,18	29,89	
7,5	27,48	6,64	-6,29	-8,91	-50,43	-41,10	-33,76	-85,78	20,55	
8	-32,50	21,67	6,199	7,10	-8,65	-36,97	8,3	-12,20	-8,3	
9	-20,71	72,95	-9,71	86,87	-20,41	34,71	-27,79	-125,53	-199,29	-388,79
9,5	74,6	103,81	-86,92	153,51	132,7	-157,97	91,33	-26,9	524,72	3,55
10	94,7	15,87	16,13	25,607	32,556	298,03	103,13	32	80,77	-192